

ปัจจัยกราบทบในการชุดเจาะอุโมงค์ด้วยระบบแรงดันดินสมดุล

นาย ธนาวัฒน์ ธนากิจเลิศสกุล

## สถาบันวิทยบริการ

## อุทกlongกรอกเมืองวิทยาลัย

วิทยานิพนธ์นี้เป็นส่วนหนึ่งของการศึกษาตามหลักสูตรปริญญาวิศวกรรมศาสตรมหาบัณฑิต

สาขาวิชาวิศวกรรมโยธา ภาควิชาวิศวกรรมโยธา

คณะวิศวกรรมศาสตร์ จุฬาลงกรณ์มหาวิทยาลัย

ปีการศึกษา 2548

ISBN 974-53-1924-4

ลิขสิทธิ์ของจุฬาลงกรณ์มหาวิทยาลัย

INFLUENCED FUNCTION IN TUNNELLING BY EARTH PRESSURE BALANCE SHIELD

Mr. Thanaratn Thanakijlurssakul

สถาบันวิทยบริการ

A Thesis Submitted in Partial Fulfillment of the Requirements  
for the Degree of Master of Engineering in Civil Engineering

Department of Civil Engineering

Faculty of Engineering

Chulalongkorn University

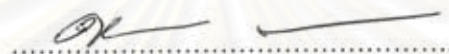
Academic Year 2005

ISBN 974-53-1924-4

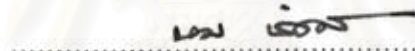
หัวข้อวิทยานิพนธ์ ปัจจัยกระบวนการเรียนรู้ในกระบวนการเรียนรู้ด้วยระบบแบ่งดันดินสมุด  
โดย นาย ธนาวัฒน์ ชนกิจเดชสกุล  
ภาควิชา วิศวกรรมโยธา  
อาจารย์ที่ปรึกษา รองศาสตราจารย์ ดร.วันชัย เทพรักษ์

---

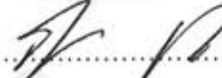
คณะกรรมการศาสตร์ จุฬาลงกรณ์มหาวิทยาลัย อนุมัติให้นับวิทยานิพนธ์ฉบับนี้เป็นส่วน  
หนึ่งของการศึกษาตามหลักสูตรปริญญามหาบัณฑิต

 คณบดีคณะวิศวกรรมศาสตร์  
(ศาสตราจารย์ ดร. ดิเรก ลาวันย์ศิริ)

คณะกรรมการสอบบัณฑิตวิทยานิพนธ์

 ประธานกรรมการ  
(รองศาสตราจารย์ ดร.บุญสม เลิศธิรัญวงศ์)

 อาจารย์ที่ปรึกษา  
(รองศาสตราจารย์ ดร.วันชัย เทพรักษ์)

 กรรมการ  
(ผู้ช่วยศาสตราจารย์ ดร.ธีรวัตร บุญญะรุ่ง)

สถาบันวิจัย  
จุฬาลงกรณ์มหาวิทยาลัย

## บทคัดย่อวิทยานิพนธ์

**ชนารัตน์ ชนกจิเลศสกุล :** ปัจจัยกระบวนการในการขุดเจาะอุโมงค์ด้วยระบบแรงดันดินสมดุล.  
**(INFLUENCED FUNCTION IN TUNNELLING BY EARTH PRESSURE BALANCE SHIELD)** อ.ที่ปรึกษา : รองศาสตราจารย์ ดร.วันชัย เทพรักษ์ , 112 หน้า. ISBN  
 974-53-1924-4.

การวิจัยนี้ศึกษา ปัจจัยกระบวนการที่มีผลต่อการขุดเจาะอุโมงค์ด้วยระบบแรงดันดินสมดุล และการทรุดตัวที่ผิดดิน โดยอิงข้อมูลจากโครงการก่อสร้างอุโมงค์ประปาแรงดันสูง ของสถานีส่งน้ำบางเขน ซึ่ง มีเส้นผ่านศูนย์กลางอุโมงค์กว้างนอก 4.07 m. ลึกจากผิวดินประมาณ 20 m. การวิจัยแบ่งออกเป็น 3 ส่วน คือ 1) การทดลองในห้องปฏิบัติการ เปรียบเทียบคุณสมบัติคินทรัมเมื่อผสมกับไฟฟ้า และ ผสมกับ เบน โถในที่ 2) เปรียบเทียบข้อมูลการขุดเจาะอุโมงค์ช่วงที่มีการใช้ไฟฟ้า และ เบนโถในที่เป็นสารผสมเพิ่ม และช่วงอุโมงค์อยู่ในทางตรง และ อยู่ในทางโค้ง 3) การวิเคราะห์กลับด้วยวิธีไฟฟ้าในท่อสิลิเคนต์ เพื่อหา ค่าอัตราส่วนการสูญเสียมวลดิน (Ground loss) เปรียบเทียบกับข้อมูลการตรวจวัด

ผลการวิจัยพบว่า การใช้ไฟฟ้าเป็นสารผสมเพิ่ม ช่วยให้การขุดเจาะอุโมงค์ด้วยระบบแรงดันดิน สมดุล มีประสิทธิภาพสูงขึ้นมากกว่าการใช้เบนโถในที่ อัตราการขุดเจาะอุโมงค์สูงกว่า, การควบคุม แรงดันหน้าหัวเจาะดีกว่า, การดึงดินออกจากหัวเจาะด้วยระบบสายพานเร็วกว่า, Cutter Torque ต่ำกว่า ผลการทดลองในห้องปฏิบัติการพบว่า ไฟฟามีส่วนช่วยเพิ่มค่า การอัดด้วย(Compressibility) ของดิน และ ช่วยลดค่าการใช้พลังงาน( Power consumption) ของการขุดเจาะอุโมงค์ทำให้การขุดเจาะมีประสิทธิภาพ สูงขึ้น ผลการวิเคราะห์กลับด้วยวิธีไฟฟ้าในท่อสิลิเคนต์พบว่า ในช่วงการขุดเจาะอุโมงค์ที่ใช้ไฟฟ้าเป็นสาร ผสมก่อให้เกิด Ground loss ประมาณ 1- 3 % ในขณะที่การขุดเจาะอุโมงค์โดยใช้สารละลายเบนโถในที่ ก่อให้เกิด Ground loss มากถึง 4 – 11 %

## จุฬาลงกรณ์มหาวิทยาลัย

ภาควิชา....วิศวกรรมโยธา..... ลายมือชื่อนิสิต..... Thanarat T.  
 สาขาวิชา...วิศวกรรมโยธา..... ลายมือชื่ออาจารย์ที่ปรึกษา..... ดร. วันชัย เทพรักษ์  
 ปีการศึกษา 2548

## AN ABSTRACT

## 4570347921 : MAJOR CIVIL ENGINEERING

KEY WORD: EPB SHIELD / FOAM / BENTONITE / GROUND LOSS / GROUND SURFACE SETTLEMENT

THANARATN THANAKIJLURSSAKUL : INFLUENCED FUNCTION IN TUNNELLING BY EARTH PRESSURE BALANCE SHIELD.THESES ADVISOR : ASST.PROF.WANCHAI TEPARAKSA, 112 pp. ISBN 974-53-1924-4.

This research focuses on influenced function of conditioning agent to the efficiency in tunnelling by earth pressure balance shield ( EPB Shield ) and ground surface displacement. The research data was based on the high pressure water supplied tunnel from Bangkhen Distribution Station having outside diameter of 4.07 m. with centerline at about 20 m. below ground surface. The research divided into 3 parts as 1) By means of laboratory test for mixing conditioning agents of foam and bentonite with sand sample. 2) Compare the influence factors in terms of TBM tunneling record using foam and bentonite conditioning as well as effect of straight and curve tunnel alignment. 3) Back analyze by Finite Element Method (FEM) to determine the percentage of ground loss compared with field performance.

The results showed that the foam conditioning agent showed the significant on efficiency improvement of tunnelling than bentonite agent by increase rate of penetration, better control the face pressure, better rate of screwconveyor speed, lower cutter torque and induce low ground surface settlement. The laboratory results showed the foam agent increased the compressibility of soil , reduced the power consumption and leaded to increase the efficiency of tunnelling work. The back analysis by FEM found that the ground loss induced due to tunnelling with foam conditioning agent and bentonite conditioning agent were in the order of 1-3 % and 4-11 % respectively.

Department.....Civil Engineering..... Student's signature.....*Thanaratn T.*  
Field of study.....Civil Engineering..... Advisor's signature.....*Wanchai Tepnak*  
Academic year 2005

## กิตติกรรมประกาศ

ผู้เขียนของขอนพระคุณ รองศาสตราจารย์ ดร.วันชัย เทพรักษ์ อ้างอิงที่ปรึกษาที่ได้ให้คำปรึกษา และ คำแนะนำต่างๆ ในการวิจัยด้วยคีม่าตลดอด และ ขอขอบพระคุณ รองศาสตราจารย์ ดร.บุญญานุสາร์ เลิศพิริยัญช์ และผู้ช่วยศาสตราจารย์ ดร.ธิรวัตร บุญญูžež ที่ได้ร่วมเป็นคณะกรรมการตรวจสอบวิทยานิพนธ์ฉบับนี้จนเสร็จสมบูรณ์ ขอขอบพระคุณ การประปาส่วนภูมิ โครงการ ก่อสร้างบุคลากร โรมองค์ส่งน้ำประปา โครงการน้ำนาภากaren ในการอนุญาตให้เผยแพร่ข้อมูล และ คุณ ชนิวัฒน์ ชาญชายา วิศวกร บริษัท Asia Tech.Co.Ltd ในการให้ความอนุเคราะห์ข้อมูล และให้คำปรึกษา ขอขอบคุณ คุณ ชลธิชา บุญส่ง บริษัท สเตเดติเจช เอ็นจิเนียริ่ง คอนซัลแทนท์ จำกัด ที่ให้คำปรึกษา ในทุกด้าน ขอขอบพระคุณ บริษัท สกุลไทย ที่ให้โอกาสดำเนินการศึกษา และ ขอขอบคุณ คุณ สุกานดา สิงห์ ที่อยู่เคียงข้างตลอดมา

สุดท้ายนี้ ขอขอบพระคุณ บิดามารดาที่รัก ห่วงใย และ ให้กำลังใจ ตลอดมา

**สถาบันวิทยบริการ  
จุฬาลงกรณ์มหาวิทยาลัย**

## สารบัญ

บทที่	หน้า
บทคัดย่อภาษาไทย.....	๔
บทคัดย่อภาษาอังกฤษ.....	๖
กิตติกรรมประกาศ.....	๗
สารบัญ.....	๙
สารบัญตาราง.....	๑๔
สารบัญภาพ.....	๑๕

## บทที่

### บทที่ 1 บทนำ

1.1 ความเป็นมาและความสำคัญของปัญหา.....	1
1.2 วัตถุประสงค์ของงานวิจัย.....	3
1.3 ขอบเขตของการวิจัย .....	4
1.4 ประโยชน์ที่คาดว่าจะได้รับ.....	4

### บทที่ 2 ทฤษฎีและทบทวนงานในอดีต

2.1 การขุดเจาะอุโมงค์โดยวิธี Shield Tunneling ในดินอ่อน .....	5
2.2 หลักการพื้นฐานของหัวเจาะระบบแร่งดันดินสมดุล .....	5
2.3 พนังอุโมงค์ (Lining).....	11
2.4 การอุดช่องว่างรอบพนังอุโมงค์ (Backfill Grouting).....	13
2.5 การเคลื่อนตัวของดินเนื่องจากการขุดเจาะอุโมงค์.....	13
2.6 การจำแนกการทรุดตัวที่ผิดดิน.....	17
2.7 การควบคุมการเคลื่อนตัวของดินในการขุดเจาะอุโมงค์.....	20

## สารบัญ (ต่อ)

๙

บทที่	หน้า
2.8 เสถียรภาพทางด้านหน้าอุโมงค์ (Stability of tunnel face) .....	21
2.9 การปรับปรุงคุณสมบัติดินในงานอุโมงค์.....	24
 บทที่ 3 การรวมข้อมูล และวิธีดำเนินงานวิจัย.....	32
3.1 ลักษณะทั่วไปของโครงการ.....	32
3.2 การเก็บรวบรวมข้อมูล.....	36
3.2.1 ข้อมูลทั่วไปของโครงการ และวิธีการบุดเจาะอุโมงค์.....	36
3.2.2 ข้อมูล Ground Surface Settlement .....	40
3.2.3 ข้อมูล บันทึกหัวเจาะ .....	41
3.3 ขั้นตอนการดำเนินงานวิจัย.....	42
3.3.1 การวิจัยโดยการทดสอบในห้องปฏิบัติการ.....	42
3.3.2 การวิเคราะห์ ข้อมูลที่ได้จากสนาม.....	53
3.3.3 การวิเคราะห์ การทรุดตัวของผิวดิน โดยใช้ โปรแกรม PLAXIS.....	54
 บทที่ 4 การวิเคราะห์ผลงานวิจัย.....	56
4.1 การวิเคราะห์ผลการทดลองจากห้องปฏิบัติการ.....	56
4.1.1 การวิเคราะห์ผลการทดสอบ Direct Simple Shear.....	57
4.1.2 การทดสอบเพื่อหาค่า Compressibility ของดิน.....	62
4.1.3 การทดสอบ Power Consumption.....	70
4.2 การวิเคราะห์ข้อมูลจากสนาม ( Tunnel Boring Machine Record ).....	78
4.2.1 การศึกษาปัจจัยกระทบ ที่มีต่อ Face Pressure.....	81
4.2.2 การศึกษาปัจจัยกระทบ ที่มีต่อ Cutter Head Torque.....	82
4.2.3 การศึกษาปัจจัยกระทบ ที่มีต่อ Screw Conveyor Speed.....	83
4.2.4 การศึกษาปัจจัยกระทบ ที่มีต่อ Penetration Rate.....	84
4.2.5 การศึกษาปัจจัยกระทบ ที่มีต่อ Push Pressure.....	85
4.2.6 การศึกษาปัจจัยกระทบ ที่มีต่อ Articulate Pressure.....	86
4.2.7 การศึกษาปัจจัยกระทบ ที่มีต่อค่า Ground Surface Settlement.....	87
4.2.8 การศึกษาปัจจัยกระทบต่อหัวเจาะช่วงที่อุโมงค์อยู่ในทางตรงและช่วงอุโมงค์ เข้าโค้ง.....	89

## สารบัญ (ต่อ)

๘

บทที่	หน้า
4.3 การวิเคราะห์ Ground Surface Settlement โดยใช้ โปรแกรม Plaxis.....	94
4.3.1 การเลือกใช้แบบจำลองคิน.....	94
4.3.2 ระดับนำ้ไดคิน.....	95
4.3.3 พารามิเตอร์ที่ใช้ในการวิเคราะห์.....	95
4.3.4 ผลการวิเคราะห์ Ground Surface Settlement ด้วย โปรแกรม Plaxis..	101
บทที่ 5 สรุปผลการวิเคราะห์ และ ข้อเสนอแนะ.....	107
5.1 สรุปผลการวิเคราะห์.....	107
5.2 ข้อเสนอแนะ.....	108
รายการอ้างอิง.....	109
ประวัติผู้เขียนวิทยานิพนธ์.....	112

# สถาบันวิทยบริการ จุฬาลงกรณ์มหาวิทยาลัย

## สารบัญตาราง

ญ

ตาราง	หน้า
1.1 แสดงลักษณะทั่วไปของโครงการ.....	4
3.1 แสดง ลักษณะทั่วไปของโครงการ.....	35
3.2 แสดง Station และ Condition ต่างๆ ที่ใช้ในการวิเคราะห์ TBM Record และ FEM.....	41
4.1 แสดงส่วนผสม และค่า Friction Angle ของตัวอย่างทดสอบ Direct Simple Shear.....	58
4.2 แสดง ส่วนผสม และ Void Ratio ของคิน ผสม โฟม ที่อัตราส่วนต่างๆ.....	63
4.3 แสดง ส่วนผสม และ Void Ratio ของคิน ผสม เบนโทไนท์ ที่อัตราส่วนต่างๆ .....	67
4.4 แสดงอัตราส่วนผสม และ Power consumption ของ ทราย ผสม โฟม ที่ส่วนผสมต่างๆ.....	71
4.5 แสดงอัตราส่วนผสม และ Power consumption ของ ทราย ผสม เบนโทไนท์ ที่ส่วนผสมต่างๆ.....	74
4.6 แสดงข้อมูลทางกายภาพของอุโมงค์.....	101
4.7 แสดงลักษณะเส้นทางอุโมงค์ การใช้สารผสมเพิ่ม และ Station ที่เลือกใช้สำหรับวิเคราะห์ FEM.....	102

สถาบันวิทยบริการ  
จุฬาลงกรณ์มหาวิทยาลัย

## สารบัญภาพ

๒

ภาพประกอบ	หน้า
1.1 แสดงแนวเส้นทางอุโมงค์ส่งน้ำประปาจากโรงกรองน้ำบางเขนถึงถนนวงเวียน.....	2
2.1 แสดงลักษณะการเปลี่ยนแปลงของแรงดัน ใน Chamber และ Screw Conveyor.....	9
2.2 แสดง Ground Loss ที่เกิดขึ้น ที่หัวเจาะชนิด EPBs ( Lee,K.M.et al,1992).....	14
2.3 แสดง Ground Loss เหนือหัวเจาะอุโมงค์เนื่องจาก Overcutting (Lee,K.M.et al,1992).....	16
2.4 แสดง Ground Loss ที่เกิดเนื่องจาก Tail Voids (Lee,K.M.et al,1992).....	17
2.5 แสดงการทรุดตัวตามแนวยาว (A.Sramoon and Sugimoto,1999).....	18
2.6 แสดงการทรุดตัวตามแนวขวาง.....	20
3.1 แสดงแนวเส้นทางอุโมงค์ส่งน้ำประปาโครงการ G-MC-7A .....	32
3.2 แสดงลักษณะเส้นทางอุโมงค์ และ ตำแหน่งหลุมเจาะ.....	34
3.3 แสดงลักษณะของ Foaming Agent ก่อนที่จะนำไปผสมกับน้ำ.....	43
3.4 แสดงวิธีการปั่นโฟม และตัวอย่างโฟม หลังจากปั่นเสร็จ แล้ว.....	44
3.5 แสดงเครื่องทดสอบ Direct Shear.....	46
3.6 แสดงการผสม ทราย กับ โฟม เข้าด้วยกัน ด้วยเครื่อง ผสมดิน.....	47
3.7 แสดงการเตรียมตัวอย่าง ทราย กับ โฟม ลงใน Shear Box.....	48
3.8 แสดงเครื่อง Oedometer ใช้ทดสอบหา Compressibility ของตัวอย่าง.....	49
3.9 แสดงลักษณะการเตรียมตัวอย่าง ทราย พสม โฟม เพื่อทำการทดสอบ Compressibility.....	50
3.10 เครื่อง TOU Meter ใช้ในการวัดพลังงานที่ใช้ปั่นดิน.....	51
3.11 แสดง การวัดพลังงานที่ใช้ในการปั่นตัวอย่าง โดยเครื่อง TOU Meter.....	51
4.1 แสดงค่า Friction Angle ของ ทราย และ ทราย พสม โฟม ที่ส่วนผสมต่างๆ .....	59
4.2 แสดงค่า Friction Angle ของ ทราย และ ทราย พสม เบนโทไนท์ ที่ส่วนผสมต่างๆ .....	60
4.3a แสดง Friction Angle ของ ทราย + โฟม .....	61
4.3b แสดง Friction Angle ของ ทราย + เบนโทไนท์.....	61
4.4 แสดงความสัมพันธ์ ระหว่าง Void Ratio กับ Vertical Stress ของ ดิน พสม โฟม ที่อัตราส่วนต่างๆ .....	64
4.5 แสดงค่า Initial Void Ratio ของ Sand+ โฟม ที่อัตราส่วนผสมต่างๆ.....	65
4.6 แสดงค่า Final Void Ratio ของ Sand + โฟม ที่อัตราส่วนผสมต่างๆ.....	65
4.7 แสดงค่า Different Void Ratio ของ Sand + โฟม ที่อัตราส่วนผสมต่างๆ.....	66
4.8 แสดงความสัมพันธ์ ระหว่าง Void Ratio กับ Veritcal Stress ของ ดิน พสม เบนโทไนท์ ที่อัตราส่วนต่างๆ .....	67

ภาพประกอบ	หน้า
4.9 แสดงค่า Initial Void Ratio ของ Sand+ Bentonite ที่อัตราส่วนผสมต่างๆ.....	68
4.10 แสดงค่า Final Void Ratio ของ Sand+ Bentonite ที่อัตราส่วนผสมต่างๆ.....	68
4.11 แสดงค่า Difference Void Ratio ของ Sand+ Bentonite ที่อัตราส่วนผสมต่างๆ.....	69
4.12 แสดงความสัมพันธ์ ระหว่าง Power Consumption ของตัวอย่าง ราย ผสม โฟม ที่ เปอร์เซ็นต์ FIR ต่างๆ .....	72
4.13 แสดงความสัมพันธ์ ระหว่าง Power Consumption กับ ปริมาณ เบนโทไนท์ ที่ผสมกับราย ที่อัตราส่วนต่างๆ.....	75
4.14 แสดง การเปรียบเทียบ Power Consumption ของ ราย ผสม โฟม กับ ราย ผสม เบนโทไนท์ ที่ Water content ต่างๆ.....	76
4.15 (a) ค่า Ground Surface Settlement (mm ) ที่ Ring No. 192 – Ring No. 1205.....	78
4.15 (b) ค่า Face Pressure ( Bar) ที่ Ring No. 192 – Ring No. 1205.....	79
4.15 (c) ค่า Cutter Head Torque ( Bar) ที่ Ring No. 192 – Ring No. 1205.....	79
4.15 (d) ค่า Penetration Rate (minute) ที่ Ring No. 192 – Ring No. 1205.....	79
4.15 (e) ค่า Screwconveyor Speed (Rev / minute) ที่ Ring No. 192 – Ring No. 1205.....	80
4.15 (f) ค่า Push Pressure (Bar) ที่ Ring No. 192 – Ring No. 1205.....	80
4.15 (g) ค่า Articulate Pressure (Bar) ที่ Ring No. 192 – Ring No. 1205.....	80
4.16 เปรียบเทียบ ค่า Face Pressure (bar) ที่ Ring ต่างๆ ของช่วงที่ใช้ โฟม กับช่วงที่ใช้เบนโทไนท์ เป็นสารผสมเพิ่ม.....	81
4.17 เปรียบเทียบ ค่า Cutter Head Torque(bar) ที่ Ring ต่างๆ ของช่วงที่ใช้ โฟม กับช่วงที่ใช้ เบนโทไนท์ เป็นสารผสมเพิ่ม.....	82
4.18 เปรียบเทียบ ค่า Screw Conveyor Speed (Round/Minute , rpm) ที่ Ring ต่างๆ ของช่วงที่ใช้ โฟม กับช่วงที่ใช้เบนโทไนท์ เป็นสารผสมเพิ่ม.....	83
4.19 เปรียบเทียบ ค่า Penetration Rate (mm/Minute)ที่ Ring ต่างๆ ของช่วงที่ใช้ โฟม กับ ช่วงที่ใช้เบนโทไนท์ เป็นสารผสมเพิ่ม.....	84
4.20 เปรียบเทียบ ค่า Push Pressure ที่ Ring ต่างๆ ของช่วงที่ใช้ โฟม กับ ช่วงที่ใช้เบนโทไนท์ เป็นสารผสมเพิ่ม.....	85
4.21 เปรียบเทียบ ค่า Articulate pressure ที่ Ring ต่างๆ ของช่วงที่ใช้ โฟม กับ ช่วงที่ใช้เบนโทไนท์ เป็นสารผสมเพิ่ม.....	86

ภาพประกอบ	หน้า
4.22 เปรียบเทียบ ค่า Ground Surface Settlement ที่ Ring ต่างๆ ของช่วงที่ใช้ ไฟฟ้า กับ ช่วงที่ใช้ เบนโทไนท์ เป็นสารผสมเพิ่ม.....	87
4.23 เปรียบเทียบ ค่า Face Pressure ที่ Ring ต่างๆ ของช่วงอุโมงค์อยู่ในทางตรง(Stg) และ ช่วงที่ อุโมงค์ เข้าโค้ง(Cv).....	89
4.24 เปรียบเทียบ ค่า Cutter Head Torque ที่ Ring ต่างๆ ของช่วงอุโมงค์อยู่ในทางตรง(Stg) และ ช่วงที่อุโมงค์ เข้าโค้ง(Cv).....	90
4.25 เปรียบเทียบ ค่า Screwconveyor Speed ที่ Ring ต่างๆ ของช่วงอุโมงค์อยู่ในทางตรง (Stg) และ ช่วงที่อุโมงค์ เข้าโค้ง(Cv).....	90
4.26 เปรียบเทียบ ค่า Penetration Rate ที่ Ring ต่างๆ ของช่วงอุโมงค์อยู่ในทางตรง(Stg) และ ช่วงที่ อุโมงค์ เข้าโค้ง(Cv).....	91
4.27 เปรียบเทียบ ค่า Push Pressure ที่ Ring ต่างๆ ของช่วงอุโมงค์อยู่ในทางตรง(Stg) และ ช่วงที่ อุโมงค์ เข้าโค้ง(Cv).....	91
4.28 เปรียบเทียบ ค่า Articulate Pressure ที่ Ring ต่างๆ ของช่วงอุโมงค์อยู่ในทางตรง (Stg) และ ช่วงที่อุโมงค์ เข้าโค้ง(Cv).....	92
4.29 เปรียบเทียบ ค่า Ground Surface Settlement ที่ Ring ต่างๆ ของช่วงอุโมงค์อยู่ในทางตรง (Stg) และ ช่วงที่อุโมงค์ เข้าโค้ง(Cv).....	92
4.30 แสดงลักษณะแรงดันน้ำในдинกรุงเทพ.....	95
4.31 แสดงค่า Stiffness ของดินกับระดับการเดี่ยวupal.....	98
4.32 (a) แสดงผลการทดสอบ Pressuremeter test ของดินBangkok Soft Clay.....	99
4.32 (b) แสดงผลการทดสอบ Pressuremeter testของดินBangkok Stiff Clay.....	99
4.33 แสดงค่า Ground Surface Settlement และ ค่าปรอร์เซ็นต์ Ground loss ที่วิเคราะห์กับจาก โปรแกรม Plaxis โดย บุค อุโมงค์ ใน ทางตรง และใช้ เบนโทไนท์ เป็น สารผสมเพิ่ม.....	102
4.34 แสดงค่า Ground Surface Settlement และ ค่าปรอร์เซ็นต์ Ground loss ที่วิเคราะห์กับจาก โปรแกรม Plaxis โดย บุค อุโมงค์ ใน ทางโค้ง และใช้ เบนโทไนท์ เป็น สารผสมเพิ่ม.....	103
4.35 แสดงค่า Ground Surface Settlement และ ค่าปรอร์เซ็นต์ Ground loss ที่วิเคราะห์กับจาก โปรแกรม Plaxis โดย บุค อุโมงค์ ใน ทางตรง และใช้ ไฟฟ้า เป็น สารผสมเพิ่ม.....	104
4.36 แสดงค่า Ground Surface Settlement และ ค่าปรอร์เซ็นต์ Ground loss ที่วิเคราะห์กับจาก โปรแกรม Plaxis โดย บุค อุโมงค์ ใน ทางโค้ง และใช้ ไฟฟ้า เป็น สารผสมเพิ่ม.....	105

## บทที่ 1

### บทนำ

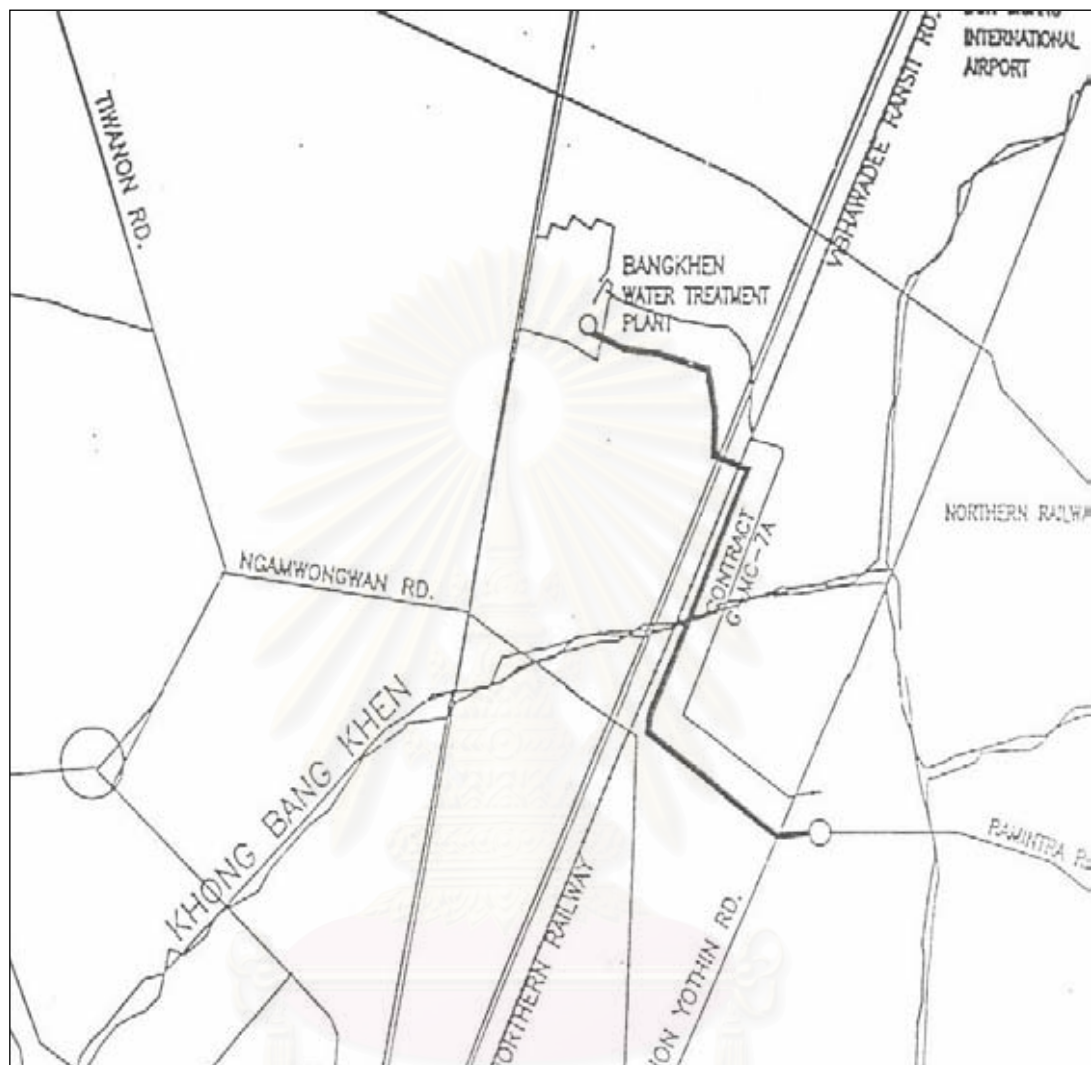
#### 1.1 ) ความเป็นมาและความสำคัญของปัจจุบัน

ในปัจจุบัน กรุงเทพมหานคร มีการขยายตัวทางเศรษฐกิจ ธุรกิจ การค้า และการพาณิชย์ อย่างรวดเร็ว ทำให้อัตราการขยายตัวทางเศรษฐกิจ เข้ามาย่ออัศัยเพิ่มขึ้น ความต้องการด้านสาธารณูปโภค ต่างๆ จึงเพิ่มขึ้น ทั้งระบบ ขนส่งมวลชน ระบบบำบัดน้ำเสีย และสาธารณูปโภคต่างๆ ที่จำเป็น ต่อการดำรงชีวิต เช่นน้ำประปา ไฟฟ้า และระบบโทรศัพท์ ทางรัฐบาลจึงต้องมีนโยบายเร่ง ท่อสร้างโครงการต่างๆ เพื่อรับรองความต้องการของประชาชน

การก่อสร้างระบบสาธารณูปโภคต่างๆ ที่ปัจจุบัน รัฐบาลดำเนินการอยู่มีหลายโครงการ ด้วยกัน เช่น โครงการก่อสร้างอุโมงค์รถไฟใต้ดิน สายเฉลิมรัชมงคล ของการรถไฟฟ้า มวลชนแห่งประเทศไทย หรือ รฟม.(Mass Rapid Transit Authority of Thailand,MRTA) โครงการก่อสร้างระบบป้องกันน้ำท่วมอุโมงค์ผ่านน้ำคลองประมประภากร โครงการก่อสร้าง ระบบบำบัดน้ำเสีย โครงการขนส่งสายไฟฟ้าใต้ดิน และอุโมงค์ส่งน้ำของ การประปากรหลวง (Metropolitan Water Works Authority, MWA)

เป็นที่ทราบกันดีอยู่แล้วว่า ปัจจุบัน กรุงเทพมหานคร มีพื้นที่จำกัดและคับแคบมาก ทำให้ การก่อสร้างด้านสาธารณูปโภคส่วนใหญ่ จะทำการก่อสร้างกันใต้ดิน โดยวิธีการก่อสร้าง อุโมงค์ขนาดใหญ่ในชั้นดินกรุงเทพฯ ซึ่งมีสภาพชั้นดินหลาຍประเกท วิธีที่เหมาะสมและใช้กัน ส่วนใหญ่คือ ระบบแรงดันดินสมดุล, EPB(Earth Pressure Balance Shield) ซึ่งเป็นหัวใจแบบ หน้าปิด มีแรงดันดินเป็นปัจจัยสำคัญในการควบคุมหัวใจ โดยในปัจจุบันมีการพัฒนา เทคโนโลยีต่างๆ มาอย่างที่ทำให้ หัวใจระบบแรงดันดินสมดุล มีประสิทธิภาพสูงขึ้น เช่น การ ใช้สารปรับปรุงคุณภาพดิน (Soil Conditioning Agents) โดยนีด ไปบริเวณหน้าหัวใจ และใน ห้องควบคุมแรงดันดิน (Pressure Chamber) ซึ่งผลลัพธ์ ที่ออกมานี้เป็นที่ยอมรับและน่าพอใจใน หลากหลายด้าน

การประปากรหลวง ได้ริเริ่มโครงการเพิ่มกำลังการผลิตน้ำประปา เพื่อแจกจ่ายให้กับ ประชาชนในเขตพื้นที่กรุงเทพมหานครและเขตปริมณฑล ซึ่งมีโครงการก่อสร้างบุดเจาะอุโมงค์ ส่งน้ำประปา จากโรงกรองน้ำบางเขน ไปสู่สถานีสูบน้ำประปามีนบุรี โดยโครงการก่อสร้าง สัญญา G-MC-7A นี้ เป็นเพียงส่วนหนึ่งของโครงการดังกล่าว โดยเริ่มทำการบุดเจาะตั้งแต่โรง กรองน้ำบางเขนถึงถนนงามวงศ์วาน รวมเป็นระยะทางทั้งหมดประมาณ 7 กิโลเมตร ดังรูป 1.1



รูปที่ 1.1 แนวเส้นทางอุโมงค์ส่งน้ำประปาโครงการ G-MC-7A จาก โรงกรองน้ำบางเขนถึง  
ถนนงามวงศ์วาน

### ตารางที่ 1.1 ลักษณะทั่วไปของโครงการ

เจ้าของโครงการ	การประปาส่วนภูมิภาค
ชื่อโครงการ	Transmission Tunnel Project from Bangken Water Treatment Plant to Ngamwongwan Road
ผู้รับเหมาโครงการ	TN Joint Venture
ราคาก่อสร้าง	1,067,844,712.00 บาท
ระยะเวลา ก่อสร้าง	เริ่มก่อสร้าง 23 เมษายน 2544 , ระยะเวลา 840 วัน
ความลึกของอุโมงค์	ผิวดินถึงกึ่งกลางอุโมงค์ ประมาณ 20.5 เมตร
ชนิดดิน	เป็นชั้นดินเหนียวแข็งปนทราย
Tunneling Method	Shield Tunneling Type
Excavation Method	Earth Pressure Balance Type
ความยาวอุโมงค์	ประมาณ 7,000 เมตร
Primary Lining	Precast Concrete Segment OD = 4,076 mm , หนา 15 cm
Secondary Lining	Steel Tube Element ID = 3,400 mm , หนา 18 mm

### 1.2) วัตถุประสงค์ของงานวิจัย

- 1) เพื่อศึกษาและเปรียบเทียบคุณสมบัติของดิน เมื่อผสมกับ ไฟฟ์และ เบนโทไนท์
- 2) เพื่อศึกษาและเปรียบเทียบพฤติกรรมของหัวใจระบบแรงดันดินสมดุลย์เมื่อใช้ ไฟฟ์และ เบนโทไนท์เป็นสารผสมเพิ่ม
- 3) เพื่อศึกษาเปรียบเทียบลักษณะการทรุดตัวของชั้นดิน เมื่อใช้ ไฟฟ์และ เบนโทไนท์เป็นสารผสมเพิ่ม โดยใช้โปรแกรม PLAXIS วิเคราะห์

### 1.3) ขอบเขตของการวิจัยและแนวทางการศึกษา

งานวิจัยครั้งนี้เป็นการอาศัยข้อมูลจริงในสนาม โดยได้ทำการรวบรวมไว้แล้วนำมาพิจารณาตามจุดประสงค์ที่วางไว้ โดยงานวิจัยนี้ทำการศึกษาตั้งแต่ CH 0+000.00 ถึง CH 3+313.632 ข้อมูลหลักที่นำมาศึกษาประกอบด้วย

- 1) ข้อมูลลักษณะชั้นดิน และพารามิเตอร์ที่สำคัญต่างๆ จาก BORING LOG โดยช่วงที่ศึกษามีทั้งหมด 5 หลุมเจาะ ตั้งแต่ BH 0+000.00 ถึง BH 3+280.00
- 2) ข้อมูลค่าทรุดตัวของผิวดิน (Ground Surface Settlement) เป็นข้อมูลการตรวจวัดการทรุดตัวที่ผิวดินในสนามโดยอาศัย Settlement Point และ Settlement Marker
- 3) ข้อมูลค่าความคุณหัวใจในการบุดเจาะดิน เป็นข้อมูลที่แสดงถึงปัจจัยต่างๆ ในการควบคุมการทำงานของหัวใจ (TBM Operation) ซึ่งรวมถึงการทำ Back Fill Grouting ด้วย
- 4) ข้อมูลคุณสมบัติ วิธีการใช้งาน ของโฟมและเบนโทไนท์, พฤติกรรมของหัวใจ ระบบ EPBs เมื่อมีการใช้สารผสมเพิ่ม และ กรณีศึกษาต่างๆที่เกี่ยวข้อง

จากข้อมูลต่างๆที่มีนำมาพิจารณาเพื่อศึกษาพฤติกรรมของดินบริเวณหน้าหัวใจที่เกิดขึ้น เมื่อมีการใช้สารผสมเพิ่ม และศึกษาความสัมพันธ์ของพฤติกรรมดินกับการเคลื่อนตัวของชั้นดิน

นำข้อมูลค่าทรุดตัวของผิวดินในสนามมาปรับเปลี่ยนกับการวิเคราะห์ด้วยโปรแกรม Finite Elements โดยใช้โปรแกรม Plaxis

### 1.4) ประโยชน์ที่คาดว่าจะได้รับ

- 1) ทำให้เข้าใจพฤติกรรมของดินเมื่อผสมกับ โฟม และ เบนโทไนท์ ได้ดีขึ้น
- 2) ทำให้เข้าใจพฤติกรรมของดินใน EPB Shields ได้ดีขึ้น และสามารถใช้ Conditioning agents เพื่อเพิ่มประสิทธิภาพของ EPB Shield ให้สูงขึ้นได้
- 3) ทำให้ทราบถึงผลของการใช้สารผสมเพิ่ม ที่มีต่อประสิทธิภาพของหัวใจระบบแรงดันดินสมดุล และ ต่อการเคลื่อนตัวของชั้นดิน
- 4) สามารถอธิบายความสัมพันธ์ของ ลักษณะการเคลื่อนตัวของชั้นดินกับค่าความคุณของ EPB Shield ( TBM Records ) ได้
- 5) ทำให้สามารถใช้โปรแกรมคอมพิวเตอร์ Plaxis ในการวิเคราะห์ และคาดคะเนการทรุดตัวของชั้นดินที่เกิดการบุดเจาะอุโมงค์ได้

## บทที่ 2

### ทฤษฎีและงานวิจัยที่เกี่ยวข้อง

การบุดเจาะอุโมงค์ในปัจจุบัน อีกทั้งเป็นระบบสำคัญที่ใช้ในการพัฒนาประเทศ ซึ่งปัจจุบันยังมีปัญหาหลายอย่างที่ต้องศึกษาเพิ่มเติม และ แก้ไข โดยสิ่งที่เราต้อง คำนึงถึงมากที่สุด คือ ค่าทรุดตัวที่ผิด din ที่เกิดจากการบุดเจาะอุโมงค์ ดังนั้น เพื่อให้งานบุดเจาะมีประสิทธิภาพสูง จึงจำเป็นต้องทราบถึงขั้นตอน พื้นฐานที่ใช้ในการบุดเจาะอุโมงค์ และวิธี ปรับปรุงคุณภาพการบุดเจาะที่มีการคิดค้นเพิ่มขึ้นมา

#### **2.1) การบุดเจาะอุโมงค์โดยวิธี Shield Tunneling ในดินอ่อน (Shield Tunneling Method in Soft Ground)**

##### **2.1.1 ทั่วไป (General)**

การบุดเจาะอุโมงค์โดยวิธี Shield Tunneling เริ่มต้นจากการก่อสร้างอุโมงค์ในดินอ่อนเพื่อลอดใต้แม่น้ำ โดยในปี ก.ศ. 1827 เริ่มมีการใช้เพื่อบุดเจาะอุโมงค์ลอดแม่น้ำ Thames ในลอนดอน โดยใช้เครื่องบุดเจาะที่พัฒนาโดย Marc I.Brunel และ J.H.Greathead ต่อมาได้มีการพัฒนาเทคโนโลยีการบุดเจาะและคำยันด้านหน้าอุโมงค์ (Face Support) เป็นไปอย่างต่อเนื่อง ซึ่งทำให้เกิดเครื่องบุดเจาะชนิดต่างๆ เพื่อให้สอดคล้องกับความต้องการประสิทธิภาพการทำงานและสภาพลักษณะชั้นดิน

การก่อสร้างอุโมงค์ในชั้นดินอ่อน (Soft Ground Tunneling) สำหรับชุมชนเมือง ได้มีการเปลี่ยนแปลงรูปแบบจากวิธี Cut-and-Cover ไปเป็นการบุดเจาะโดยวิธี Shield Tunneling เนื่องจากได้มีการคำนึงถึงผลกระทบต่อสภาพแวดล้อม ใกล้เคียงพื้นที่ก่อสร้าง Shield Tunneling เป็นการบุดเจาะโดยใช้ปลอกเหล็ก (Shield) ทรงกลมดันเข้าไปในดินในแนวแกนของอุโมงค์ในเวลาเดียวกันกับที่มีการบุดเจาะอุโมงค์ โดยที่ Shield จะทำหน้าที่เป็นคำยันชั่วคราวป้องกันการพังทลายของดินจากการบุดเจาะและกันน้ำให้เหลือสู่อุโมงค์ จนกว่าจะมีการก่อสร้างคำยันถาวร (Permanent Support)

#### **2.2) หลักการพื้นฐานของหัวเจาะระบบแรงดันดินสมดุล ( Principle and Fundamental Characters of Earth Pressure Balanced Type Shield Method )**

เครื่องบุดเจาะระบบแรงดันดินสมดุล ( EPB Shield ) ถูกคิดค้นขึ้นในประเทศญี่ปุ่นโดย Sato Kogyo Company เป็นอีกทางเลือกหนึ่งเพื่อให้การบุดเจาะอุโมงค์ประทัดและมีประสิทธิภาพ สามารถทำงานได้ในดินอ่อนจนถึงทราย และกรวดที่อยู่ต่ำกว่าระดับน้ำได้ดี โดยหลักการใช้ Slurry

### 2.2.1 หลักการพื้นฐาน (The Principle of Earth Pressure Balance Type Shield )

หลักการพื้นฐานของเครื่องบดเจาะประเภทแรงดันดินสมดุลคือ เป็นการเติมดินบดผ่านเข้าสู่ Chamber และสร้างแรงดันด้วยการขับดันเครื่องบดเจาะ แรงดันที่เกิดขึ้นจะต้องเพียงพอเพื่อทำการคำนวณด้านหน้าอุ่อมงค์ได้อย่างปลอดภัย ระหว่างที่หัวเจาะเคลื่อนที่ดินใน Chamber จะถูกอัดและเป็นตัวส่งผ่านแรงด้านทานไปสู่ดินด้านหน้าอุ่อมงค์ ซึ่งเป็นแรงลักษณะจากแรงผลักของ Shield Jack กระจายผ่าน Bulk Head เข้าสู่มวลดินใน Chamber โดยที่ว่าไปแรงลักษณะที่เกิดขึ้นกับดินใน Chamber จะเรียกว่า “ Face Pressure ”

ในการรักษาเสถียรภาพด้านหน้าอุ่อมงค์โดยอาศัยแรงด้านจาก Face Pressure ให้เป็นไปอย่างมีประสิทธิภาพจะต้องทำการรักษาแรงดันนี้ตลอดเวลาขณะที่หัวเจาะเคลื่อนมีบดเจาะดินด้วยการปรับอัตราสีคตัวของ Hydraulic Jacks (Shield /Jacks Speed) และอัตราการลำเลียงดินออกจาก Chamber (Discharging Rate of Screw Conveyor) การเคลื่อนตัวของดินบริเวณหน้าอุ่อมงค์ผ่าน Chamber และลำเลียงออกโดยอาศัย Screw Conveyor จะต้องมีความราบรื่นเป็นไปอย่างต่อเนื่อง

### 2.2.2 ลักษณะทั่วไปของหัวเจาะระบบแรงดันดินสมดุล ( Fundamental Characters of Earth Pressure Balance Shield Type )

#### 1) ดินบดต้องมีสภาพเป็น Plastic Fluidity (Excavated Soil Has Plastic Fluidity)

ภายใต้วิธีการบดนี้ ดินบด (Excavated Soil) จะเคลื่อนตัวและถูกลำเลียงออกอย่างราบรื่นและต่อเนื่องผ่าน Screw Conveyor ในขณะที่ยังคงทำการรักษา Face Pressure ให้เพียงพอเพื่อทำการคำนวณด้านหน้าตัดดินบดของอุ่อมงค์ ซึ่งการรักษาสมดุลระหว่างดินที่ถูกลำเลียงออก กับดินที่ไหลเข้าสู่ Chamber จะมีความสำคัญกับระบบเป็นอย่างมาก โดย Screw Conveyor จะทำหน้าที่ลำเลียงและปล่อยดินบดออก (Discharged Soil) สู่ด้านหลังหัวเจาะเพื่อทำการขนส่งนำขึ้นสู่ผู้ดินต่อไป และเนื่องมาจากเดินผ่านศูนย์กลางของ Screw Conveyor ที่น้อยกว่าพื้นที่หน้าตัดของดินบดมาก ดังนั้นดินบดจะต้องมีความเป็น Plastic Fluidity เพื่อให้สามารถผ่านเข้าสู่ทางเข้าเดิกฯ ของ Screw Conveyor ได้อย่างราบรื่น ในทางตรงกันข้าม เมื่อดินบดใน Chamber ไม่อยู่ในสภาพ Plastic Fluidity การเคลื่อนตัวของดินจะไม่ราบรื่นซึ่งอาจเป็นสาเหตุทำให้น้ำได้ดินไหลเข้าสู่ภายในอุ่อมงค์ ได้ทำให้เกิด ความเสียหายต่อการพังทลายของดินด้านหน้าอุ่อมงค์

## 2) ดินบุกต้องมีความทึบน้ำ ( Excavated Soil Having Impermeability property )

การควบคุมน้ำได้ดีนั้นมีความสำคัญมากในระหว่างการดำเนินการบุดเจาะ ดินบุกดังที่อยู่ใน Chamber และใน Screw Conveyor จะต้องมีความทึบน้ำสามารถต้านทานแรงดันของน้ำได้ดี เพราะถ้าหากคุณสมบัตินี้แล้วอาจจะทำให้เกิดการหลักของน้ำได้ดินผ่าน Chamber และ Screw Conveyor เข้าสู่ตัวอุโมงค์ เกิดความเสี่ยงต่อการพังทลายด้านหน้าอุโมงค์ และต่อให้เกิดปัญหาต่อการทำงาน

### 2.2.3 ประสิทธิภาพการบุดเจาะ

#### 1) ประสิทธิภาพการบุดเจาะซึ่งจะขึ้นอยู่กับ การควบคุมปริมาณดินบุดเจาะ (Effectiveness of tunnel boring controlled by Soil Excavation Volume )

ระหว่างเครื่องทำการบุดเจาะ ดินจะผ่านเข้าสู่ Chamber โดยจะถูกกดอัด เพื่อสร้างแรงดันในการรักษาเสถียรภาพหน้าตัดดินบุด และมีการเคลื่อนผ่าน Screw Conveyor เพื่อปล่อยดินออกด้านหลัง เครื่อง กระบวนการดังกล่าวจะเกิดขึ้นอย่างต่อเนื่อง การควบคุมการบุดเจาะที่มีประสิทธิภาพมากที่สุดสามารถทำได้ด้วยการควบคุมปริมาณดินที่บุดเจาะ (Excavated Soil) เท่ากับปริมาณดินที่ปล่อยออก ซึ่งถือได้ว่าเป็นหลักการพื้นฐานในการควบคุมประสิทธิภาพการบุดเจาะของเครื่องบุดเจาะแบบนี้

การตรวจวัดปริมาณดินด้วยวิธีที่ทันสมัยได้แก่ Belt Weighting Method (Endress & Hauser), Ultrasonic Method (Misubishi) และ Laser Method (Misubishi) ซึ่งวิธีการเหล่านี้มีความละเอียดถูกต้องมากทำให้การตรวจสอบปริมาณดินในขณะทำการบุดเจาะที่เวลาใดๆ (Real Time) การควบคุมปริมาณดินบุดจึงอาศัยการปรับเปลี่ยนอัตราเร็วการเคลื่อนที่ของเครื่องบุดเจาะ เพื่อให้ปริมาณดินบุดที่เข้ามาทางด้านหน้าสอดคล้องกับปริมาณดินที่บนถ่ายออกจาก Screw Conveyor การตรวจสอบจะประเมินจากอัตราส่วนดินบุด ดังสมการที่ 2.1

$$R_E = \frac{V_E}{A_{CF} V_S} \times 100 \quad (2.1)$$

โดยที่	$R_E$	= อัตราส่วนคินบุค ( Soil Excavated Ratio )
	$V_E$	= ปริมาตรคินบุคที่ขับออกจาก Screw Conveyor ( $m^3$ ) ในหนึ่งหน่วยเวลา
	$A_{CF}$	= พื้นที่หน้าตัดการบุคเจาะ ( Cutter Face Area , $m^2$ )
	$V_s$	= ความเร็วของเครื่องบุคเจาะ (Shield Jack Speed , m/sec )

เมื่อ  $R_E = 100\%$  : การบุคเจาะอยู่ในการควบคุมที่ดินด้านหน้าหัวเจาะจะไม่เกิดการเคลื่อนตัว

$R_E > 100\%$  : การบุคเจาะมีปริมาณคินบุคมากเกินไป ดินด้านหน้าอุโมงค์ มีแนวโน้มพังทลายเข้าเป็นต้องลดปริมาณคินบุคที่ขันถ่ายออก

$R_E < 100\%$  : การบุคเจาะมีปริมาณคินบุคน้อยเกินไป ดินด้านหน้าอุโมงค์มีแนวโน้มเกิด Heave จำเป็นต้องขันถ่ายดินออกจาก Screw Conveyor ให้มากขึ้น

## 2) ประสิทธิภาพการบุคเจาะจะอาศัยการควบคุมแรงดันดินด้านหน้าหัวเจาะ (To Have Effective of Excavation by Face Pressure Control)

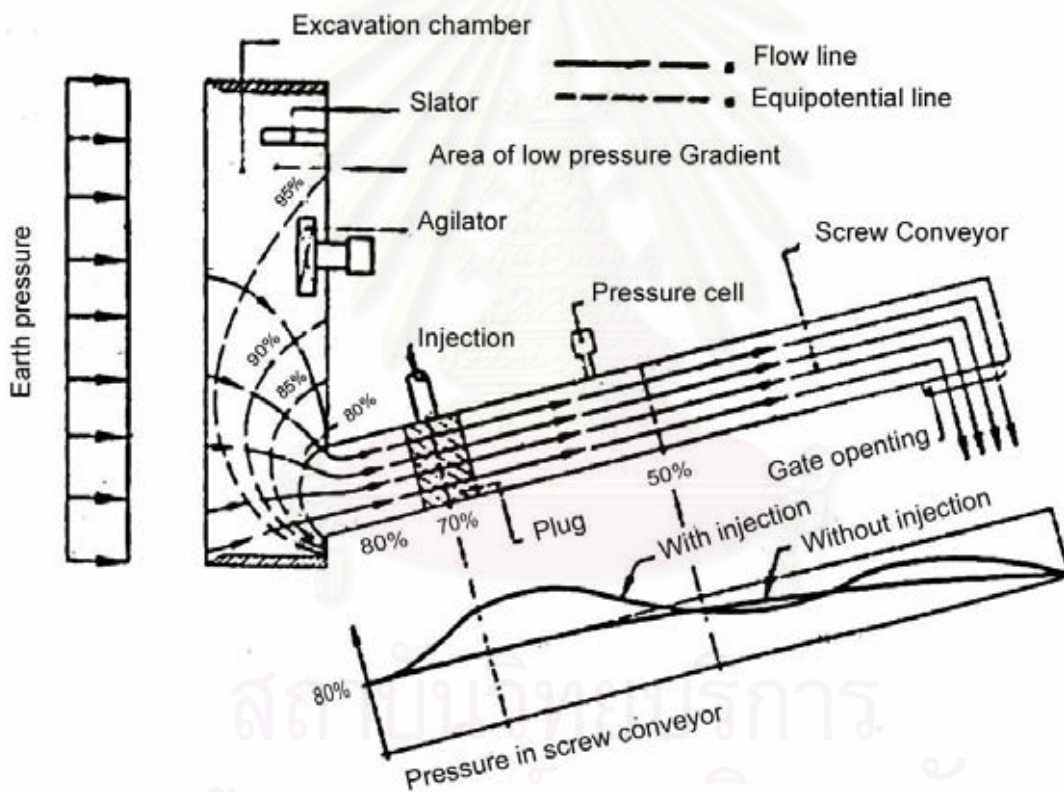
ดังที่ได้กล่าวมาแล้วว่าหัวเจาะระบบแรงดันดินสมดุล (EPB Shield) เป็นวิธีการที่พยากรณ์รักษาเสถียรภาพของหน้าตัดคินบุค โดยอาศัยแรงดัน (Face Pressure) ที่เพียงพอ เพื่อต้านทานแรงดันดินและแรงดันน้ำได้ดีที่สุด ด้านหน้าอุโมงค์ การรักษา Face Pressure ในระดับที่มากพอถือเป็นวิธีช่วยให้การบุคเจาะมีประสิทธิภาพมากที่สุด โดยทั่วไปแล้วระดับของ Face Pressure ที่ถือว่าจะไม่ส่งผลกระทบให้ชั้นดินเปลี่ยนแปลงไปมาก จะมีค่าดังสมการที่ 2.2

$$P_a + P_w < P_f < P_p + P_w \quad (2.2)$$

โดยที่	$P_f$	คือ Face Pressure
	$P_a$	คือ Active Earth Pressure
	$P_p$	คือ Passive Earth Pressure
	$P_w$	คือ Underground Water Pressure

ในกรณีที่  $P_f = P_r + P_w$  ( $P_r$  = Earth Pressure at Rest) ชั้นดินจะไม่เกิดการเปลี่ยนแปลง หรือไม่เกิดการเคลื่อนตัว ในทางปฏิบัติ  $P_a$  และ  $P_p$  จะได้จากการคำนวณตามสภาพของชั้นดิน และ

กำหนดค่าใช้งานอยู่ในขอบเขตดังกล่าว โดยถือว่า  $P_p + P_w$  เป็นขอบเขตบน (Upper Limit) และ  $P_a + P_w$  เป็นขอบเขตล่าง (Lower Limit) การควบคุม Face Pressure สามารถทำได้โดยการปรับอัตราเร็วของหัวเจาะ (Shield Jack Speed) และ ความเร็วรอบของการหมุนของ Screw (Screw Conveyor Revolution Speed) ให้ค่า Face Pressure เป็นไปตามค่าที่กำหนดหรือคลาดเคลื่อนอยู่ในเกณฑ์ที่กำหนด ( เกณฑ์ที่ขอมให้โดยทั่วไปคือ  $\pm 0.2 \text{ kgf/cm}^2$  หรือ  $\pm 20 \text{ kN/m}^2$  ) Hagimoto และ Kashima (1985) ได้เสนอแนะวิธีการควบคุม Face Pressure ว่าควรจะต้องทำการตรวจสอบแรงดันที่เกิดขึ้นของ Discharge Soil เพิ่มเติมเข้าไปด้วย ซึ่งจะทำให้เห็นการเปลี่ยนแปลงของแรงดันตลอดเส้นทางการเคลื่อนตัวของดินบด ลักษณะการเปลี่ยนแปลงของแรงดัน แสดงในรูป 2.1



รูปที่ 2.1 แสดงลักษณะ การเปลี่ยนแปลงของแรงดัน ใน Soil Chamber และ Screw Conveyor

#### 2.2.4 การปรับปรุงคุณสมบัติดินบุด (Kneading Mechanism and an injecting System of Mud-Making Agent)

ดังที่ได้กล่าวมาแล้วว่าดินบุดมีสภาพเป็น Plastic Fluidity และมีความหนืด (Viscosity) ซึ่งในดินเหนียวอ่อน (Soft Clay) จะมีคุณสมบัติเหล่านี้อยู่ แต่ในกรณีของชั้นทรายและกรวดคุณสมบัติของดินจะไม่อยู่ในลักษณะดังกล่าว ซึ่งส่งผลให้การเคลื่อนตัวจากผิวน้ำตัดไปจนกระทั่งถูกปล่อยออก จาก Screw Conveyor จะเป็นไปอย่างลำบาก เนื่องจากดินจะอยู่ในสภาพยัดแน่น ดังนั้นจึงจำเป็นจะต้องมีการปรับปรุงคุณสมบัติของดินบุดให้มีสภาพเป็น Plastic Fluidity โดยการเติมวัสดุที่มีคุณสมบัติ Plastic เข้าไปผสมและทำการกวนให้เป็นเนื้อดียกันด้วยใบพาย (Kneading Blade) ที่ติดตั้งอยู่ข้างใน Chamber ระบบการเติมสารผสมเพิ่ม (Mud-Making Agent Injecting System) จะถูกออกแบบให้มีจำนวนและตำแหน่งของหัวฉีดสอดคล้องกับสภาพของชั้นดิน ขนาดของเครื่องเจาะ และอื่นๆ ใบพายจะถูกออกแบบให้มีประสิทธิภาพในการทำงานมากที่สุด

#### 2.2.5 ปัจจัยที่มีผลต่อการทำงานของ EPB Shield (Factors Influence on EPB Shield Performance)

##### 1) สภาพชั้นดิน (Ground Condition)

Fugichi(1995) ได้กล่าวไว้ว่าหัวเจาะระบบแรงดันดินสมดุล (EPB Shield) มีความเหมาะสมใน การบุดเจาะในชั้นดินที่มีความเชื่อมแน่น (Cohesive Soil) เมื่อบุดเจาะในชั้นทรายหรือดินที่ไหลตัวยาก จะทำให้การทำงานของ Screw Conveyor เกิดปัญหาขึ้น จ่ายต่อการเกิดความผิดพลาดทำให้ประสิทธิภาพการทำงานลดลง ในการแก้ปัญหาดังกล่าวสามารถทำได้โดยการเติมสารผสมเพิ่ม (Additive agent) เข้าสู่ Chamber ซึ่งจะทำให้ดินใน Chamber มีความเหลวที่พอเหมาะ และจ่ายต่อการเคลื่อนตัวไปตาม Screw Conveyor ได้อย่างราบรื่น ประสิทธิภาพในการทำงานจึงเพิ่มขึ้นด้วย

Nishitake(1987) ได้กล่าวไว้ว่าในกรณีที่มีก้อนหินที่มีเส้นผ่านศูนย์กลางขนาดใหญ่ หรือร้อยละ 20 ของขนาดเส้นผ่านศูนย์กลางของเครื่องเจาะ เพื่อให้การบุดเจาะสามารถดำเนินงานต่อไปได้ต้องมีการติดตั้งอุปกรณ์ในการบดอัดไว้ในบริเวณ Cutter Face เพื่อให้ก้อนหินแตกเป็นชิ้นเล็กๆ ก่อนที่จะผ่านเข้าสู่ Chamber และพ้อที่จะผ่าน Screw Conveyor ออกไปได้

## 2 ) ความสามารถของเครื่องบุดเจาะ (Machine Capacity)

### 2.1) ส่วนการติดตั้งผนังอุ่มeng (Provision of Support )

ก) การติดตั้งผนังอุ่มeng (Erection of Lining) ในการติดตั้งชิ้นส่วน (Segments) เพื่อประกอบเป็นผนังอุ่มeng จำเป็นจะต้องอาศัยเครื่องประกอบชิ้นส่วนผนังอุ่มeng (Segment Erector) ที่มีประสิทธิภาพในการทำงาน เพื่อลดเวลาในการติดตั้งและเพิ่มอัตราการทำงาน ระบบที่มีประสิทธิภาพสูงจะทำงานด้วยเครื่องจักรทั้งหมด นับตั้งแต่การขันยกขึ้นไปติดตั้งและการยึดด้วยสลักเกลียว (Bolts)

Parker et al(1971) ได้กล่าวว่า อัตราการทำงานของการบุดเจาะอุ่มeng ในคืนอ่อนจะขึ้นอยู่กับอัตราการติดตั้งผนังอุ่มeng โดยถ้าสามารถลดจำนวนต่อวันลงจาก 8 ชั่วโมง เป็น 6 ชั่วโมงหรือ 4 ชั่วโมง ได้จะทำให้ลดเวลาในการติดตั้งผนังอุ่มeng ลง อัตราการทำงานจะมีค่าเพิ่มสูงขึ้นสามารถทำงานได้อย่างรวดเร็ว

ข) การอุดช่องว่างรอบผนังอุ่มeng (Backfill Grounting) เป็นวิธีการป้องกันการทรุดตัวของชั้นดินให้มีค่าสูง ในการเพิ่มประสิทธิภาพในการทำงานจะต้องอาศัยระบบการทำงานที่มีลักษณะพิเศษ เช่น สามารถที่จะ Grount ได้อย่างรวดเร็วและต่อเนื่อง ( Simultaneous Grounting) แรงดันที่ใช้โดยทั่วไปจะสูงกว่าแรงดันใน Chamber (Face Pressure) เล็กน้อย และปริมาณที่ใช้จะมีค่าระหว่าง 150-200 เปอร์เซ็นต์ของปริมาตรช่องว่างรอบผนังอุ่มeng (Tail Void)

### 2.2) การป้องกันการซึมเข้าสู่เครื่องเจาะ (Tail Seal)

Tail Seal เป็นส่วนประกอบที่สำคัญอย่างหนึ่งของเครื่องบุดเจาะประเภทต่างๆ เนื่องจากสามารถป้องกันการซึมของน้ำได้ดีและสามารถให้ทะลักของดินเข้าสู่หัวเจาะผ่านช่องว่าง ( Clearance) ระหว่างผิวด้านนอกของผนังอุ่มeng ที่เพิ่มประกอบเสริจกับผิวด้านในของ Shield บริเวณส่วนท้ายของหัวเจาะ ดังนั้นจึงจำเป็นต้องติดตั้งอุปกรณ์ Tail Seal เพื่อป้องกันปัญหาดังกล่าว โดยเฉพาะอย่างยิ่งอุ่มeng ที่อยู่ต่ำกว่าระดับน้ำได้ค่อนมากๆ

### 2.3 ผนังอุโมงค์ (Lining)

ผนังอุโมงค์โดยปกติจะแบ่งเป็น 2 ประเภทคือ Primary Lining กับ Secondary Lining เป็นโครงสร้างคำ้ยันรับแรง โดยตรงจากแรงภายนอกที่อยู่โดยรอบ การออกแบบและการก่อสร้างจะต้องให้ความสำคัญเป็นพิเศษเพื่อให้มีความแข็งแรงและคงทน

Hamamoto(1992) ได้เสนอแนะว่า แรงภายนอกที่กระทำกับอุโมงค์เกิดจากแรงดันน้ำ โดยแรงดังกล่าวจะกระทำกับ Primary Lining (Segments) ในลักษณะโดยรอบและจะมีการกระจายน้ำหนักเกิดแรงขึ้นระหว่าง Primary และ Secondary Lining

#### 1) Primary Lining

Primary Lining จะก่อสร้างขึ้นบริเวณส่วนท้ายของ Shield โดยทั่วไปจะมีลักษณะเป็นชิ้นส่วน (Segment) ปลายๆ ชิ้นตั้งแต่ 5 ถึง 7 ชิ้นใน 1 วง(Ring) มีความกว้าง 0.5 ถึง 1.2 เมตรชิ้นส่วนผนังอุโมงค์ จะทำขึ้นจากโรงงาน หลังจากนั้นจะทดสอบให้ได้มาตรฐานและถ่ายเอกสารที่ก่อสร้าง การประกอบจะยึดชิ้นส่วนต่างๆ เข้ากันด้วย Bolt โดย Primary Lining ชนิดต่างๆ ได้แก่

##### - Reinforce Concrete Segments

เป็นรูปแบบที่ใช้กันมานาน โดยปกติจะใช้ในอุโมงค์ขนาดใหญ่ (เส้นผ่านศูนย์กลางมากกว่า 4-5 เมตร) จะประยัดเมื่อขนาดของอุโมงค์มีขนาดใหญ่ขึ้น มีอายุการใช้งานนาน สามารถต้านทานการสึกกร่อน และทนความร้อนได้ดี แต่เนื่องจากน้ำหนักค่อนข้างมากรวมถึงรอยต่อค่อนข้างไม่แข็งแรง จึงมีแนวโน้มเกิดการเสียรูปค่อนข้างมาก

##### - Steel Segments

โดยทั่วไปจะใช้กับอุโมงค์ที่มีขนาดเล็กถึงขนาดกลาง ชิ้นส่วนต่างๆ จะถูกยึดเข้าด้วยกันด้วยการเชื่อมและยึดอีกครั้งด้วยแผ่นเหล็ก เนื่องจาก Steel Segments มีน้ำหนักค่อนข้างเบาจึงง่ายต่อการประกอบและขนย้าย เมื่อขนาดเส้นผ่านศูนย์กลางเพิ่มขึ้น อาจทำให้มีราคาสูงกว่า Concrete Segments การต้านทานการสึกกร่อนไม่ดีเท่าที่ควร และมีปัจจัย Strain และ Residual Stress จากการเชื่อม

##### - Composite Segments

Segments ชนิดนี้จะเป็นการประกอบขึ้นจากการนำแผ่นเหล็ก (Steel Plate) ประกอบทั้งสองด้านของ Reinforce Concrete Segments และยึดเข้าด้วยกัน ด้วยเหล็กจาก เพื่อให้เกิดการถ่ายแรงระหว่างผิวน้ำหนักของชิ้นส่วน 2 ด้าน ซึ่งเมื่อเปรียบเทียบกับ Concrete Segments แล้วจะมีความแข็งแรง

กว่าและทำให้ความหนาของอุโมงค์ลดลง แต่จะมีปัญหาจากการสึกกร่อน และรอยต่อที่ไม่ค่อยแข็งแรงนัก ซึ่งจะเป็นลักษณะของ สลักเกลียว (Bolt)

## 2) Secondary Lining

Secondary Lining เป็นโครงสร้างที่เสริมเข้าไป โดยจะอยู่ด้านในของ Primary Lining โครงสร้างของผนังอุโมงค์จะมีได้ทั้งที่เป็นคอนกรีตเสริมเหล็ก(ทั้งหล่อในที่และที่หล่อสำเร็จ) หรือท่อเหล็ก ประทิชช์คือทำให้ผิวต้านในของอุโมงค์เรียบขึ้น ป้องกันน้ำและการสึกกร่อน และต้านทานแรงเมื่อเกิดการเปลี่ยนแปลงในอนาคต ความหนาขึ้นอยู่กับเงื่อนไขการออกแบบ ความสามารถทำงานได้ (Workability) ถ้าเป็นคอนกรีตจะหนาประมาณ 15 ถึง 30 เซนติเมตร ในกรณีที่เป็นห่อสำเร็จการติดตั้งจะทำการดันให้เลื่อนเข้าไปในอุโมงค์

### 2.4 ) การอุดช่องว่างรอบผนังอุโมงค์ (Backfill Grouting)

Backfill Grouting เป็นวิธีการเติมวัสดุเข้าไปในช่องว่างรอบผนังอุโมงค์หลังหัวเจาะ (Tail Void) ที่เกิดขึ้นระหว่าง Segments กับดินที่อยู่โดยรอบ ซึ่งเป็นการป้องกันการเกิด Loosening ของดิน และลดการทรุดตัวของดิน นอกจากนี้ยังเป็นการป้องกันการไหหลุมของน้ำเข้าสู่อุโมงค์ได้อีกด้วย วัสดุที่นำมาใช้ในงานมีข้อกำหนดหลายอย่าง เช่น ไม่เกิดการแยกตัว, มีความสามารถทำงานได้ดี, เกิดการหลดตัวน้อย, กำลังเพิ่มขึ้นเรื่อยๆ และมีค่ามากกว่าดินและเป็นวัสดุที่บันนำป้องกันการไหลงของน้ำได้

รูปแบบการทำงานมี 2 แบบ คือแบบไม่ต่อเนื่อง (Separate Grouting Method) และแบบต่อเนื่อง (Simultaneous Grouting Method) ตามการเคลื่อนที่ของหัวเจาะ แบบแรกเป็นการอุดวัสดุด้วยแรงดันไประตามท่อผ่านรูที่เตรียมไว้ใน Segment (Grout Hole) ของ Ring ท้ายสุดที่เคลื่อนที่ออกจากหัวเจาะ สำหรับแบบต่อเนื่องวัสดุจะถูกยิงออกจากอุปกรณ์ที่อยู่ในส่วนท้ายของ Shield ตลอดเวลาที่มีการเคลื่อนที่ โดยพบว่า แบบต่อเนื่องสามารถทำให้การทรุดตัวที่ผิวดินลดได้เป็นอย่างมากเนื่องมาจากค่าการสูญเสียมวลดิน (Ground Loss) ลดลง

โดยปกติแรงดันที่ใช้ในการอุดช่องว่างรอบผนังอุโมงค์ (Grouting Pressure) มีค่าประมาณ 1 ถึง 3 kg-f/cm<sup>2</sup> (ที่ Grout Hole) แรงดันนี้จะทำการพิจารณาตามความเหมาะสมกับแรงดันน้ำที่อยู่โดยรอบ, แรงดันของ Slurry(กรณีที่ใช้การเจาะแบบ Slurry) กำลังของ Segment และอื่นๆ อัตราการเติมเต็ม (Grout filling Ratio) จะใช้ประมาณ 150 % ถึง 200% ของปริมาตร ซึ่งว่างที่ประมาณไว้ ถ้าอัตราส่วนนี้มีค่ามากเกินไป จะทำให้เกิดการทรุดตัวเนื่องจากการอัดตัวayanนำมากเกินไปในเดือนหนึ่งๆ อ่อนดังนั้นจึงต้องมีการควบคุมเป็นอย่างดี

## 2.5) การเคลื่อนตัวของดินเนื่องจาก การบุบเฉพาะอุโมงค์ (Ground Movement Due to Tunneling)

### 2.5.1) ทั่วไป (General)

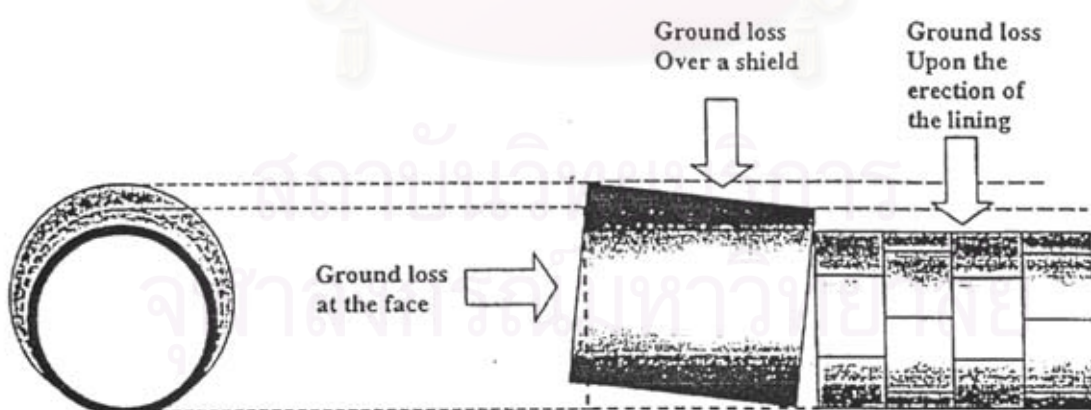
การสร้างอุโมงค์ในดินอ่อน โดยทั่วไปจะส่งผลให้ดินรอบอุโมงค์เกิดการเปลี่ยนสภาพของ Stress และ Strain ซึ่งเป็นสาเหตุให้เกิดการเคลื่อนตัวของดิน โดยเฉพาะอย่างยิ่งการทรุดตัวของดิน จะต้องมีการควบคุมและตรวจสอบอยู่ในเกณฑ์ที่กำหนด เพื่อป้องกันผลกระทบที่จะเกิดกับสิ่งก่อสร้างที่อยู่ใกล้เคียง

Peck(1969) ได้แนะนำว่าการออกแบบผู้ออกแบบจะต้องพิจารณาการสูญเสียมวลดินและการคาดคะเนการทรุดตัวของดินด้วยวิธีการที่เหมาะสม โดยจะต้องพิจารณาถึงชั้นดิน ระดับน้ำใต้ดิน รูปร่าง และความลึกของอุโมงค์ นอกจากนี้ควรพิจารณาถึงการทรุดตัวที่เกิดจากความคลาดเคลื่อนหรือความผิดพลาดจากการปฏิบัติงาน เพิ่มเข้าไปด้วย

การประเมินปัญหาสามารถประเมินได้เป็น 3 ขั้นตอน คือ หนึ่ง เป็นขั้นตอนที่ถือว่ายากที่สุด คือ การคาดคะเนการสูญเสียมวลดิน (Ground Loss) ที่เกิดระหว่างการบุบเฉพาะ และการก่อสร้าง อุโมงค์ ขั้นตอนที่สอง เป็นการคาดคะเนการเคลื่อนตัวของดินโดยรอบ ที่เกิดจากการสูญเสียมวลดิน และ ขั้นตอนที่สาม เป็นการประเมินความเสียหาย และ ความเสี่ยงที่อาจจะเกิดขึ้นกับโครงสร้าง ใกล้เคียง อันเนื่องมาจากการเคลื่อนตัวของมวลดิน

### 2.5.2) การพิจารณาค่า Ground Loss เนื่องจากบุบเฉพาะอุโมงค์

การพิจารณา Ground Loss แบ่งได้ 3 ลักษณะ แสดงดังรูป 2.2



รูปที่ 2.2 แสดงลักษณะ Ground Loss ที่เกิดขึ้นกับหัวเจาะชนิด EPB (Lee,K.M.et al , 1992)

### 1.) Ground Loss ที่ด้านหน้าหัวเจาะอุโมงค์

Ground Loss นี้จะเกิดขึ้นทันที ยกที่จะควบคุมการหลักของดินเข้ามาเนื่องจากดินถูกเปลี่ยนสภาพให้เป็น Plastic เพิ่มขึ้น เพื่อให้สามารถถอดลีบงผ่าน Screw Conveyor ได้ การเปลี่ยนแปลงของ in situ stress ที่ด้านหน้าหัวเจาะเป็นผลจากการบุดเจาะอาดินที่ด้านหน้าหัวเจาะออก ซึ่งปริมาณดินบุดจะเท่ากับปริมาณของ Ground Loss สำหรับกรณีที่การเคลื่อนตัวของดินเข้ามากทางด้านหน้าอุโมงค์ด้วยอัตราเร็วคงที่ การสูญเสียมวลดินจะเป็นฟังก์ชันของการบุดเจาะอุโมงค์ (Rate of Advance of the Tunnel) และอัตราการไอลดของดิน (Rate of Extrusion of the Soil) โดยเปอร์เซ็นต์ Ground Loss สามารถคำนวณได้จากสมการ ที่ 2.3

$$\% V_L = \frac{(\pi R^2)(\text{Average Extrusion Rate at Face})}{(\text{Average Rate of Advance})} \quad (2.3)$$

%  $V_L$  คือ ร้อยละการสูญเสียมวลดินต่อปริมาตรดินบุด (Percent Ground loss)

### 2. Ground Loss ที่หน้าหัวเจาะอุโมงค์

ค่า Ground Loss ที่เกิดขึ้นหน้าหัวเจาะอุโมงค์จะเท่ากับปริมาตรของดินที่ถูกบุดออก เมื่อส่วนหัวเจาะเคลื่อนที่ไปข้างหน้าทำให้เกิดช่องว่างเพิ่มขึ้นที่บริเวณหน้าหัวเจาะ ซึ่งสาเหตุมาจากการเบี่ยงเบนระหว่างแนวอุโมงค์ที่ออกแบบไว้ (Design Grade) กับแนวอุโมงค์ที่บุดเจาะจริง (Actual Grade) โดยทางปฏิบัตินั้นผู้ควบคุมเครื่องบุดเจาะจะควบคุมให้เครื่องบุดเจาะทำมุมเบย์ขึ้นเล็กน้อยเมื่อเปรียบเทียบกับแนวอุโมงค์ที่ออกแบบไว้ (Pitching Angle) เพื่อที่จะหลีกเลี่ยงหัวเจาะจะมูลนิ่งจากน้ำหนักของหัวเจาะเอง ในการบุดเจาะทางตรง โดยมุมที่เพิ่มขึ้น (Excess Pitch) ของการบุดเจาะจะทำให้เกิด Overcutting ของดินบริเวณตำแหน่งด้านบนของอุโมงค์ (Tunnel Crown)

ดังนั้นจึงสามารถประมาณค่า Ground Loss ได้ โดยสมมุติให้บริเวณที่อยู่ตำแหน่งด้านบนของอุโมงค์ (Tunnel Crown) เหนือตำแหน่งด้านข้างของอุโมงค์ (Spring Line) ตลอดความยาวความยาวของหัวเจาะ คูณกับมุมที่เพิ่มขึ้นของหัวเจาะบนแนวอุโมงค์ที่บุดเจาะจริงโดย Lee et al. ได้เสนอ สมการดังแสดงในสมการที่ 2.4

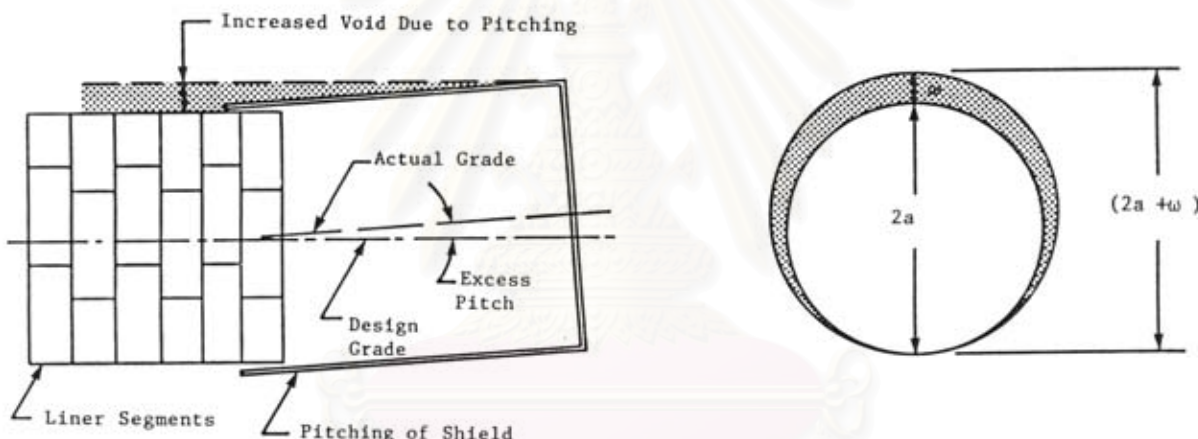
$$\begin{aligned}
 V_{\text{shield}} &= \frac{2\pi al}{2} \times (\text{excess pitch}) \\
 &= \pi \left[ \left( a + \frac{\omega}{2} \right)^2 - a^2 \right]
 \end{aligned} \quad (2.4)$$

เมื่อ  $V_{\text{shield}}$  = ปริมาตรของ Overexcavation ต่อหนึ่งหน่วยความยาวของการขุดเจาะ

$a$  = รัศมีภายในของอุโมงค์

$L$  = ความยาวของหัวเจาะ

$\omega$  = workmanship parameter =  $L \times (\text{excess pitch})$



รูปที่ 2.3 แสดง Ground Loss เนื่องจากอุโมงค์เนื่องจาก Over Cutting (Lee, K.M. et al, 1992)

a) Tunnelling Head : Grund Loss due to Pitching of Tunnel Shield :  $V_{\text{shield}} = \pi(aL)$

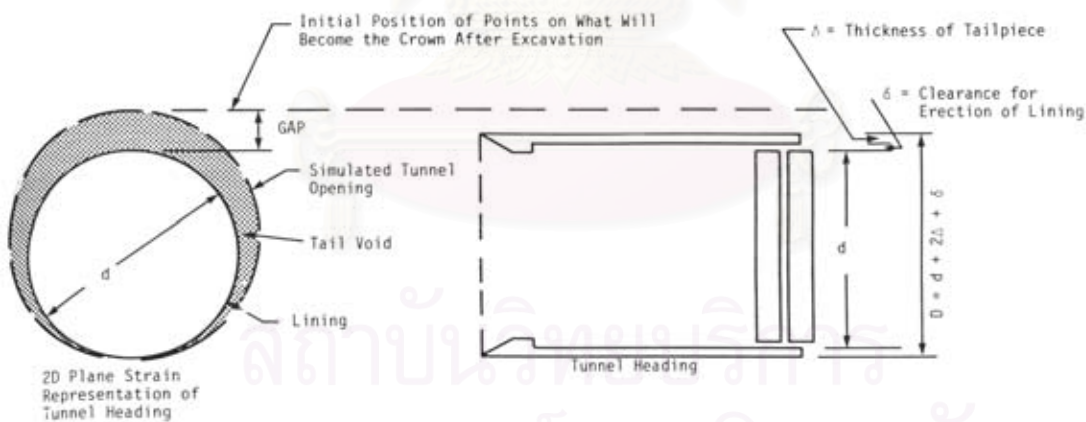
b) Equivalent transverse Section :  $V_{\text{shield}} = \pi \{ [a + (\omega/2)]^2 - a^2 \}$

ซึ่งในกรณีการขุดเจาะอุโมงค์ในทางโค้ง การเกิด Ground loss จะเกิดขึ้น เมื่อจากการเพื่อมุ่ง การเดี่ยวด้านข้าง (Outside Curve) ซึ่งจะเกิดช่องว่างด้านข้างด้วย

### 3) Ground Loss ในระหว่างการติดตั้งผนังอุโมงค์

ค่า Ground Loss เกิดขึ้นเนื่องจากผนังอุโมงค์ไม่ได้แน่นที่พื้นที่หน้าตัดทั้งหมดจากการขุดเจาะด้านท้ายของหัวเจาะ ในระหว่างการติดตั้งผนังอุโมงค์จะมีระยะห่าง (Clearance) ค่าหนึ่งจากผิวด้านในของหัวเจาะ เพื่อให้สามารถติดตั้งอุโมงค์ได้เมื่อหัวเจาะเคลื่อนที่ไปด้านหน้า ดินที่อยู่ด้านบนหัวเจาะจะเคลื่อนที่เข้าไปในช่องว่าง (Tail Voids) บริเวณด้านท้ายหัวเจาะที่เกิดจากความหนาของผนังหัวเจาะด้านบน (Thickness of Tailpiece) รวมกับระยะห่างจากผิวด้านในของหัวเจาะกับผนังอุโมงค์ (Clearance for Erection of Lining) ดังนั้นขนาดของ Tail Voids จึงเป็นตัวแปรสำคัญที่มีผลต่อการทรุดตัวทั้งหมด

ค่า Ground Loss นี้สามารถคำนวณได้โดยการอัดกีดัน้ำปูนเพื่อเข้าไปเดิมในช่องว่างในระหว่างการติดตั้งผนังอุโมงค์ก่อนที่ดินด้านบนจะเข้าไปแทนที่ Tail Voids ซึ่งประสิทธิภาพของการอัดน้ำปูนจะขึ้นอยู่กับอัตราการเคลื่อนตัวของดินในช่องว่างนี้ ซึ่งขึ้นอยู่กับชนิดของดิน ในดินทรายการเคลื่อนตัวของดินจะเร็วมาก ในขณะที่ดินเหนียวแข็งการเคลื่อนตัวจะช้า และยังมีการเสียรูปของผนังอุโมงค์ที่เกิดจากแรงดันดินรอบอุโมงค์ไม่เท่ากันในทุกทิศทาง (Lateral Earth Pressure) แต่การแฉ่งตัวนี้มีค่าน้อยมากเมื่อเทียบกับ Ground Loss ชนิดอื่น

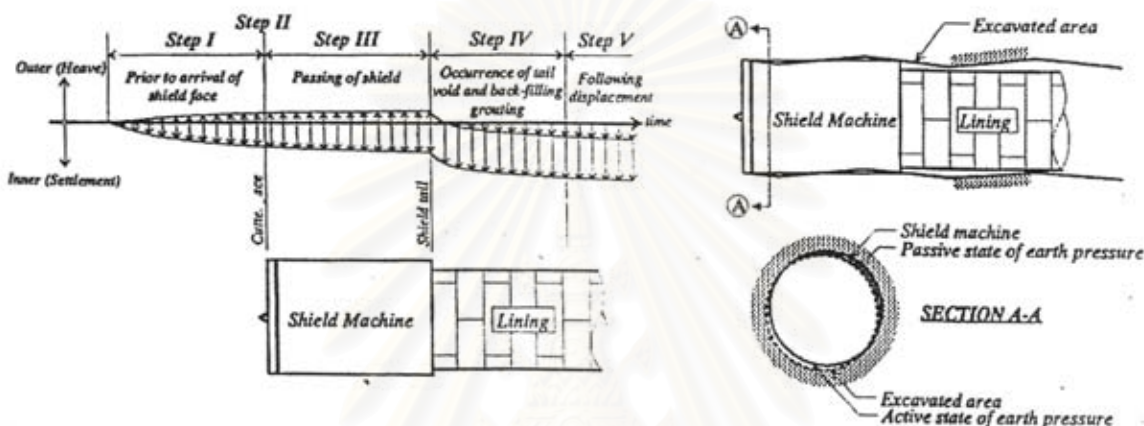


รูปที่ 2.4 แสดง Ground Loss ที่เกิดเนื่องจาก Tail Void (Lee, K.M. et al, 1992)

## 2.6) การจำแนกการทรุดตัวที่ผิวดิน (Classification of Ground Surface Settlement)

การทรุดตัวที่ผิวดินแบ่งออกเป็น 2 อย่างคือ การทรุดตัวตามแนวยาว และ การทรุดตัวตามแนวขวาง

### 2.6.1) การทรุดตัวตามแนวยาว (Longitudinal Section)



รูปที่ 2.5 แสดงการทรุดตัวตามแนวยาว ( A. Sramoon and Sugimoto , 1999 )

การทรุดตัวตามแนวยาวสามารถแบ่งออกได้เป็น 4 ส่วน คือ

1) Initial Settlement (S1) คือ การทรุดตัวก่อนที่หัวเจาะจะเคลื่อนที่ผ่าน เป็นการทรุดตัวหรือเกิด Heave ก่อนที่หัวเจาะจะเคลื่อนที่มาถึง ซึ่งมีสาเหตุมาจากการ Ground Loss ด้านหน้าอุโมงค์ อันเนื่องมาจากความไม่สมดุลระหว่างแรงดันดิน (Earth Pressure) ที่อยู่ด้านหน้าหัวเจาะ กับแรงดันส่วนหน้าของหัวเจาะ (Face Pressure) นอกจากนี้ในเดือนที่มีความเชื่อมแน่นยังสามารถเกิดจากการเปลี่ยนแบบลงปริมาตรเดือนนึงจากการอัดตัวภายในเมื่อ Face Pressure มีค่าสูงกว่า At Rest Earth Pressure ของเดือนที่อยู่ด้านหน้าอุโมงค์

2) Shield Passing Settlement (S2) คือ การทรุดตัวระหว่างหัวเจาะเคลื่อนที่ผ่าน เป็นค่าทรุดตัวที่เกิดขึ้นในขณะที่หัวเจาะกำลังเคลื่อนที่ผ่านจากตำแหน่งด้านหน้าหัวเจาะ (Shield Face) ถึงด้านท้ายของหัวเจาะ (Shield Tail) ซึ่งค่าทรุดตัวนี้เกิดจากโครงสร้างดินถูกบกวนขณะที่หัวเจาะเคลื่อนที่ผ่าน โดยเฉพาะ Friction และ Shear ระหว่างผิวด้านนอกของหัวเจาะกับดินที่อยู่รอบๆ ทำให้สูญเสีย

กำลังและลดค่า Modulus ของดินและยังเกิดจาก Ground Loss ที่เกิดขึ้นรอบหัวเจาะอันเนื่องมาจากการ Over-Cutting และการเคลื่อนที่เบี่ยงเบนไปจากแนวเส้นทาง

3) Tail Settlement (S3) คือ การเคลื่อนตัวหลังจากที่หัวเจาะเคลื่อนที่ผ่าน เป็นการทรุดตัวหลังจากที่ส่วนท้ายของหัวเจาะเคลื่อนที่ผ่าน โดยมีสาเหตุมาจาก Groud Loss เนื่องจากช่องว่างที่อยู่รอบผนังอุ่มคงซึ่งไม่สามารถทำการ Grouting ได้ทันทีหลังจากเกิดช่องว่างขึ้น, การใช้แรงดันและปริมาณในการ Grouting ที่ต่ำเกินไป และการเสียรูปของ Segment

4) Long Term Settlement (S4) คือ การทรุดตัวที่ตามมา เป็นการทรุดตัวในระยะยาวหลังจากที่หัวเจาะเคลื่อนที่ผ่านไปแล้วอีกนิดหนึ่งเพื่อปรับตัว ดินที่ด้านท้ายหัวเจาะจะเกิด Relaxation และทรุดตัวลงเรื่อยๆ เนื่องจากโครงสร้างดินถูกบบกวน กำลังของดินลดลง ต่อมากจะเกิด Consolidation และ Creep ซึ่งใช้เวลานาน

โดยการทรุดตัวตามแนวยาวทั้ง 4 ช่วง ช่วงที่มีค่าทรุดตัวที่ผิดดินมากที่สุดคือ ช่วงที่ 3 ช่วง Tail Settlement ซึ่งเมื่อคูจากค่าทรุดตัวที่ผิดดินของโครงการ MRTA ซึ่ง กิรติ เมืองแสน ( 2544 ) ได้ทำไว้ ค่า S1 มีค่าประมาณ 2-10 mm ส่วนค่า S2 ประมาณ 5 mm และค่า S3 ซึ่งสูงสุด ประมาณ 15- 20 mm ส่วนค่า S4 ไม่ได้มีการเก็บข้อมูล

#### 2.6.2 ) การทรุดตัวตามแนวขวาง (Transverse Section)

การทรุดตัวตามแนวขวางเกิดขึ้นด้วยสาเหตุเดียวกันกับการทรุดตัวตามแนวยาวของอุ่มคง โดยปริมาณการทรุดตัวที่ผิดดินหนึ่งอุ่มคง สามารถแสดงได้ด้วย Error Function หรือ Probability Curve โดยนิยามปริมาณการทรุดตัวที่ผิดดินที่ระยะใดๆ ดังแสดงในสมการที่ 2.5

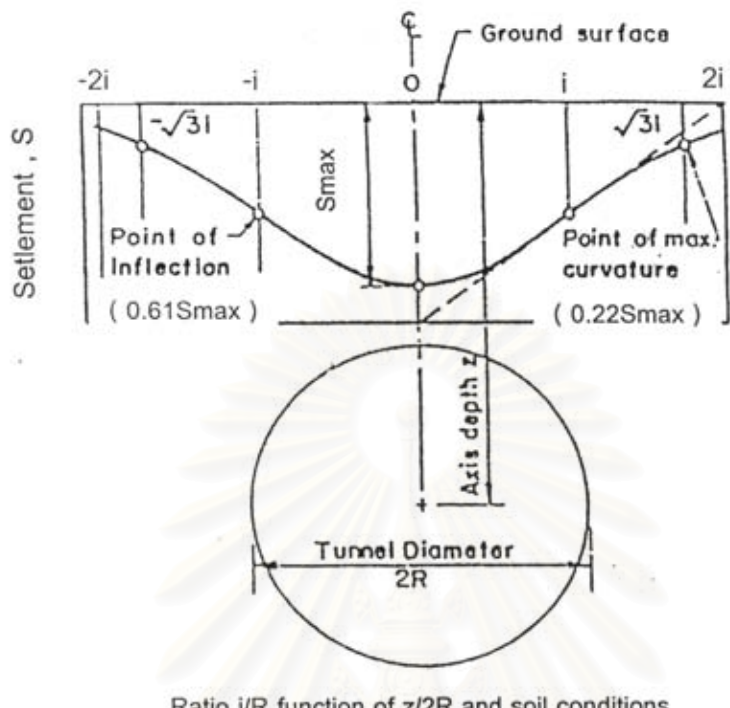
$$S = S_{\text{Max}} \exp(-x^2 / 2 i^2) \quad (2.5)$$

เมื่อ  $S$  คือ ปริมาณการทรุดตัวที่ผิดดิน ที่ระยะใดๆ จากจุดศูนย์กลางของแนวอุ่มคง

$S_{\text{Max}}$  คือ ปริมาณการทรุดตัวมากที่สุดที่ศูนย์กลางของอุ่มคง

$x$  คือ ระยะตามขวางในแนวราบจากศูนย์กลางของอุ่มคง

$i$  คือ ระยะจากกึ่งกลางของแนวอุ่มคงถึงจุดเปลี่ยนความโค้ง (inflexion)

Ratio  $i/R$  function of  $z/2R$  and soil conditions

$$\text{Volume of trough} = 2.5i S_{max}.$$

รูปที่ 2.6 แสดงการทรุดตัวที่พิวคินตามแนววางเนื้องจากกรุขุดเจาะอุโมงค์ (Peck, 1969)

### 2.7) การควบคุมการเคลื่อนตัวของดินในการขุดเจาะอุโมงค์ (Controlling Ground Movements in Tunnel)

การควบคุมการเคลื่อนตัวของดินจะพิจารณาตามสาเหตุการสูญเสียมวลดิน และการจะเลือกวิธีการนำมาใช้จะต้องพิจารณาถึงลักษณะของชั้นดินด้วยวิธีการที่มีประสิทธิภาพในการลดการสูญเสียมวลดินมีดังนี้

- ควบคุมเสถียรภาพด้านหน้าอุโมงค์ตลอดเวลา โดยเฉพาะอย่างยิ่งขณะที่หัวเจาะเคลื่อนที่
- เลือกใช้เครื่องขุดเจาะที่มีขนาดเหมาะสม (อัตราส่วนความยาวต่อเส้นผ่านศูนย์กลาง) เพื่อให้ง่ายต่อการควบคุมทิศทางและลดผลของ Pitching และ Yawing ในกรณีที่เครื่องขุดเจาะที่มีลักษณะยาวอาจต้องมี Articulation Joint เพื่อให้สามารถโถกงอตัวได้

- ควบคุมการประกอบผนังอุ่มคงเพื่อควบคุมขนาดของ Tail Void และ ควบคุมการทำ Grouting ให้มีประสิทธิภาพด้วยการควบคุมแรงดันและปริมาณอยู่ในเกณฑ์ที่กำหนดโดยต้องใช้เวลาให้น้อยที่สุด และจัดให้มีระบบ Tail Seal ที่ได้มาตรฐาน

## 2.8) เสถียรภาพทางด้านหน้าอุ่มคง (Stability of tunnel face)

เสถียรภาพด้านหน้าของอุ่มคงระหว่างการขุดจะเป็นสิ่งสำคัญที่จะต้องดำเนินการโดยเน้นพาย อ่ายงี่การขุดในเฉพาะดินอ่อน(Soft Ground Tunneling) ซึ่งจะมีผลต่อการก่อสร้างและเป็นปัจจัยหลักต่อการออกแบบและก่อสร้างผนังอุ่มคง (Tunnel Lining) เสถียรภาพด้านหน้ามีปัจจัยหลายอย่างเข้ามาเกี่ยวข้อง ได้แก่ กำลังของดิน (Shear Strength) และลักษณะความเค้น-ความเครียด(Stress-Strain Characteristics) ของดิน, ความลึก (Overburden Pressure), ลักษณะของอุ่มคง(The Geometry of The Tunnel), การสูญเสียกำลังและการสูญเสียรูปที่ขึ้นกับเวลา (The Time-Dependent Loss of Strength and The Delayed Deformation) และรูปแบบการก่อสร้าง (Construction Procedures) การศึกษาในปัจจุบันนี้ได้มีการนำเสนอโดย Deere et al(1969) โดยได้รวมรวมไว้ดังนี้

### 2.8.1 ) เสถียรภาพในดินที่ไม่มีความเชื่อมแน่น(Stability in Cohesionless Material)

เสถียรภาพด้านหน้าอุ่มคงในวัสดุที่ไม่มีความเชื่อมแน่น เช่น ดินตะกอน (Uncemented Silt) รายละเอียด จำเป็นต้องมีการดำเนินการเพื่อลดผลกระทบจากสภาพน้ำใต้ดินและวิธีการก่อสร้าง ในกรณีที่อุ่มคงก่อสร้างเหนือระดับน้ำใต้ดินวัสดุเหล่านี้โดยปกติแล้วจะไม่สามารถคงตัวอยู่ได้เนื่องจากขาดแรงขึ้น (Lack of Cohesion Force) จะมีการคลายตัวออกจากกันระหว่างเสถียรภาพ ความลาดชันต่ำยมุนที่เท่ากับความลาดชันในสภาพหลวม (Loose State) การคลายตัวของดินหน้าอุ่มคงสามารถก่อให้เกิดปัญหาอย่างมากได้ ถ้าไม่มีการนำวิธีการก่อสร้างที่สามารถตรวจสอบเพื่อควบคุมปริมาณดินบุดเจาะ

ในกรณีที่การขุดเจาะอุ่มคง อยู่ต่ำกว่าระดับน้ำใต้ดิน เสถียรภาพด้านหน้าอุ่มคงจะมีผลอย่างมากจากแรงดันน้ำ (Seepage force) ที่พยายามจะไหลเข้าด้านหน้าอุ่มคงโดยทั่วไปแล้วในสภาพนี้ จะต้องนำวิธีการก่อสร้างที่ช่วยรักษาเสถียรภาพด้านหน้าอุ่มคงไว้เข้ามาช่วย เช่น ใช้หัวเจาะแบบ Compress Air , การเติม Conditioning agent หรือ การทำ Grounting ที่ด้านหน้าอุ่มคงเป็นต้น

### 2.8.2) เสถียรภาพในดินที่มีความเชื่อมแน่น (Stability in Cohesive Materials)

เสถียรภาพด้านหน้าอุ่อมค์ในดินที่มีความเชื่อมแน่น โดยส่วนใหญ่จะขึ้นอยู่กับอัตราส่วนของ Stress ที่อู้ดูรอนอุ่อมค์เปรียบเทียบกับกำลังของดิน ถ้า Stress ที่เกิดขึ้นมีค่ามากเกินไปดินเห็นขยายที่อยู่บริเวณด้านหน้าจะ Yield ส่งผลให้เกิด Plastic Deformation เนื่องจากดินเห็นขยายเป็นดินที่มีความซึมผ่านต่ำ (Low Permeability) ดังนั้นกำลังที่ใช้ในการพิจารณาจึงเป็น Undrained Shear Strength ( $S_u$ )

ในการศึกษาแบบจำลองเพื่อประเมินเสถียรภาพด้านหน้าอุ่อมค์ ได้มีการนำเสนอโดย Broms และ Bennemark(1967) ตั้งแสดงในสมการที่ 2.6

$$\frac{\gamma z}{S_u} \leq \frac{2}{[1+(1/6)(B/Z)]} \quad (2.6)$$

โดยที่	$B$	คือ ความกว้างของอุ่อมค์
	$Z$	คือ ความลึกของดินถึงกึ่งกลางอุ่อมค์
	$S_u$	คือ Undrained Shear Strength
	$\gamma$	หน่วยน้ำหนักของดิน

สำหรับอุ่อมค์ที่อยู่ลึก จะทำให้ความกว้าง  $B$  มีค่าน้อยเมื่อเทียบกับความลึก  $Z$  ดังนั้น สมการข้างบน ซึ่ง อาจประมาณได้ว่า

$$\frac{\gamma z}{S_u} \leq 6$$

ถ้าค่าของ  $Z/B$  น้อยกว่า 2 การพังทลายของดินหน้าอุ่อมค์(ในแนวตั้ง) จะเกิดขึ้นเมื่อ

$$\frac{\gamma}{S_u} \leq \frac{2(Z/B) - 1}{1 + (1/6)(B/Z)}$$

ในกรณีที่กำลังของดินไม่เพียงพอ แรงค่าบัน (Air Pressure ,  $p_a$ ) สามารถที่จะนำมาเพิ่มเสถียรภาพด้านหน้าได้ ในกรณีนี้เสถียรภาพด้านหน้าอุ่มงค์แทนด้วยสมการ

$$\frac{\gamma Z - p_a}{S_u} \leq 6$$

ความสัมพันธ์ของสมการข้างต้นและตัวเลขที่กำหนดไว้ได้ มักจะถูกเรียกว่า Stability Factor,  $N_t$  Deere et al(1969) ได้อธิบายความพฤติกรรมจากความสัมพันธ์ดังกล่าวโดยได้รวมรวมไว้ดังนี้

- ถ้า  $\gamma Z / S_u \leq 2$  ถึง 3 การเคลื่อนตัวของดินหน้าอุ่มงค์จะเกิดขึ้นน้อย และอยู่ในสภาพ Elastic
- ถ้า  $3 \leq \gamma Z / S_u \leq 6$  การเคลื่อนตัวของดินจะอยู่ในช่วง Plastic การเคลื่อนตัวจะเพิ่มขึ้นเรื่อยๆ ตามอัตราส่วนของ  $\gamma Z / S_u$  ที่เพิ่มขึ้น
- ถ้า  $\gamma Z / S_u \geq 6$  เสถียรภาพด้านหน้าอุ่มงค์ จะอยู่ในสภาพ วิกฤตเสียงต่อการเกิด พังทลาย (Failure)

Peck (1969) รวบรวมความสัมพันธ์ระหว่าง Stability Factor และพฤติกรรมของดินเหนียวโดยได้จากการศึกษาอุ่มงค์ในอดีต พบว่าเมื่อค่า  $N_t$  มีค่าเท่ากับ 7 อาจส่งผลให้หัวใจ (Shield) ไม่สามารถควบคุมได้เนื่องจากหัวใจจะเกิดการเสียงในระหว่างการขุดเจาะ ในทันทีทันใดที่ดินถูกขุดออก แรงดันน้ำติดลบ (Negative Pore Pressure) จะเกิดขึ้นและถ้าดินยังคงอยู่ในสภาพนี้ แรงดันน้ำในช่องว่างจะ Dissipate ออกไป เป็นผลให้กำลังรับแรงเฉือน (Shear Strength) มีค่าลดลง ตั้งนั้นถ้าขุดเจาะดินในอัตราต่ำ ควรที่จะควบคุม  $N_t$  ให้มีค่าต่ำด้วย

การที่  $N_t$  มีค่าสูงจะมีผลทำให้ดินด้านหน้าและรอบๆ อุ่มงค์จะเกิดการเคลื่อนตัวสูง ซึ่งเป็นผลก่อให้เกิดการทรุดตัวของดินและการเสียรูปของอุ่มงค์ (Lining) จากเหตุผลดังกล่าวจึงจำเป็นต้องรักษาหรือควบคุมให้ค่า  $N_t$  มีค่าต่ำกว่า 5 หรือ 4 การทดสอบหาค่า Undrain Shear Strength เพื่อใช้ในการวิเคราะห์เสถียรภาพด้านหน้าอุ่มงค์ ควรที่จะมีการทดสอบโดยแบร์เพลี่ยนแรงดันรอบข้าง (Confining Pressure) ให้มีค่าลดลงเมื่อเทียบกับเวลา

### 2.8.3) เสถียรภาพของดินหลายชนิด (Stability in Mixed Materials)

บ่อยครั้งที่มักพบว่าดินด้านหน้าอุ่อมงค์จะประกอบด้วยดินหลایชั้นหรือมากกว่า 1 ชนิด เสถียรภาพหน้าอุ่อมงค์อาจประเมินได้โดยการวิเคราะห์ในแต่ละชนิดแยกอิสระต่อกัน อย่างไรก็ตาม ปัญหาส่วนใหญ่จะเกิดขึ้นกับชั้นดินเม็ดหิน (Granular Materials หรือ Cohesionless Soils) ที่อยู่ใต้ระดับน้ำ (Water Table) ซึ่งจำเป็นจะต้องหารือป้องกัน และเมื่อความลึกของอุ่อมงค์มีค่าต่ำ หัวเจาะที่มีกำยั้นด้านหน้า เช่น Compress Air หรือ Earth Pressure Balance สามารถที่จะรักษาเสถียรภาพด้านหน้าอุ่อมงค์ไว้ได้

## 2.9) การปรับปรุงคุณสมบัติดินในงานอุ่อมงค์ (Soil Conditioning in Tunnelling)

ปัจจุบันงานบุดเจาะอุ่อมงค์เป็นที่นิยมและใช้กันแพร่หลายทั่วโลก ทำให้มีการวิจัยต่างๆมากมายที่จะนำมาพัฒนางานบุดเจาะอุ่อมงค์ให้มีประสิทธิภาพมากขึ้น หนึ่งในนั้นก็คือ การใช้สารผสมเพิ่ม (Conditioning Agents หรือ Additive) กับหัวเจาะระบบแรงดันดินสมดุล(EPBs) ซึ่งปัจจุบันเป็นที่นิยมมาก เนื่องจากมีประสิทธิภาพสูงกว่าหัวเจาะแบบอื่นในหลายๆด้าน

### 2.9.1) จุดประสงค์ของการปรับปรุงคุณสมบัติดิน (Soil conditioning Objectives)

Milligan(2000)แนะนำว่า เรายสามารถทำให้ประสิทธิภาพของการบุดเจาะอุ่อมงค์สูงขึ้นได้ โดยการใช้สารผสมเพิ่ม ผลลัพธ์ที่ได้คือ

- การลดลงของแรงเสียดทานที่บริเวณผิวน้ำหัวเจาะ (Machine Cutter Head) และทุกๆส่วนของระบบขนถ่ายดินออก (Muck Removal System)
- การเพิ่มเสถียรภาพด้านหน้าของอุ่อมงค์ (Face Stability) และสามารถควบคุมการทรุดตัวที่ ผิวดินได้ดีขึ้น
  - การเพิ่มประสิทธิภาพการไหหล่อหัวเจาะของดินบุด
  - การลดลงของพลังงานที่ใช้ในการขับเคลื่อนหัวเจาะ
  - ทำให้ดินมีความเป็น Plasticity ที่พอเหมาะ
  - การลดแรงเสียดทานใน ห้องปั๊ม วาล์ว ของระบบ Slurry Machine
  - เพิ่มความปลดภัยให้แก่คุณงานในอุ่อมงค์
  - ปรับปรุงคุณสมบัติดินใน Pressure Chamber ของ EPB โดยทำให้เกิดแรงดันดินใน Chamber มีความสม่ำเสมอมากขึ้น

- สามารถควบคุมการไหลเข้ามาของน้ำได้ดีขึ้น
- การอุดตัน (Clogging) ของดินใน Chamber ลดลง
- สามารถควบคุมการไหลของดินและน้ำใน Screw Conveyor ได้ดีขึ้น

#### 2.9.2) การปรับปรุงคุณสมบัติดินในการก่อสร้างอุโมงค์ด้วยวิธี Earth Pressure Balance Shield

##### - สารปรับปรุงคุณภาพดิน หรือ สารผสมเพิ่ม (Conditioning Agents, Additive Agents)

สารผสมเพิ่มที่ใช้กันมากได้แก่ โพฟ, น้ำ หรือ น้ำมัน โดยมีส่วนผสมหลักเป็น Bentonite หรือ Polymer

ในการก่อสร้างโดย วิธี EPB จุดประสงค์หลักคือ การทำให้ดินมีความเป็น พลาสติก มากขึ้น, มีแรงเสียดทานภายในตัว และ มีสัมประสิทธิ์ความซึมผ่านต่ำ ซึ่งถ้าดินไม่มีลักษณะดังที่กล่าว ดินจะเกิดการอุดตันในบริเวณหัวเจาะและมีปัญหาในการลำเลียงดินผ่าน Screw Conveyor ซึ่งถ้าไม่มีการเติมสารผสมเพิ่มแล้ว การเจาะอุโมงค์โดยวิธี EPB จะสามารถใช้ได้เฉพาะใน ดินเม็ดละเอียด (Fine-grained Soils) เท่านั้น (Maidl et al,1996)

Babendererde(1998) พบว่าในการก่อสร้างโดยวิธี EPB เมื่อใช้ โพลีเมอร์ ผสมกับ โพฟ หรือ เบนโทไนท์ จะช่วยทำให้เสถียรภาพด้านหน้าอุโมงค์เพิ่มขึ้น คุณสมบัติของ โพลีเมอร์ คือ การยับยั้ง และ ขัดน้ำออก (Dehydration) และยังสามารถใช้หล่อลื่นอุโมงค์และ Shaft ได้ เมื่อใช้ร่วมกับ น้ำมัน

โพลีเมอร์ที่คุณชั้บนำได้(PHPA) เมื่อใช้ร่วมกับ โพฟ ในปริมาณเล็กน้อยจะสามารถช่วยทำให้ ดินเม็ดหยาบจับตัวกันเป็นรูปร่าง ได้ดีขึ้น

#### 2.9.3) พฤติกรรมของ ผิวน้ำหัวเจาะ (Tunnel Face )

แรงที่ใช้ในการขันเคลื่อนอุโมงค์จะลดลงได้ มากจาก 2 สาเหตุคือ

- 1) แรงเสียดทานที่เกิดขึ้นจาก ดิน กับ ผิวน้ำหัวเจาะลดลง
- 2) แรงเสียดทานที่เกิดขึ้นจาก ดิน กับ ผิวรอบนอกของหัวเจาะลดลง

เมื่อแรงที่ใช้ลดลงก็ทำให้ประหยัดพลังงาน เมื่อ Torque ที่ใช้ลดลง ก็จะทำให้การเสียรูปของหัวเจาะที่เกิดจากการบิดลดลง ทำให้ขัดอายุการใช้งานของอุโมงค์ให้ยาวขึ้น

การนีดสารหล่อลื่น หรือ สารผสมเพิ่ม จำเป็นจะต้องนีดไปในบริเวณที่จะทำการขุด คือ บริเวณพื้นกัดดินรอบๆหน้าหัวเจาะ ที่สำคัญคือต้องนีดไปในบริเวณที่มี ความเร็วสัมพัทธ์ ระหว่างดิน กับ พื้นกัดดินสูงสุด

ในการขุดอุโมงค์ด้วยวิธี EPB บริเวณหน้าหัวเจาะจะถูกคำนึงโดยมวลดินบุกที่ผสมขึ้นใหม่ใน Chamber โดยดินที่มีค่า สัมประสิทธิ์ความซึมผ่าน มากกว่า  $10^{-6} \text{ m/s}$  ควรใช้สารผสมเพิ่มช่วย

#### 2.9.4) พฤติกรรมของดินในหัวเจาะ(Pressure Chamber)

ข้อดีของ EPB คือ การพังทลายแบบทันทีทันใด (Collapse) จะไม่มีการเกิดขึ้น เพราะมวลดินบุกซึ่งเคยออกแรงสมดุลต้านแรงดันด้านหน้าอยู่นั้น จะไม่สามารถหนีไปไหนได้ ทำให้ Condition ของดินไม่เปลี่ยน และยังทำให้สามารถควบคุมการไหลเข้ามาของน้ำได้

พฤติกรรมในหัวเจาะนี้มี 2 จุดที่ต้องคำนึงถึง คือ การลดลงของแรงเสียดทาน และ การป้องกันการอุดดันของดิน ซึ่งจะเป็นไปได้ก็ต่อเมื่อ ดินมีความเป็น พลาสติก ที่พอเหมาะสม ไม่เหนียวจนเกินไป และยังทำให้ควบคุมแรงดันด้านหน้าได้ง่ายด้วย โดยสภาพ พลาสติก ที่พอเหมาะสมจะได้มาก็ต่อเมื่อเราสามารถควบคุม ค่าความซึมผ่านของดินได้

ส่วนใหญ่แล้ว EPB เหมาะสมที่จะใช้กับ Soft Clay, Silts และ Fine Sands ซึ่งทำการ Remould ดินในหัวเจาะ ได้ง่าย ดินจะมีน้ำพอกเพียงพอและมีค่าความซึมผ่านต่ำ และ ไม่จำเป็นต้องใช้สารผสมเพิ่ม เพียงแค่เติมน้ำเล็กน้อย

อันที่จริงแล้ว ใน Stiff Clay นั้น Face Pressure Balance สามารถช่วยลดการทรุดตัวที่ผิดปกติ ได้ แต่จะมีปัญหาคือ ในกรณีที่ ดินมี PI สูง จะต้องใช้น้ำปริมาณมากเพื่อจะเปลี่ยนให้ดินมี Water Content ที่เหมาะสมได้ แต่ดินกลับมีค่าความซึมผ่านต่ำมาก ทำให้เกิดปัญหา การควบคุม Face Pressure ให้คงที่ก็ทำได้ยาก มวลดินจะเกิดการรวมตัวเป็นก้อนเล็กๆและจะเกิดการ Slide ไปบนดินที่อ่อนกว่า ส่วนดินที่เหนียวมากๆ ก็จะไปอุดตันอยู่ในหัวเจาะและ ในสายพานลำเลียง

ใน Stiff Clay จุดมุ่งหมายที่ต้องการ คือการให้เกิดก้อนเล็กๆ ของดินเหนียวแก่ง ไปมาในก้อน ก้อนของ โฝม หรือ โพลีเมอร์ ซึ่งดินเหนียวจะไม่เกิดการดูดน้ำ (Uptake of Water) เนื่องจากโฝม จะเคลือบกับก้อนดินเหนียวไว้ และทำให้สามารถลื่นไถลไปมาในหัวเจาะได้โดยไม่รวมตัวกันเป็นก้อน ก้อนใหญ่ๆ และในเมื่อดินสามารถถูกดูด (Compressible) ได้ดีขึ้น จะทำให้ Pressure ใน Chamber มี ความ อ่อนไหว (Sensitivity) ต่อมวลดินที่จะเข้า และออกจาก Chamber น้อยลง ทำให้ Face Pressure คงที่มากขึ้น ซึ่งถือเป็นสิ่งสำคัญมาก

### 2.9.5) ผลของโฟม (Foam Action)

Foam สามารถใช้กับหัวเจาะ EPB ในดินเม็ดละเอียด Fine grained soils ได้ดี แต่ถ้าใช้กับดินเม็ดใหญ่ (Coarse grained soils) ค่าสัมประสิทธิ์ความซึมผ่านของดิน ต้องไม่เกิน  $10^{-5}$  m/s (Herrenknecht, 1999)

ระบบหัวเจาะ EPB จะทำงานได้มีประสิทธิภาพที่ต่อไปนี้

- ดินหน้าหัวเจาะสัมผัสกับหัวเจาะแบบแนบสนิทและเต็มหน้าตัด
- ดินใน Chamber อยู่ในสภาพที่มีความเป็นพลาสติกที่พอดีเหมาะสม
- มีการป้องกันการไหลเข้ามาของน้ำได้ดี และ Face Pressure ต้องควบคุมได้มีความสม่ำเสมอ

โฟม สามารถรวมตัวเข้ากับดินได้ดีและง่ายมาก เมื่อเราเติมโฟมเข้าไป ฟองอากาศจะทำให้ความหนาแน่นของดินลดลง เมื่อแรงเสียดทานภายในดินลดลง จะทำให้พลังงานที่ต้องใช้ในการขุดเคลื่อนหัวเจาะลดลง

การฉีดโฟมเข้าไปบริเวณหน้าหัวเจาะ จะทำให้ โฟม ผสมกับดิน ก่อนที่ฟองอากาศจะทำการแยกมวลดินออกจากกัน เครื่องผลิตโฟม (Foam Generating Unit) จะผลิต โฟม โดยการกวนสารละลาย โฟมที่อยู่ใน Compress Air Unit และฉีดออกมาน้ำหัวฉีด (Nozzles) ซึ่งอยู่ทางด้านหน้าของ Cutting Wheel หรือฉีดเข้าไปใน Excavation chamber ซึ่งจากประสบการณ์ของวิศวกร เครื่องผลิต โฟมควรอยู่ใกล้กับหัวฉีด (Injection Point) ให้มากที่สุดเท่าที่เป็นไปได้ (Cash & Vine- Left, 1996 Maurey, 1998) และหัวฉีดกึ่งกระบอก Cutter head ให้มากที่สุดเท่าที่เป็นไปได้ เช่นกัน (Moss 1998)

จุดประสงค์หลักอย่างหนึ่งของการผสม โฟมเข้าไปคือเพื่อสร้างชั้นดินทึบนำ (Impermeable Layer) แต่ ในกรณีของสารละลาย “เบนโทไนท์” จะเกิดชั้นดินทึบนำได้ก็ต่อเมื่อหลังจากเกิดการ Consolidation ของสารละลายแล้วเท่านั้น และที่สำคัญ ในดินที่มีค่า k ต่ำ ความสามารถในการก่อตัวของ Filter Cake จะ “ล้มเหลว” (Herrenknecht, 1994) สำหรับ โฟม สามารถใช้ได้กับ ดินทุกชนิด ซึ่งท้ายสุดหลังจาก โฟม ผสมกับดินแล้วค่า k จะมากกว่า  $10^{-5}$  m/s

เมื่อเราใส่ PAs (Anionic-active water absorbent polymers) เข้าไปด้วย อนุภาคของดินจะถูกเคลื่อนและมวลดินจะแยกตัวออกเป็นสามส่วน “(Three-phase system)” คือ ดิน น้ำ อากาศ (Herenknecht & Maidl, 1995) ในส่วนหน้าของหัวเจาะ โฟม จะทำการไล่น้ำออกจากมวลดิน และหลังจากนั้น โพลีเมอร์ จะทำหน้าที่ดูดซับน้ำไว้ ดังนั้น หลังจากเกิด Three-Phase System ความหนาแน่นของน้ำ ในมวลดินจะไม่เท่ากับ ความดันน้ำได้ดีในตอนแรก

ถ้าความดันใน Chamber ลดลง Gas Phase ในโครงสร้างดินก็จะขยายและทำให้ดินเปลี่ยนรูปได้ คือ ปริมาตรดินใน Chamber ที่ถูกอัดไว้ จะสามารถเปลี่ยนแปลงปริมาตรได้มาก ถ้าอัตราส่วนของ โฟม : ดินบุด เปลี่ยนไป ดังนั้นการเปลี่ยนแปลงปริมาตรของดินใน Chamber จะมีผลอย่างมากต่อ แรงดันดินที่อยู่หน้าหัวใจ

อีกสาเหตุหนึ่งที่เห็นได้ชัดว่าควรใช้ โฟม แทน เบนโทไนท์ คือ ปริมาณน้ำส่วนเกินที่ใช้ ถ้าใช้ โฟม จะมีปริมาณน้ำส่วนเกินน้อยกว่าใช้ เบนโทไนท์ มาก การใช้โฟม ทำให้ Natural Water Content ไม่เปลี่ยนแปลงมาก ซึ่งมีผลให้ปริมาตรดินบุดน้อยกว่าการใช้ เบนโทไนท์ มาก

เนื่องจากส่วนประกอบกว่า 90% ของ โฟม ประกอบด้วย อากาศ ซึ่งสามารถถ่ายตัวได้่ายเพียง ไม่กี่วัน อีก 10% ของ โฟม ประกอบด้วยสารละลายซึ่ง 90-99% ของ โฟม เป็นน้ำ และที่เหลืออีกเล็กน้อย ถึงจะเป็น Foaming Agents กับ โพลีเมอร์ (Maidl et al, 1996)

ผลจากห้องทดลอง (DECON, 1996) บอกว่า อัตราส่วนที่เหมาะสมที่สุดในงานบุดจะอุ่นคง คือ 10% สารละลาย : 90% อากาศ แต่ขึ้นต้องขึ้นอยู่กับ ความเสถียรภาพของ โฟม และอุณหภูมิด้วย

ในการใช้ โฟม เป็นสารปรับปรุงคุณภาพดินแต่ละชนิดนั้น มีข้อแตกต่างกันต้องมีการเลือกใช้ พารามิเตอร์ต่างๆ ให้เหมาะสม โดยตัวแปรที่สำคัญมีอยู่ 2 ตัวคือ

1) Foam Expansion Rate (FER) หรือ Expansion Rate (ER) เป็นพารามิเตอร์ที่สำคัญที่ใช้วัด ประสิทธิภาพความเข้มข้นของสารละลาย ( Quality of Foam ) ดังแสดงในสมการที่ 2.7

$$\text{FER} = \frac{Q_{\text{FOAM}}}{Q_{\text{LIQUID}}} = \frac{Q_{\text{LIQUID}} + Q_{\text{AIR}}}{Q_{\text{LIQUID}}} \quad (2.7)$$

2) Foam Injection Ratio (FIR) หรือ Injection Ratio (IR) เป็นพารามิเตอร์ที่ใช้วัดปริมาณ โฟม ที่ฉีดเข้าไปในดินบุด ( Quality of Foam ) ดังแสดงในสมการที่ 2.8

$$\text{FIR} = \frac{Q_{\text{FOAM}}}{Q_{\text{SOIL}}} = \frac{Q_{\text{LIQUID}} + Q_{\text{AIR}}}{Q_{\text{SOIL}}} \quad (2.8)$$

ค่า FIR ควรแปรผันตามสภาพขั้นดินโดย บริษัท Obayashi ของญี่ปุ่น ได้คิดสูตรขึ้นมา (Knsakabe et al, 1999) ดังแสดงในสมการที่ 2.9

$$Q = 0.5a [ (60-4X^{0.8}) + (80-3.3Y^{0.8}) + (90-2.7Z^{0.8}) ] \% \quad (2.9)$$

X = % ของดินที่มีขนาดเล็กกว่า 0.075 mm (< Fine Sand)

Y = % ของดินที่มีขนาดเล็กกว่า 0.420 mm (< Coarse Sand)

Z = % ของดินที่มีขนาดเล็กกว่า 2.00 mm (< Fine Gravel)

a = ค่าปรับแก้ ซึ่งสัมพันธ์กับค่า CU (Coefficient of Uniformity),  $1 < a < 1.6$

โดยสูตรนี้ใช้ได้กับ EPB เท่านั้นและเป็น empirical ที่ใช้ข้อมูลจากข้อมูลในญี่ปุ่นเท่านั้น

ในการก่อสร้างด้วยวิธี EPB โพลีเมอร์-โฟม มีข้อดีมากกว่าการใช้ เบนโทไนท์ หรือสารละลายที่มีความเข้มข้นสูง เนื่องจาก สามารถช่วยลด แรงตึงผิวของของเหลว ทำให้ของเหลวแตกตัวเป็นไไมเลกุลเล็กๆ และ เกิดฟองอากาศ 2 ชั้น (Double film bubbles) ขึ้น ซึ่งจะรวมกันเป็นโครงข่าย (Networks) และเมื่อรวมกับดินบุดใน Chamber จะส่งผลทำให้มวลดินเกิดสภาวะ Three phase system ขึ้น และในมวลดินก็จะเกิด Capillary Cohesion ขึ้น

โฟม จะทำให้มีเดดิน เกิดเสถียรภาพขึ้นชั่วคราว น้ำจะถูกขับออกจากรากมวลดิน โดยโฟมและจะถูกโพลีเมอร์ดูดซับไว้ โพลีเมอร์-โฟม จะสร้างฟองอากาศที่เสถียรภาพขึ้นในมวลดินและแรงดันภายในฟองอากาศนี้ จะเป็นตัวอوكแรงต้าน น้ำได้ดีนิ่มไม่ให้เข้ามา ทำให้ค่าความซึมผ่านของดิน ลดลง และ เพิ่มเสถียรภาพให้แก่เม็ดดิน ได้เนื่องจาก ฟองของโฟม จะช่วยเพิ่ม Cohesion ให้แก่ดินทำให้ดินมีความเหนียวแน่นพอกหมาย ทำให้ประสิทธิภาพการบุดสูงขึ้น และ โฟม ยังทำให้ดินใน Chamber มีความเป็นเนื้อเดียวกันมากขึ้น

ในประเด็นปัญหาทางด้านสิ่งแวดล้อมสำหรับการใช้โฟมแล้ว เรียกได้ว่าแทนไม่มีเลย เพราะส่วนประกอบส่วนใหญ่ของโฟมก็คือ อากาศ ส่วน Foaming agent ก็เป็นสารที่สามารถย่อยสลายทางชีวภาพได้ ซึ่งเมื่อเทียบกับ เบนโทไนท์แล้ว นับว่าซึ่งมีปัญหานี้อยู่

### 2.9.6) กรณีศึกษา ( Case Studies )

- Peron & Marcheselli (1999) รายงานการใช้ไฟฟ์ใน Sandy – gravelly soils ในอุโมงค์ดิน เส้นผ่านศูนย์กลาง 8.0 m ในประเทศอิตาลี โดยใช้ไฟฟ์ของบริษัท Obayashi จากญี่ปุ่น โดยใช้ไฟฟ์ 1.5% cellulose polymer 0.7% ผสมกับน้ำ อัตราส่วนของสารละลายไฟฟ์ 100 ลิตร : อากาศ 100 ลิตร ที่ความดัน 1.9 bar FIR ใช้ประมาณ 60-80% ในคืนแห้งและ 50-80% ในคืนที่มีน้ำ

- Wallis (1995) รายงานการใช้ไฟฟ์ในอุโมงค์ในเมือง Valencia อุโมงค์อยู่ใต้ดิน ใน Alluvial Sands และ Gravels มีดินละเอียดประมาณ 15% และมี Stiff Clay เล็กน้อย ใช้การขุดเจาะแบบ EPB มีหัวฉีดทั้ง เบนโทไนท์ และ ไฟฟ์ จากประสบการณ์การทำงาน พบราก扣จาก การใช้ เบนโทไนท์ มากนัย และยังพบว่าการใช้ ไฟฟ์ ทำให้ดินมีความเป็นเนื้อเดียวกัน (Homogenous) และมีความสามารถในการบูบตัว (Compressibility) สูงกว่า

- ปริมาตรดินขุด 1 ลูกบาศก์เมตร ใช้ไฟฟ์ประมาณ 500 ลิตร ซึ่งเป็นสารละลาย ไฟฟ์เพียง 18 ลิตร เปรียบเทียบกับการใช้ สารละลาย เบนโทไนท์ต้องใช้ ถึง 220 ลิตร/เมตร³ ใช้ค่า FIR ประมาณ 25-35% ผลปรากฏว่า เมื่อไฟฟ์ผสมกับดินแล้ว สามารถช่วยลดแรงและ Torque ที่ใช้กับ Cutting Wheel ลงประมาณ 20% Herrenknecht และ Maidl (1995) ได้รายงานประสิทธิภาพของการใช้ ไฟฟ์ออกมาในทำงานเดียวกัน

- Webb และ Breeds (1997) รายงานความสำเร็จของการใช้ไฟฟ์ในงานอุโมงค์ซึ่งอยู่ใต้ระดับน้ำ 18.3 เมตร ขุดเจาะผ่านชั้นดินผสม มีการใช้ไฟฟ์ออกมาระยะหนึ่งแล้ว ไม่สามารถดำเนินการต่อได้

- Munroy (1998) รายงานผลสำเร็จของการใช้ไฟฟ์เป็น สารผสมเพิ่ม คือสามารถลด Torque ของ Cutter-head ขนาด 7.7 m ที่ทำการขุดเจาะใน ดินเหนียว ใช้ FER = 20 และน้ำดีไปหลายจุด ทั้งหน้าหัวเจาะ , ใน Chamber และ ใน Screw Conveyor Babendererde(1998) ได้รายงานในโปรเจ็คเดียวกันนี้ว่า torque ที่เกิดขึ้นกับ Cutter Head ลดลงถึง 50 เบอร์เซ็นต์ และ Thrust Force ลดลงจาก 2000 ตันเหลือประมาณ 1200ตัน

- มีเอกสารมากมายที่ แสดงถึงผลดีของการใช้สารผสมเพิ่มกับหัวเจาะระบบ EPB (Pelle and Castner,1998) รายงานถึงผลดีของการใช้สารผสมเพิ่ม ว่าสามารถช่วยลดแรงเสียดทานที่ผิวน้ำหัวเจาะลงได้

- Maidl(1999)บันทึกผลของการใช้ EPB กับ ไฟฟ้าในประทศน์แคร์แลนด์ในชั้นดิน Silty and Clayey Sands โดยมี Earth Pressure สูงถึง 350 kPa และ Maidl and Jonker(2000) ได้อภิปรายถึงความซึ่ดหุ่น และการประยุกต์ใช้งานที่เพิ่มขึ้น หลังจากมีการใช้ไฟฟ้า และยังตั้งข้อสังเกตุ ว่าในชั้นดินที่มี Earth Pressure สูง การดำเนินการโดย Screw Conveyor จะมีปัญหา ต้องใช้ Conveyor Belt และ Slurry Pipe แทน

- โครงการใน Singapore(Reilly,1999) มีการใช้ระบบ EPB กับไฟฟ้าและไฟลีเมอร์ หรือกับไฟฟ้า และเบนโทไนท์ กายให้ Face Pressure 150-360 kPa ผลที่ออกมาก็คือ Torque และ Settlement ลดลงเป็นที่น่าพอใจมาก

- Melis(1999) รายงานโปรดักต์ในเมือง Madrid ว่าราคาก่อสร้างพื้นหมุด เมื่อใช้วิธี EPB กับสารปรับปรุงคุณภาพดินไม่ได้สูงกว่าการขุดโดยวิธีอื่น แต่ในขณะเดียวกัน ใช้เวลา ก่อสร้างน้อยกว่ามาก

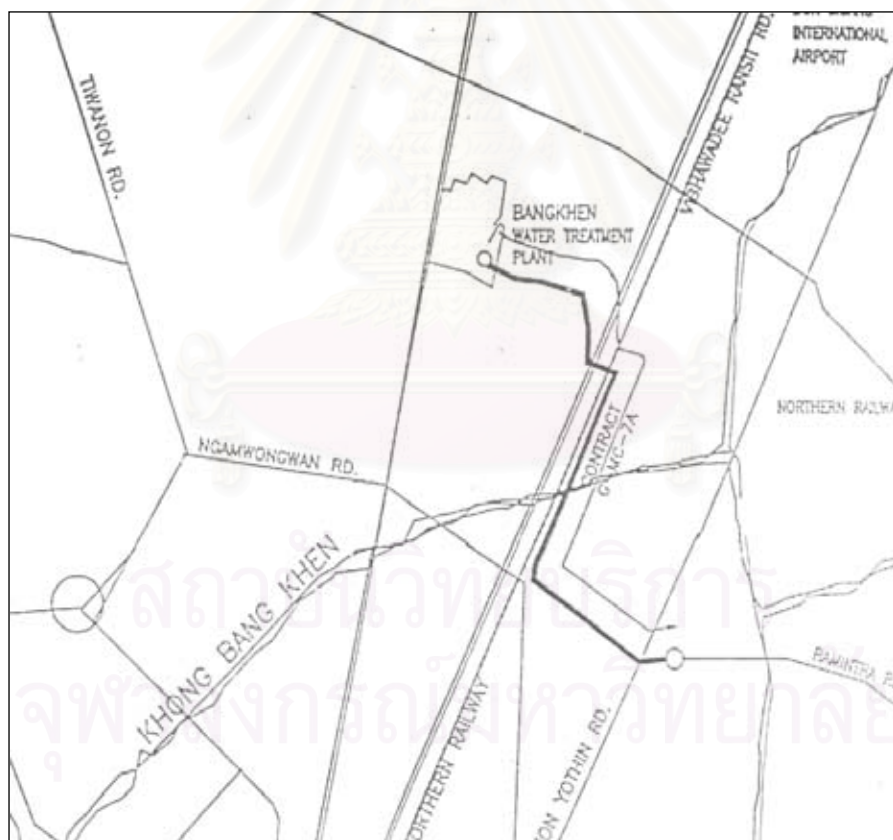
สถาบันวิทยบริการ  
จุฬาลงกรณ์มหาวิทยาลัย

### บทที่ 3

## การรวบรวมข้อมูล และวิธีดำเนินงานวิจัย

### 3.1 ลักษณะทั่วไปของโครงการ

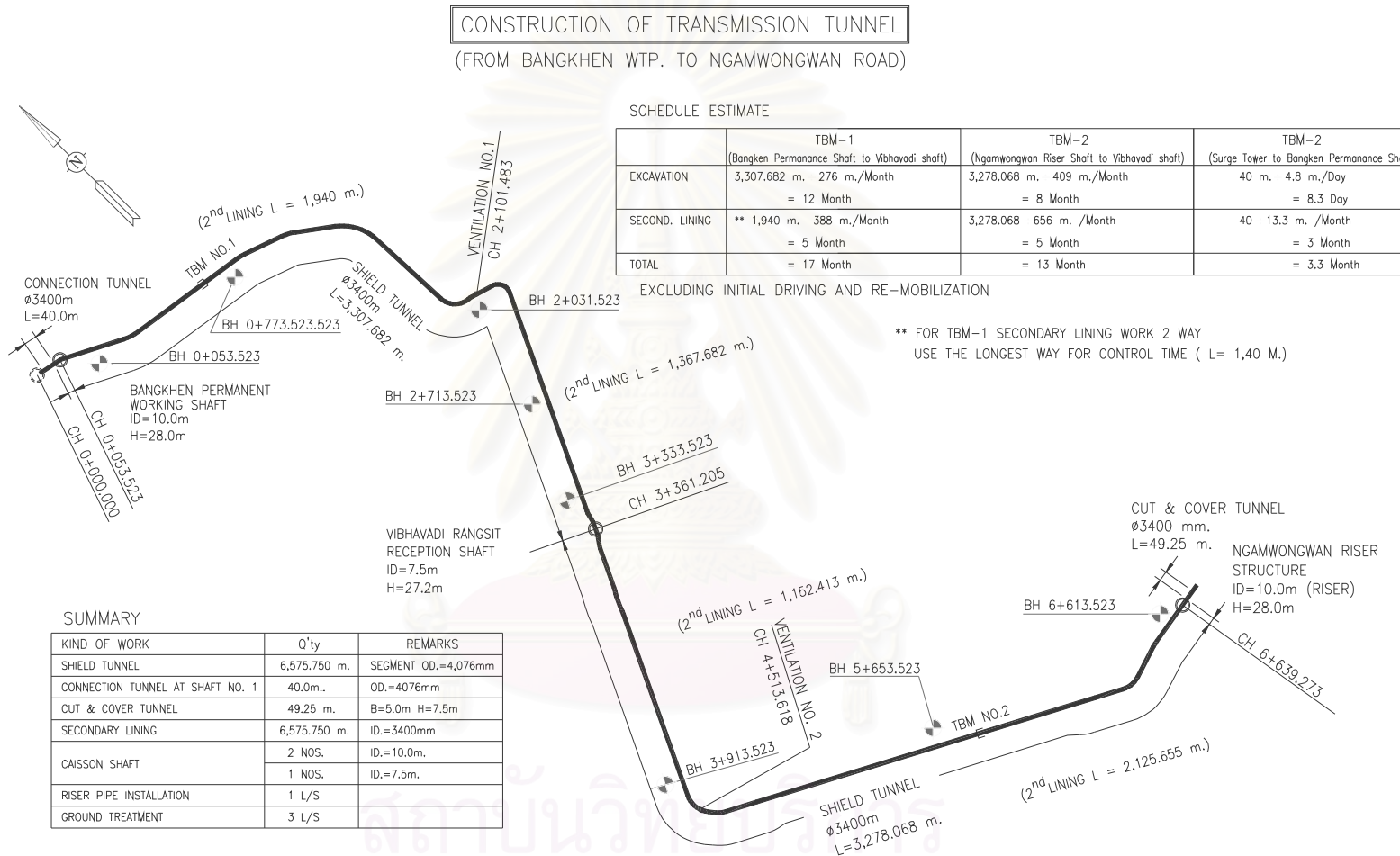
การประปานครหลวง ได้ริเริ่มโครงการเพิ่มกำลังการผลิตน้ำประปา เพื่อแจกจ่ายให้กับประชาชน ในเขตพื้นที่กรุงเทพมหานครและเขตปริมณฑล จึงมีโครงการก่อสร้างบุคคลากร อุโมงค์ส่งน้ำประปา จาก โรงงานน้ำบางเขน ไปสู่สถานีสูบน้ำประปามินบุรี โดยโครงการก่อสร้างสัญญา G-MC-7A นี้เป็น เพียงส่วนหนึ่งของโครงการดังกล่าว โดยเริ่มทำการบุคคลากรตั้งแต่โรงงานน้ำบางเขนถึงถนนงามวงศ์ วน รวมเป็นระยะทางทั้งหมดประมาณ 6.7 กิโลเมตรเริ่มตั้งแต่ เขต บางเขน ถึงถนน งามวงศ์วาน ดังรูป ที่ 3.1



รูปที่ 3.1 แนวเส้นทางอุโมงค์ส่งน้ำประปาโครงการ G-MC-7A จาก โรงงานน้ำบางเขนถึงถนน งามวงศ์วาน

การบุคเจ้าจะแบ่งเป็น 2 ช่วง โดย ช่วงแรก ซึ่งเป็นช่วงที่ทำการเก็บข้อมูล และทำการวิจัยในครั้งนี้ จะ ยาวประมาณ 3.3 กิโลเมตร เริ่มตั้งแต่เขต บางเขน ( CH 0+000.00 ) ถึง ถนน วิภาวดี- รังสิต ( CH 3+361.205 ) ดังแสดงใน รูปที่ 3.2





ลักษณะอุโมงค์ ส่วนใหญ่จะเป็น ดาดอุโมงค์ คอนกรีต มีเส้นผ่านศูนย์กลางภายในอก 4.05 เมตร เส้นผ่านศูนย์กลางภายใน 3.7 เมตร ทำการ ขุดเจาะด้วยวิธี ระบบแร่งดันดินสมดุล (Earth Pressure Balance Shield , EPB ) ข้อมูลทั่วไปดังแสดงในตารางที่ 3.1

ตารางที่ 3.1 แสดง ลักษณะทั่วไปของโครงการ

เจ้าของโครงการ	การประปากรุงเทพ (Metropolitan Waterworks Authority , MWA)
ชื่อโครงการ	Transmission Tunnel Project from Bangkhen Water Treatment Plant to Ngamwongwan Road
ผู้รับเหมาโครงการ	TN Joint Venture consisting of -Summit Grade Ltd.,Part. -Asiatec Development Corp.,Ltd. -Nishimatsu Construction Co.,Ltd
ราคาค่าก่อสร้าง	1,067,844,712.00 บาท
ระยะเวลา ก่อสร้าง	เริ่มโครงการ 29 มิถุนายน 2544 วันสิ้นสุดสัญญา 16 ตุลาคม 2548 รวมระยะเวลา 840 วัน
ความลึกของอุโมงค์	จากผิวดินถึงกึ่งกลาง อุโมงค์ ประมาณ 20.5 เมตร
ชนิดดิน	เป็นชั้นดินเหนียวแข็งปนทราย
Tunneling Method	Shield Tunneling Type
Excavation Method	Earth Pressure Balance Type
ความยาวอุโมงค์	ประมาณ 6.7 กิโลเมตร
Primary Lining	Precast Concrete Segment เส้นผ่านศูนย์กลางภายในอก 4,076 mm เส้นผ่านศูนย์กลางภายใน 3,700 mm
Secondary Lining	Steel Tube Element เส้นผ่านศูนย์กลางภายใน 3,400 mm หนา 18 mm

### 3.2 การเก็บรวบรวมข้อมูล

- ข้อมูลจริงที่ได้จาก สถานะ จะแบ่งเป็น 3 อย่างหลักๆ คือ
- 1) ข้อมูลทั่วไปของโครงการ วิธีการบดเจาะอุโมงค์
  - 2 ) ข้อมูล Ground Surface Settlement
  - 3 ) ข้อมูล TBM Record ( Tunnel Boring Machine)

#### 3.2.1 ข้อมูลทั่วไปของโครงการ และวิธีการบดเจาะอุโมงค์

โครงการนี้มีการใช้สารผสมเพิ่ม 2 อย่าง คือ ไฟฟ์ และ เบนโทไนท์ เนื่องจากช่วงแรก ซึ่งบดเจาะ โดยใช้ เบนโทไนท์ เป็นสารผสมเพิ่ม พบรากผ่า คือ ค่า Ground Surface Settlement มีค่าสูงมาก ล้วงถึง 140 mm จึงจำเป็นต้องมีการเปลี่ยนชนิดสารผสมเพิ่มมาเป็นใช้ ไฟฟ์ แทน ซึ่งปรากฏ ว่า ได้ผลดี ทั้ง ค่า Ground Surface Settlement ที่ลดลงมาก เหลือประมาณ 20 mm และ ประสิทธิภาพ การบดเจาะ ที่ เพิ่มขึ้นใน หลายๆ ด้าน

#### ข้อมูลทั่วไปของการบดเจาะอุโมงค์ ประกอบไปด้วย

- 1) ลักษณะชั้นดิน ( Soil Profile ) และคุณสมบัติของดิน ( Boring Log)
- 2) การเลือกใช้ สารผสมเพิ่ม ( Additive agent ) เพื่อปรับปรุงคุณภาพ การบดเจาะอุโมงค์ ให้ดีขึ้น

ปัจจุบันงานบดเจาะอุโมงค์เป็นที่นิยมและใช้กันแพร่หลายทั่วโลก ทำให้มีการวิจัยต่างๆ มากมายที่จะนำมาพัฒนางานบดเจาะอุโมงค์ให้มีประสิทธิภาพมากขึ้น หนึ่งในนั้นก็คือ การใช้สารผสม เพิ่ม( Conditioning Agents หรือ Additive) กับหัวเจาะระบบแรงดันดินสมดุล(EPB) ซึ่งปัจจุบันเป็นที่ นิยมมาก เนื่องจากมีประสิทธิภาพสูงกว่าหัวเจาะแบบอื่นในหลายๆด้าน

สำหรับโครงการนี้ มีการใช้ สารผสมเพิ่มอยู่ 2 อย่าง คือ เบนโทไนท์ และ ไฟฟ์

- เบนโทไนท์ ( Sodium Montmorillonite type )
- เบนโทไนท์ที่ใช้ในโครงการ G-MC-7A มีอัตราส่วนผสม คือ เบนโทไนท์ : น้ำสะอาด เท่ากับ 1 : 15

บุคประสงค์ของการใช้ เบนโทไนท์ กีเพื่อ เป็นสารหล่อลื่น โดยจะทำการอัดกีด ไปที่พื้นผิว ด้านนอก ผ่านรูหัวเจาะอุโมงค์ (Pot hole) ซึ่งมีจำนวน 8 จุด ติดอยู่บริเวณตอนหน้า และตอนกลางของหัวเจาะ เพื่อ ช่วย ลดแรงเสียดทานที่พื้นผิว ที่เกิดขึ้นบริเวณผิวด้านนอก ของหัวเจาะ ทำให้การเคลื่อนตัวของหัวเจาะคล่องตัวขึ้น

### - โฟม

โฟมที่ใช้ในโครงการนี้ ยี่ห้อ CONDAT รุ่น CLB F4/AD ผลิตโดยประเทศไทย ฝรั่งเศส โดยทางเจ้าของผลิตภัณฑ์ มีคำแนะนำในการใช้ผลิตภัณฑ์ คือ

Foam Concentration = 2-3 % with Water

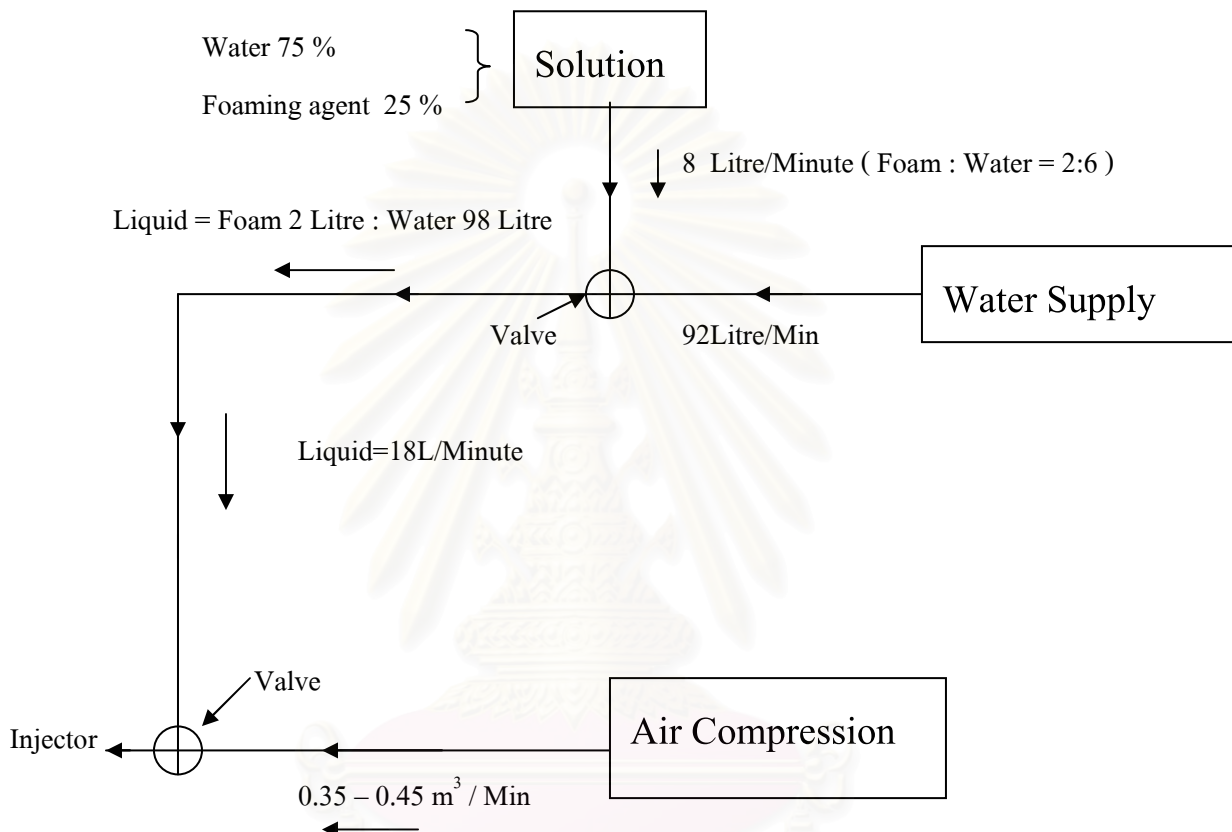
FER (Foam Expansion Ratio ) = 25 %

FIR(Foam Injection Ratio) = 40 %

มีผลการทดลองเปรียบเทียบ Torque หลังการใช้โฟม จากห้องแล็บของ HERRENCKNECHT เมื่อเปรียบเทียบ Torque ของคันที่ไม่ได้ผสมโฟม กับคันที่ผสมโฟม อัตราส่วน FIR ( Foam Injection Ratio ) เท่ากับ 60 % ค่า Torque จะลดลงถึง 76 % ซึ่งทำให้การบุคเจาะ อุโมงค์มีประสิทธิภาพ และรวดเร็วขึ้น

สถาบันวิทยบริการ  
จุฬาลงกรณ์มหาวิทยาลัย

วิธีการผสมโฟมของโครงการ G-MC-7A นี้ ดังแสดงในแผนภูมิ 3.1



แผนภูมิ 3.1 แสดงวิธีการเตรียม โฟม

ค่า FER และ FIR ที่ใช้ในโครงการสามารถคำนวณได้ดังนี้

1) FER (Foam Expansion Ratio) or Expansion Ratio (ER) เป็นพารามิเตอร์ที่สำคัญที่ใช้วัดประสิทธิภาพความเข้มข้นของสารละลาย ซึ่งมีความหมายในเชิงกายภาพ คือ (**Quality of Foam**) โดย

$$\begin{aligned} \text{FER} &= \frac{Q_{\text{FOAM}}}{Q_{\text{LIQUID}}} = \frac{Q_{\text{LIQUID}} + Q_{\text{AIR}}}{Q_{\text{LIQUID}}} \\ &= \frac{(18 \text{ Litre}/\text{Minute} + 350 \text{ Litre}/\text{Minute})}{18 \text{ Litre}/\text{Minute}} \\ \text{FER} &= 20 \% \end{aligned}$$

ซึ่ง  $Q_{\text{air}}$  ที่ใช้ในโครงการนี้เปรียบเท่ากับ  $350 - 450 \text{ L}/\text{Min}$  จะน้อยกว่า FER จะมีตั้งแต่ 20 - 26 %

2) FIR (Foam Injection Ratio) or Injection Ratio (IR) เป็น พารามิเตอร์ที่ใช้วัดปริมาณโฟมที่ฉีดเข้าไปในดินชุด ซึ่งมีความหมายในเชิงกายภาพ คือ (**Quantity of Foam**) โดย

$$\begin{aligned} \text{FIR} &= \frac{Q_{\text{FOAM}}}{Q_{\text{SOIL}}} = \frac{Q_{\text{LIQUID}} + Q_{\text{AIR}}}{Q_{\text{SOIL}}} \\ &= \frac{(18 \text{ L}/\text{Min} + 350 \text{ L}/\text{Min})}{Q_{\text{SOIL}}} \end{aligned}$$

$Q_{\text{soil}}$  = ความเร็วในการจุดเจาะ (Penetration Rate) x พื้นที่หน้าตัดของอุโมงค์  
 Penetration rate หาได้จาก ระยะ Jack Stroke (1200 mm) / เวลาที่ใช้ในการขุดเจาะต่อ 1 ring  
 (15 Minute) =  $1200 / 15 = 80 \text{ mm}/\text{min} = 0.08 \text{ m}/\text{min}$

โดยรัศมีอุโมงค์ ภายนอก มีค่าเท่ากับ 4.076 m

$$\text{FIR} = \frac{(18 \text{ L/min} + 350 \text{ L/min})}{(0.08) \times (\pi \times 4.076^2 / 4)}$$

$$\text{FIR} = 30\%$$

ซึ่ง Q air ที่ใช้ในโครงการนี้ ปรับตั้งแต่ 350 – 450 L/Min จะน้อยกว่า FIR จะเท่ากับ 30 - 40 %

3) ลักษณะ คุณสมบัติของ คาดอุโมงค์ และตำแหน่งการขุดเจาะอุโมงค์ คาดอุโมงค์ในโครงการนี้ มี 2 แบบ คือ

ก) เป็นชิ้นส่วน คอนกรีตเสริมเหล็กสำเร็จรูป (Precast Concrete Segment Lining) โดยจะแบ่งเป็น 2 ประเภทคือ

- Straight Ring , ST ใช้สำหรับอุโมงค์ใน แนวเส้นตรง โดยเส้นรอบวงทั้งสองด้านจะขนาดกัน มีขนาด 1200 มม.

-Tapered Ring ใช้สำหรับอุโมงค์ ในแนวโค้ง มี 2 แบบ คือ

T1 มีขนาด 800 มม.

T2 มีขนาด 1200 มม.

ใน 1 วง จะประกอบไปด้วย Normal segment 5 ชิ้น + Key segment 1 ชิ้น

ข) ชิ้นส่วน Steel Segment มีขนาด 500 มม. ใช้ในช่วงการก่อสร้าง Obstruction บริเวณ Underpass

### 3.2.2) ข้อมูล Ground Surface Settlement

การเก็บข้อมูล Ground Surface Settlement ใช้เครื่องมือวัดการทรุดตัวที่ เรียกว่า Ground Settlement Marker Type 3 (G3) เป็นเครื่องมือที่ใช้วัดการทรุดตัว ในแนวตั้งที่พื้นผิวจราจร หรือบนทางเท้า มีราคาถูก ติดตั้งง่าย แต่ สามารถหลุดออกจากพื้นผิวได้ ไม่คงทน ดาวร รายละเอียด ของเครื่องมือประกอบไปด้วย หมุด Stainless Steel ฝังลงในผิวจราจร ประมาณ 76 มม. และจะมีฝาครอบเพื่อป้องกัน การกระแทบ กระเทือน

การเก็บข้อมูล Ground Surface Settlement ทำการเก็บทุก Station โดยแต่ละ Station ห่างกัน 5 เมตร ข้อมูลที่มีเริ่มจาก Sta 0+120 จนถึง Sta 1+437 โดยข้อมูลที่มีจะเป็นการเก็บหลังจากการบุคเจ้าแล้ว ประมาณ 1 อาทิตย์ โดยวัดที่แนว Center ของอุโมงค์ และ 2,3 เมตร ห่างออกไป ทั้งด้านซ้ายและด้านขวา ของอุโมงค์ รวม 5 จุด ต่อ 1 Cross Section

โดย Station ต่างๆ ที่นำมาวิเคราะห์ แบ่งออก เป็น 4 Condition เพื่อนำไปศึกษาค่า TBM Record และทำการเลือก Station ต่างๆ ตาม Condition ออกมา Condition ละ 5 Station เพื่อนำมาทำการ Back Analysis โดย FEM ดังแสดงในตารางที่ 3.2

ตารางที่ 3.2 แสดง Station และ Condition ต่างๆ ที่ใช้ในการวิเคราะห์ TBM Record และ FEM

Item.	Conditioning Agent	Tunnel Route	TBM Record Analysis		FEM Back Analysis
			Ring No.	Station	
1	Bentonite	Straight	218 - 276	0+266 - 0+321	0+290 , 0+300 , 0+310 , 0+320
2	Bentonite	Curve	192 - 217 , 277 - 469	0+120 - 0+265 , 0+322 - 0+567	0+260 , 0+325 , 0+430 , 0+500 , 0+515
3	Foam	Straight	690 - 723 , 860 - 913 , 1049 - 1205	0+831 - 0+867 , 1+033 - 1+093 , 1+257 - 1+437	0+860 , 1+080 , 1+290 , 1+350 , 1+435
4	Foam	Curve	470 - 689 , 724 - 859 , 914 - 1048	0+568 - 0+830 , 0+868 - 1+032 , 1+094 - 1+256	0+655 , 0+820 , 0+980 , 1+120 , 1+210

### 3.2.3) ข้อมูลบันทึกหัวเจาะ ( Tunnel Boring Machine Record , TBM Record )

ข้อมูลบันทึกหัวเจาะ จะทำการเก็บข้อมูลทุก Ring ตั้งแต่ Ring No. 192 จนถึง Ring No. 1205 การเก็บข้อมูลจะทำเป็น Spread sheet และนำเสนอด้วยในลักษณะกราฟ โดยให้แกนนอนเป็น Ring number เพื่อเป็นข้อมูลพื้นฐานในการวิเคราะห์ต่อไป ข้อมูล TBM Record ประกอบไปด้วย

- 1) Face Pressure (bar) คือ ค่าแรงดันดินใน Soil chamber ซึ่งเป็นค่าเฉลี่ย จากการตรวจวัดของ Face pressure Gauge ด้านบน และ ล่าง
- 2) Push Pressure (bar) คือ ค่าแรงดันรวม ที่ Thrust Jack 16 ตัว ออกรแรงดันหัวใจ โดยใช้ผนัง อุโมงค์ที่ติดตั้งอยู่ด้านหลังหัวใจ เป็นที่สำหรับ หารด้วย พื้นที่หน้าตัดอุโมงค์
- 3) Articulate Pressure (bar) คือ ค่าแรงดันรวม ที่ Articulate Jack ออกรแรงดันหัวใจ เพื่อให้หัวใจ สามารถ เสี้ยว ซ้าย ขวา ก้ม เงย ได้ โดย Articulate Jack จะอยู่ระหว่าง Thrust Jack กับ Soil Chamber
- 4) Cutter Torque (bar) คือ ค่ากำลังที่ใช้ในการหมุนหัวใจ ( Excavation tool ) เพื่อตัดดิน ให้เข้ามาใน Soil Chamber
- 5) Screw conveyer speed (rpm) คือ ค่า ความเร็วรอบ ของ Screw conveyer ที่ใช้ในการลำเลียงดิน ออกรจาก Soil chamber ไปสู่ด้านหลังหัวใจ
- 6) Penetration Rate ( mm/min) คือ อัตราการเคลื่อนตัวไปด้านหน้าของหัวใจเฉลี่ย ต่อ Segment 1 วัน
- 7) Primary Grouting (Litre) คือ ปริมาณของวัสดุที่ใช้ทำ Backfill Grouting ต่อ Segment 1 วัน

### 3.3 ขั้นตอนการดำเนินงานวิจัย

จากปัญหา และ การแก้ไขใน หัวข้อ 3.2 จึงนำไปสู่การวิจัย เพื่อศึกษา พฤติกรรมของ ไฟฟ้า และ เมนโ thiโนท เมื่อใช้เป็นสารผสมเพิ่มในการบดเจาอุโมงค์ ด้วยวิธี EPB ให้เข้าใจมากขึ้น โดย การดำเนินงานวิจัย แบ่งออกเป็น 3 ส่วนคือ

- 1 ) การทดลองในห้องปฏิบัติการ
- 2 ) การวิเคราะห์ ข้อมูลที่ได้จากสนาม ( TBM Record )
- 3 ) การวิเคราะห์ การทรุดตัวของผิวดินโดยใช้ โปรแกรม FEM ( Plaxis )

#### 3.3.1) การวิจัยโดยการทดสอบในห้องปฏิบัติการ

ทำการทดสอบด้วยดินที่ใช้คือ ทราย ทำการผสมทรายกับ ไฟฟ้า และ เมนโ thiโนทที่ อัตราส่วนต่างๆ เพื่อหาคุณสมบัติและพฤติกรรม ของดินที่เปลี่ยนไป

### 3.3.1.1) วัสดุที่ใช้ในการทดสอบ และ การเตรียมตัวอย่าง

1) ราย โดย รายที่ใช้เป็น Fine Sand มีค่า  $G_s = 2.65$  เป็นตัวอย่าง รายที่เก็บมาจากบริเวณ อาคารสำนักงานกรุงเทพมหานคร ดินแดง ถนน มิตรไมตรี หัวขวาง กทม. ที่ความลึก ประมาณ 21.0 – 22.5 เมตร เป็น Fine Sandy Clay,yellow brown,stiff (CL) มีค่า SPT ประมาณ 18 blow/ft

หลังจากเก็บตัวอย่างมาแล้ว ต้องนาตัวอย่างไปล้างน้ำ แล้วร่อน ผ่านตะแกรง เบอร์ 200 เพื่อแยก ราย ออกจาก Clay และ Silt หลังจากนั้น นำรายไปอบจนแห้ง

- การเตรียมตัวอย่างราย สามารถนำรายแห้งที่อบไว้แล้วมาใช้ได้เลย

2) โฟม โดย โฟมที่ใช้เป็น โฟมยึดห้อง Meyco Fix SLF 20 มีลักษณะเป็น เจล กึ่งแข็งกึ่งเหลว ดังแสดงในรูปที่ 3.3 เป็น โฟมที่ใช้เพื่อการปรับปรุง ประสิทธิภาพของงานอุโมงค์โดยตรง มีคุณสมบัติหลักๆคือ

- ลดค่า Permeability ของดิน
- ทำให้ดิน มีความเป็น Plastic เพิ่มขึ้น , เพิ่ม Face stability ของดินหน้าหัวเจาะ
- ลด แรงเสียดทานภายในเม็ดดิน และลดการเสียดสีของดินรอบๆหัวเจาะ กับ หัวเจาะ
- ลดความเหนียวของดิน ป้องกันดินอุดตันหัวเจาะ
- Technical Data of Meyco Fix SLF 20

Form	ของเหลว
Colour	สีใส
Density	1005-1015 kg/m <sup>3</sup> at 20 Degree Celcius
Solubility in water	สามารถละลายได้ทั้งหมด( Absolutly)
Typical concentrate	2- 6 % solution in water



รูปที่ 3.3 แสดงลักษณะของ Foaming Agent ก่อนที่จะนำไปผสมกับน้ำ

- การเตรียม โฟมสามารถทำได้โดย นำ โฟมมาผสม กับ น้ำเปล่า ตาม ค่า FER ที่ต้องการ ซึ่ง ในโครงการนี้ CONDAT ซึ่งเป็นเจ้าของผลิตภัณฑ์ โฟม แนะนำให้ใช้ค่า FER = 25 และ ค่า FIR = 30 – 40 %

การเตรียม โฟม ให้ได้ ค่า FER ตามที่ต้องการ ทำได้โดยนำ Foam agent ความเข้มข้น ต่างๆ ผสม น้ำ ไป ปั่นด้วยเครื่องปั่นคิน ประมาณ 5 นาที จนได้ เนื้อโฟมที่ฟูเต็มที่ ดังแสดงในรูปที่ 3.4 ซึ่ง ทุกครั้ง ที่ผสม โฟม และ น้ำ ด้วยความเข้มข้นเดียวกัน แล้วปั่นนั้น ค่า FER ที่ได้ จะ ใกล้เคียงกัน โดยมี อัตราส่วนดังนี้

ปรอร์เซ็นต์ความเข้มข้น โฟม : น้ำเปล่า เท่ากับ 0.5 % โดยน้ำหนัก จะได้ค่า FER เท่ากับ 10  
ปรอร์เซ็นต์ความเข้มข้น โฟม : น้ำเปล่า เท่ากับ 1 % โดยน้ำหนัก จะได้ค่า FER เท่ากับ 15 ปรอร์เซ็นต์  
ความเข้มข้น โฟม : น้ำเปล่า เท่ากับ 2 % โดยน้ำหนัก จะได้ค่า FER เท่ากับ 20 ปรอร์เซ็นต์ความเข้มข้น  
โฟม : น้ำเปล่า เท่ากับ 3 % โดยน้ำหนัก จะได้ค่า FER เท่ากับ 25

ปรอร์เซ็นต์ความเข้มข้น โฟม : น้ำเปล่า เท่ากับ 5 % โดยน้ำหนัก จะได้ค่า FER เท่ากับ 35  
หลังจากนั้น เท โฟม ที่ได้ลง ถ้วยตวง แล้วตักไปใช้ ตาม ปรอร์เซ็นต์ FIR ที่ต้องการ



รูปที่ 3.4 แสดงวิธีการปั่นโฟม และตัวอย่างโฟม หลังจากปั่นเสร็จ แล้ว

### 3) เบนโทไนท์

การเตรียม เบนโทไนท์ ทำได้โดย นำ เบนโทไนท์ มาผสม กับ น้ำเปล่า ตามเปอร์เซนต์ความเข้มข้น ที่ต้องการ ซึ่งในโครงการนี้ ใช้ อัตราส่วน เบนโทไนท์ : น้ำเปล่า เท่ากับ 1 : 15 โดย น้ำหนัก ( 7 % concentrate ) แต่ในการทดสอบจะทำการเพิ่ม หรือ ลด ความเข้มข้น เพื่อหาความสัมพันธ์ต่างๆ โดยจะใช้เปอร์เซ็นต์ ความเข้มข้น 3 ค่า คือ 4 % , 7% และ 11 % โดยน้ำหนัก

หลังจากนั้น นำ เบนโทไนท์ ที่ผสม น้ำ ไป ปั่นด้วยเครื่องปั่น din ประมาณ 15 นาที ให้เบนโทไนท์ ละลายเข้ากับน้ำจนหมด แล้วเทลง ถ้วยตวง แล้วตักไปใช้ ตาม ปริมาณที่ต้องการ โดย อัตราส่วน การใช้ เบนโทไนท์ ที่โครงการนี้ใช้ตาม คำแนะนำ ของ บริษัท HERRENCKECHT ซึ่งเป็นค่ามาตรฐาน ที่ใช้โดยทั่วไปคือ ใช้ เบนโทไนท์ ประมาณ 220ลิตร ต่อ ปริมาตรดินชุด 1 ลูกบาศก์เมตร หรือ V bent / V soil เท่ากับ 0.22 โดย ในการทดสอบนี้ เราจะใช้ V bent / V soil ตั้งแต่ประมาณ 0.2 ถึง 1.1

#### 3.3.1.2) วิธีทดสอบ

การทดสอบในห้องปฏิบัติการ ตัวอย่างดินที่ใช้ คือ ดินทราย วิธีทดสอบ คือ ผสม โฟม และ เบนโทไนท์ เข้ากับทราย ใน อัตราส่วน ต่างๆกัน และ นำไปทดสอบเพื่อหาความ สำคัญ ของ ชนิด ของสารละลายน้ำ ความเข้มข้น และ ปริมาณของสารละลายน้ำ ที่มีต่อ พฤติกรรม ของดิน โดยการทดสอบจะแบ่งเป็น 4 หัวข้อ ได้แก่

1) Basics Properties Testing ของดิน ที่ใช้ในการทดสอบ ได้แก่ Sieve Analysis และ Specific Gravity

2) Direct Simple Shear Testing เพื่อเป็นการศึกษา ผลของโฟมและเบนโทไนท์ ที่มีต่อแรงเสียดทานของดิน โดยตัวแปรที่ต้องการศึกษาคือ ค่ามูนแรงเสียดทานของดิน โดย เครื่องมือที่ใช้ทดสอบ คือ เครื่อง Direct Shear ดังแสดงในรูป 3.5



รูปที่ 3.5 แสดงเครื่องทดสอบ Direct Shear

ทดสอบโดย ผสมโฟม กับ เบนโทไนท์ เข้ากัน ราย ใน อัตราส่วน ต่างๆ กัน ดังนี้

- อัตราส่วนราย ผสม โฟม

- Dry Sand
- Dry Sand + Water 4 %
- Dry Sand + Water 10 %
- Dry Sand + Water 26.5 % ( Saturated Sand)
- Dry Sand + Water 10 % + Foam ( FER = 15% , FIR = 10 % )
- Dry Sand + Water 10 % + Foam ( FER = 15% , FIR = 20 % )

- Dry Sand + Water 10 % + Foam ( FER = 20% , FIR = 10 % )
- Dry Sand + Water 10 % + Foam ( FER = 20% , FIR = 20 % )
- Dry Sand + Water 10 % + Foam ( FER = 20% , FIR = 25 % )
- Dry Sand + Water 10 % + Foam ( FER = 30% , FIR = 40 % )
- Dry Sand + Water 26.5 % + Foam ( FER = 20 % , FIR = 25 % )

- อัตราส่วนทราย ผสม เบนโถนท์

- Dry Sand + Water 10 % + Bentonite ( 4 % concentrate , V<sub>bent</sub>/V<sub>soil</sub> = 0.4 )
- Dry Sand + Water 10 % + Bentonite ( 7 % concentrate , V<sub>bent</sub>/V<sub>soil</sub> = 0.2 )
- Dry Sand + Water 10 % + Bentonite ( 7 % concentrate , V<sub>bent</sub>/V<sub>soil</sub> = 0.4 )
- Dry Sand + Water 10 % + Bentonite ( 11 % concentrate , V<sub>bent</sub>/V<sub>soil</sub> = 0.4 )
- Dry Sand + Water 26.5 % ( Saturated Sand)

เมื่อปั่นโฟม จนฟูเต็มที่แล้ว จึงนำไปผสมกับ ทรายโดยเครื่องผสมดิน ดังรูปที่ 3.6 และนำไปเทลง Shear Box ดังรูปที่ 3.7



รูปที่ 3.6 แสดงการผสม ทราย กับ โฟม เข้าด้วยกัน ด้วยเครื่อง ผสมดิน



รูปที่ 3.7 แสดงการเตรียมตัวอย่าง ทราย กับ ไฟฟ์ ลงใน Shear Box

การทดสอบครั้งนี้ ใช้ Normal Stress ซึ่งคำนวณ จาก สภาพจริงในสนาม คือที่ระดับความลึกประมาณ 20 เมตร ซึ่งเป็นระดับของการขุดเจาะอุโมงค์ มีค่า Vertical Effective Stress ประมาณ 1.6 ksc ดังนั้น จึงทำการทดสอบ เพื่อหาค่า Friction Angle โดยใช้ Normal Stress 3 ค่า คือ 0.8 ksc , 1.6 ksc และ 2.4 ksc โดยใช้อัตราการเฉือนของเครื่อง Direct Simple Shear ใช้ Shear strain rate เท่ากับ 2 มิลลิเมตร /นาที

3) Compressibility Testing เป็นการจำลองสภาพเดินที่อยู่ใน Soil Chamber ว่าเมื่อ ผสมกับไฟฟ์ และ เบนโทไนท์แล้ว เมื่อ มีการเปลี่ยนแปลง แรงดันหลายๆ ค่า แล้วดินจะมีพฤติกรรม อย่างไร โดยใช้ เครื่อง Oedometer เป็นเครื่องมือทดสอบ ดังแสดงในรูปที่ 3.8 โดยกราฟที่ต้องการศึกษาคือ กราฟที่แสดงความสัมพันธ์ระหว่าง Void ratio กับ Vertical Stress โดย ค่า Maximum Vertical Stress ที่ใช้ทดสอบ คือ 12.8 ksc



รูปที่ 3.8 แสดงเครื่อง Oedometer ใช้ทดสอบหา Compressibility ของตัวอย่าง

ทดสอบโดย ผสมโฟม กับ เบนโทไนท์ เข้ากับ ทราย ใน อัตราส่วน ต่างๆ กัน ดังนี้

#### - อัตราส่วนทราย ผสม โฟม

- Dry Sand + Water 10 % + Foam ( FER = 10 % , FIR = 10 % )
- Dry Sand + Water 10 % + Foam ( FER = 10 % , FIR = 30 % )
- Dry Sand + Water 10 % + Foam ( FER = 10 % , FIR = 40 % )
- Dry Sand + Water 10 % + Foam ( FER = 15 % , FIR = 10 % )
- Dry Sand + Water 10 % + Foam ( FER = 15 % , FIR = 30 % )
- Dry Sand + Water 10 % + Foam ( FER = 15 % , FIR = 40 % )
- Dry Sand + Water 10 % + Foam ( FER = 20 % , FIR = 10 % )
- Dry Sand + Water 10 % + Foam ( FER = 20 % , FIR = 30 % )

- Dry Sand + Water 10 % + Foam ( FER = 20 % , FIR = 40 % )

- อัตราส่วนทราย ผสม เบนโทไนท์

- Dry Sand + Water 10 % + Bentonite ( 7 % concentrate , V<sub>bent</sub>/V<sub>soil</sub> = 0.1 )
- Dry Sand + Water 10 % +Bentonite ( 7 % concentrate , V<sub>bent</sub>/V<sub>soil</sub> = 0.35 )
- Dry Sand + Water 10 % + Bentonite ( 7 % concentrate , V<sub>bent</sub>/V<sub>soil</sub> = 0.75 )

ซึ่งเมื่อผสม ทราย กับ โฟม หรือ เบนโทไนท์ แล้ว จึงนำไปใส่ใน Oedometer Box ดังรูปที่ 3.9

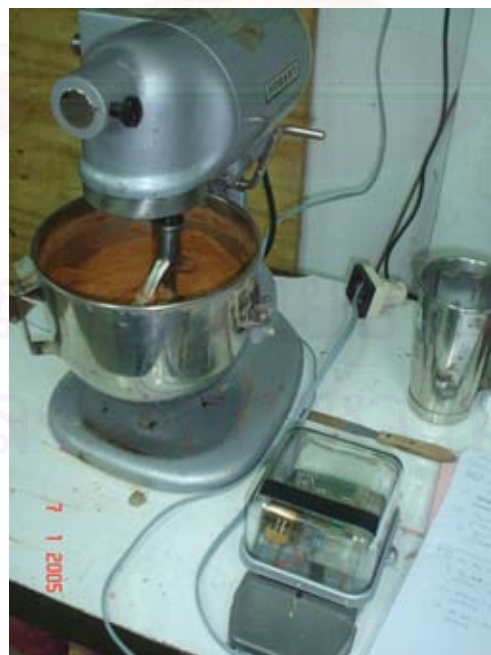


รูปที่ 3.9 แสดงลักษณะการเตรียมตัวอย่าง ทราย ผสม โฟม เพื่อทำการทดสอบ Compressibility

3) Power Consumption Testing เป็นการจำลองพฤติกรรมของหัวเจาะในอุโมงค์ เพื่อวัด Torque ( Power Consumption ) ที่เปลี่ยนไป เมื่อใช้ไฟฟ้า และ เบนโทไนท์ ในอัตราส่วน ต่างๆ โดยจะมี การติดตั้ง Watt Meter ( TOU Meter, รูปที่ 3.10 ) เข้ากับเครื่องผสมดิน ดังแสดง ในรูป 3.11 ใช้กำลัง ปั่น เมอร์ 1 และ วัดพลังงานไฟฟ้าที่ใช้ในการผสมดินที่ส่วนผสมต่างๆ กัน



รูปที่ 3.10 เครื่อง TOU Meter ใช้ในการวัดพลังงานที่ใช้ปั่นดิน



รูปที่ 3.11 แสดง การวัดพลังงานที่ใช้ในการปั่นตัวอย่าง โดยเครื่อง TOU Meter

ทดสอบโดย ผสมไฟฟ์ กับ เบนโทไนท์ เช้ากับ ทราย ใน อัตราส่วน ต่างๆกัน ดังนี้  
 - อัตราส่วนทราย ผสม ไฟฟ์

- Dry Sand
- Dry Sand + Water 10 %
- Dry Sand + Water 10 % + Foam ( FER = 15% , FIR = 4 % )
- Dry Sand + Water 10 % + Foam ( FER = 15% , FIR = 8 % )
- Dry Sand + Water 10 % + Foam ( FER = 15% , FIR = 12 % )
- Dry Sand + Water 10 % + Foam ( FER = 15% , FIR = 16 % )
- Dry Sand + Water 10 % + Foam ( FER = 15% , FIR = 19 % )
- Dry Sand + Water 10 % + Foam ( FER = 15% , FIR = 22 % )
- Dry Sand + Water 10 % + Foam ( FER = 15% , FIR = 25 % )

- อัตราส่วนทราย ผสม เบนโทไนท์

- Dry Sand + Bentonite ( 7 % concentrate , V bent / V soil = 0.04 )
- Dry Sand + Bentonite ( 7 % concentrate , V bent / V soil = 0.09 )
- Dry Sand + Bentonite ( 7 % concentrate , V bent / V soil = 0.13 )
- Dry Sand + Bentonite ( 7 % concentrate , V bent / V soil = 0.18 )
- Dry Sand + Bentonite ( 7 % concentrate , V bent / V soil = 0.27 )
- Dry Sand + Bentonite ( 7 % concentrate , V bent / V soil = 0.35 )
- Dry Sand + Bentonite ( 7 % concentrate , V bent / V soil = 0.44 )
- Dry Sand + Bentonite ( 7 % concentrate , V bent / V soil = 0.53 )
- Dry Sand + Bentonite ( 7 % concentrate , V bent / V soil = 0.62 )
- Dry Sand + Bentonite ( 7 % concentrate , V bent / V soil = 0.75 )
- Dry Sand + Bentonite ( 7 % concentrate , V bent / V soil = 0.88 )
- Dry Sand + Bentonite ( 7 % concentrate , V bent / V soil = 0.97 )
- Dry Sand + Bentonite ( 7 % concentrate , V bent / V soil = 1.06 )
- Dry Sand + Bentonite ( 7 % concentrate , V bent / V soil = 1.15 )
- Dry Sand + Bentonite ( 7 % concentrate , V bent / V soil = 1.24 )

- Dry Sand + Bentonite ( 7 % concentrate , V bent / V soil = 1.37 )

### 3.3.2) การวิเคราะห์ ข้อมูลที่ได้จากสนาม

ข้อมูลที่เก็บได้จากสนาม จะแบ่งเป็น 2 ส่วน คือ ค่าความคุณหัวใจ ( TBM Record) และ Ground Surface Settlement โดยในส่วนนี้จะทำการศึกษา เปรียบเทียบค่าความคุณหัวใจ โดยมีปัจจัย ต่างๆกัน ส่วน Ground Surface Settlement จะทำการวิเคราะห์ โดยใช้โปรแกรม Plaxis วิเคราะห์เพิ่มด้วย

การศึกษาค่าความคุณหัวใจ ( TBM Record) แบ่งปัจจัยที่ศึกษาออกเป็น 2 กรณี คือ

- 1) เปรียบเทียบค่า TBM Record ช่วงที่มีการใช้ ไฟฟ้า กับ ช่วงที่มีการใช้ เมนโทไนท์ เป็นสารผสมเพิ่ม
- 2) เปรียบเทียบ ค่า TBM Record ช่วงที่อุโมงค์ เข้าโถง กับ ช่วงที่อุโมงค์อยู่ในทางตรง

โดยค่า TBM Record ที่จะทำการศึกษา เปรียบเทียบได้แก่

- Face Pressure
- Push Pressure
- Articulate Pressure
- Cutter Torque
- Screw conveyer speed
- Penetration Rate

ในส่วนนี้ต้องอาศัยข้อมูลจากการทดสอบในห้องปฏิบัติการเข้ามาช่วยวิเคราะห์ เพื่อให้สามารถเข้าใจ และ อธิบาย พฤติกรรมของดินในหัวใจ ได้ดีขึ้น

### 3.3.3) การวิเคราะห์ การทรุดตัวของผิวดิน โดยใช้ โปรแกรม PLAXIS

ทำการวิเคราะห์หา Ground Surface Settlement โดยใช้โปรแกรม PLAXIS 7.2 ซึ่งพิจารณาลักษณะปัจจุบันเป็นแบบ 2 มิติ ( Plain Strain) และใช้แบบจำลองคืนของ Mohr Coulomb โดยการวิเคราะห์พฤติกรรมคืนในชั้นคืนเหนี่ยวยะทำการวิเคราะห์โดยวิธี หน่วยแรงรวม ( Total Stress Analysis) และอาศัยหลักการ  $\phi = 0$  Concept ส่วนในชั้นรายจะทำการวิเคราะห์โดยใช้วิธีของหน่วยแรงประสิทธิผล ( Effective Stress Analysis )

ค่าพารามิเตอร์และตัวแปรที่เกี่ยวข้อง แบ่งเป็น 2 ส่วนคือ

#### 1) พารามิเตอร์ที่เกี่ยว กับคืน ได้แก่

- กำลังรับแรงเฉือนของคืน (Undrain Shear Strength ,  $S_u$ )
- ลักษณะสีที่แรงดันด้านข้างแบบสอด (  $K_o$  )
- ค่าโมดูลัสแบบไม่ระบายน้ำของคืน (  $E_u$  )
- หน่วยน้ำหนักแห้ง (  $\gamma_d$  ) และหน่วยน้ำหนักรวม (  $\gamma_t$  )
- ค่า Cohesion , C และ Friction Angle ของคืน
- ค่า Poission Ratio ,  $V$  ของคืน

#### 2) พารามิเตอร์ ที่เกี่ยว กับโครงสร้าง ได้คืน

- น้ำหนักของอุโมงค์ ,  $W$
- ค่าสติฟเนสของผนังอุโมงค์, EA และ ลักษณะทางกายภาพของอุโมงค์
- ค่าความแข็งเชิงดัด( Flexural Rigidity ,EI )
- ค่า Poission ratio ,  $V$  ของคอนกรีต

การวิเคราะห์โดยใช้ โปรแกรม Plaxis เราจะทำ การ Back Analysis จากข้อมูล Ground Surface Settlement ที่ได้จากในสนา� วิเคราะห์ กลับ เพื่อ เปรียบเทียบค่า เปอร์เซ็นต์ Ground Loss ของกรณี ต่างๆ คือ

- 1) เปรียบเทียบค่า เปอร์เซ็นต์ Ground Loss ของช่วงที่มีการใช้ โฟม กับ ช่วงที่มีการใช้ เบนโท ในที่ เป็นสารผสมเพิ่ม
- 2) เปรียบเทียบ ค่า เปอร์เซ็นต์ Ground Loss ของช่วงที่อุโมงค์ เข้าโถง กับ ช่วงที่อุโมงค์อยู่ใน ทางตรง

สถาบันวิทยบริการ  
จุฬาลงกรณ์มหาวิทยาลัย

## บทที่ 4

### การวิเคราะห์ผลงานวิจัย

การวิเคราะห์ปัญหา และทางแก้ไข ที่เกิดขึ้นในโครงการนี้ ต้องใช้การวิเคราะห์จากหลายขั้นตอนมาผสมผสานกัน โดยข้อมูลหลักๆ ที่รวบรวมมาได้จากหน้างาน คือ ข้อมูล TBM Record และ ข้อมูล Ground Surface Settlement ซึ่งมีปัจจัยหลักที่จะทำการศึกษา คือ การใช้สารผสมเพิ่ม (Conditioning Agent) ที่ต่างกัน คือ โฟม และ เบนโทไนท์ โดย การวิเคราะห์ ผลงานวิจัยแบ่งเป็น 3 ส่วน คือ

- 1) การวิเคราะห์ผลการทดสอบจากห้องปฏิบัติการ
- 2) การวิเคราะห์ข้อมูลหัวใจจากสนาม (TBM Record)
- 3) การวิเคราะห์ Ground Surface Settlement โดยใช้ โปรแกรม FEM (PLAXIS)

#### 4.1 การวิเคราะห์ผลการทดสอบจากห้องปฏิบัติการ

เพื่อให้เข้าใจ พฤติกรรมของดินในหัวใจ เมื่อผสมกับ สารผสมเพิ่ม ต่างชนิดกัน ให้ดีขึ้น จึงต้องมีการทดสอบ คุณสมบัติเบื้องต้น โดย ตัวอย่างทดสอบที่ใช้คือ ทราย เพื่อให้เข้าใจพฤติกรรมของสารผสมเพิ่ม ได้โดยตรง และง่าย โดยไม่ต้องคำนึงถึง ปัจจัยที่จะมาจาก สารประกอบอื่นๆ ในดิน มากนัก การทดสอบนี้จะพยายามจำลองสภาพ และคุณสมบัติ ของวัสดุที่นำมาทดสอบให้ใกล้เคียง กับหน้างานของโครงการนี้ให้มากที่สุด ไม่ว่าจะเป็น ตัวอย่างทราย โฟม เบนโทไนท์ และ อัตราส่วนผสมต่างๆ ที่ใช้ในโครงการ โดยการทดสอบในห้องปฏิบัติการ แบ่งเป็น 3 การทดสอบ คือ

- 1) การทดสอบ Direct Simple Shear
- 2) การทดสอบ Compressibility
- 3) การทดสอบ Power Consumption

โดยโครงการ G-MC-7A มีการใช้สารพสมเพิ่ม 2 ชนิดคือ โฟม และ เบนโทไนท์ ซึ่งมีรายละเอียดของสารพสมเพิ่มดังนี้

### 1) โฟม

โฟม ที่ใช้ในโครงการนี้ ยี่ห้อ CONDAT รุ่น CLB F4/AD ผลิตโดยประเทศ ฝรั่งเศส โดยทางเข้าของผลิตภัณฑ์ มีคำแนะนำในการใช้ผลิตภัณฑ์สำหรับงานขุดเจาะอุโมงค์ คือ

Foam Concentration = 2-3 % with Water

FER (Foam Expansion Ratio ) = 25 %

FIR(Foam Injection Ratio) = 40 %

### 2) เบนโทไนท์

ค่าที่แนะนำให้ใช้ในงานขุดเจาะอุโมงค์ โดยบริษัท HERENCKENECH ซึ่งเป็นผู้เชี่ยวชาญในงานขุดเจาะอุโมงค์ คือ อัตราส่วน เบนโทไนท์ : น้ำ เท่ากับ 1 : 15 หรือประมาณ 7 % ความเข้มข้น และ ปริมาณ เบนโทไนท์ ที่ใช้ คือ เบนโทไนท์ 220 ลิตร ต่อ ปริมาตร ดินขุด 1 ลูกบาศก์เมตร หรือ  $V_{bent} / V_{soil} = 0.22$

โดยการทดสอบในห้องปฏิบัติการทั้ง 3 การทดสอบ จะใช้ อัตราส่วนผสมของ โฟม และ เบนโทไนท์ ดังที่ได้กล่าวข้างต้นเป็นเกณฑ์ และจึง ทำการ เพิ่ม ลด ปริมาณสารพสมเพิ่ม เพื่อฉุดผลกระทบในด้านต่างๆ

#### 4.1.1 การวิเคราะห์ผลการทดสอบ Direct Simple Shear

ชุดประสิทธิภาพการทดสอบ Direct Simple Shear นี้ เพื่อเป็นการศึกษามุมเสียดทานของดินที่อยู่ใน Soil chamber ว่าหลังจากผสมกับ โฟม และเบนโทไนท์ แล้วมีสภาพอย่างไร

วิธีทดสอบคือ ผสม โฟม หรือ เบนโทไนท์ เข้ากับ ทราย ตามอัตราส่วน ที่เราต้องการ แล้วนำ ไปเนื้อน巾 ตัวอย่างพัง โดยใช้ Normal Stress = 1.6 ksc ซึ่งคำนวณจาก Effective Stress ของดินหน้า หัวเจาะ ที่ระดับความลึก ประมาณ 20 เมตร และ Normal Stress อิก 2 ค่า คือ 0.8 ksc และ 2.4 ksc บันทึก ค่าแรงเฉือนสูงสุด นำค่า แรงเฉือนสูงสุด กับค่า หน่วยแรงตั้งฉาก ทั้ง 3 ค่า ไปพล็อต กราฟ เพื่อหาค่า มุมเสียดทาน ของตัวอย่าง

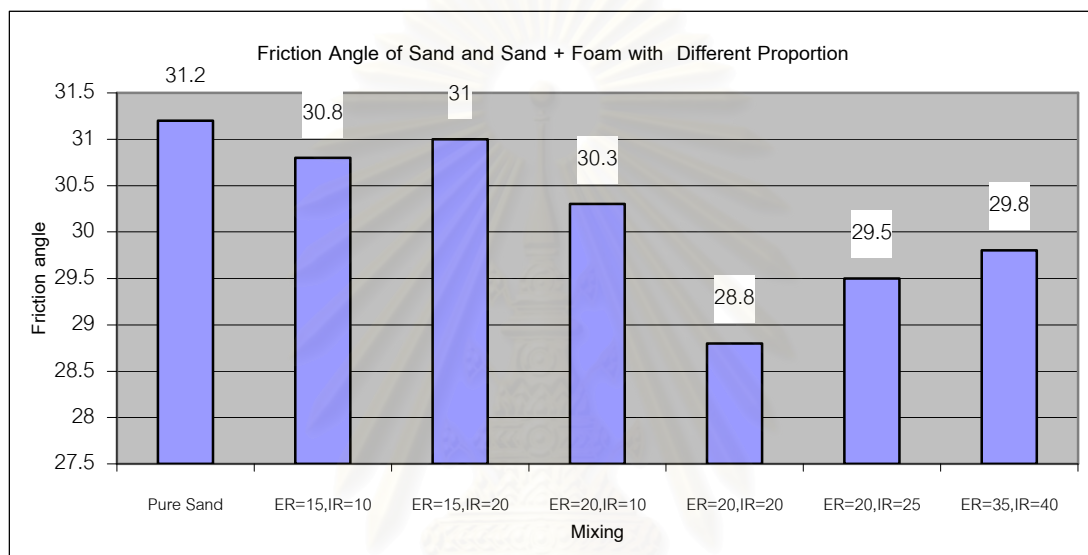
ทำการเปรียบเทียบ ค่ามุมแรงเสียดทาน ของดิน เมื่อผสม กับ โฟม และเบนโทไนท์ ใน อัตราส่วน ต่างๆ กัน โดยผลการทดลองดังแสดงในตารางที่ 4.1 และ รูปที่ 4.1 – 4.3

ตารางที่ 4.1 แสดงส่วนผสม และค่า Friction Angle ของตัวอย่างทดสอบ Direct Simple Shear

Sample no.	Mixing	Proportion		Water Content (%)	Friction Angle (Degree)
		FER Or Bentonite concentrate	FIR Or Vbentonite/Vsoil		
DS1	Dry Sand 400 g	0	0	0	33.3
DS2	Dry Sand 400g+ Water 16 g (w= 4 %)	0	0	4	31.2
DS3	Dry Sand 400g+ Water 106 g (w=26.5% , Saturated Sand )	0	0	24	27.6
DF1	Dry Sand 400 g+ Water 40 g + Foam( 1% concentrate) 20 ml	15	10	4	30.8
DF2	Dry Sand 400 g+ Water 40 g + Foam( 1% concentrate) 40 ml	15	20	4	31
DF3	Dry Sand 400 g+ Water 40 g + Foam( 2% concentrate) 20 ml	20	10	4	30.3
DF4	Dry Sand 400 g+ Water 40 g + Foam( 2% concentrate) 40 ml	20	20	4	28.8
DF5	Dry Sand 400 g+ Water 40 g + Foam( 2% concentrate) 60 ml	20	25	4	29.5
DF6	Dry Sand 400 g+ Water 40 g + Foam( 5 % concentrate) 120 ml	35	40	4	29.8
DB1	Dry Sand 400 g +Bentonite( 7%concentrate) 120 ml	7	0.4	25	29.9
DB2	Dry Sand 400 g +Bentonite( 11 % concentrate) 120 ml	11	0.4	24.5	32.8
DB3	Dry Sand 400 g +Bentonite( 4 % concentrate) 120 ml	4	0.4	24	29.7

#### 4.1.1.1 การทดสอบ Direct Simple Shear ของ ทราย และ ทราย พสม กับ โฟม

เพื่อทำการศึกษาผลของสารผสมเพิ่มที่มีต่อ ค่า Friction Angle ของทราย การเปลี่ยนเที่ยง จึงต้องทำที่ค่า Water Content เดียวกัน โดยในกรณีของ โฟม จะทำการเปลี่ยนเที่ยงค่า Friction Angle ของทรายล้วน ที่ Water Content 4 % กับ ค่า Friction Angle ของทราย พสม โฟม ในอัตราส่วนต่างๆ ซึ่งจะมีค่า Water Content ประมาณ 4 % เช่นเดียวกัน โดยได้ผลการทดสอบ ดังแสดงในตารางที่ 4.1 และ รูปที่ 4.1

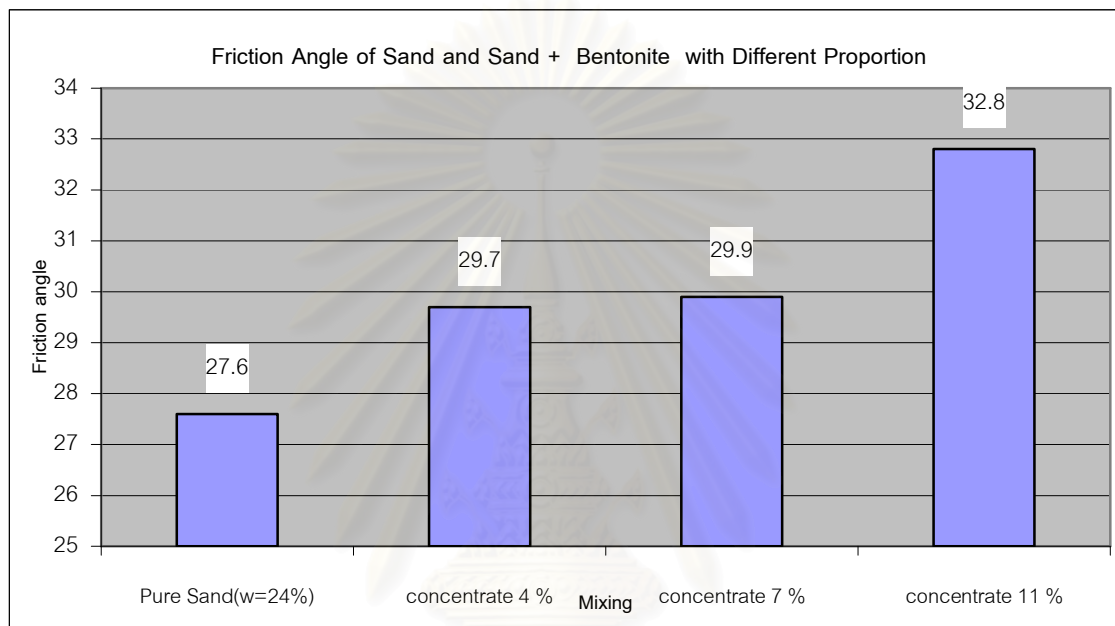


รูปที่ 4.1 แสดงค่า Friction Angle ของ ทราย และ ทราย พสม โฟม ที่ส่วนผสมต่างๆ

จากรูปที่ 4.1 จะเห็นว่า Friction Angle ของ ทรายเปล่า = 31.2 องศา และ ของ ทรายพสม โฟมที่ อัตราส่วนต่างๆจะมีค่า ตั้งแต่ 28.8 – 31 องศา ซึ่งจะเห็นว่ามีลดลงเล็กน้อย ไม่เห็นผลที่ชัดเจนนัก แสดงถึงว่า ที่ความหนาแน่นของตัวอย่างที่เท่ากัน อัตราส่วนผสม โฟมที่เพิ่มขึ้นไม่มีผล ต่อค่า Friction Angle ของคิน น่าจะมีสาเหตุมาจาก โฟม วิธีมีคุณสมบัติ เป็นสารหล่อลื่น โดยตรง ส่วนประกอบหลักของ โฟมจะเป็นอากาศ มากกว่า เมื่อทำการทดสอบที่ความหนาแน่นเดียวกัน ค่า Friction Angle จึงไม่ต่างกันมากนัก

#### 4.1.1.2 การทดสอบ Direct Simple Shear ของ ทราย และ ทราย พสม กับ เบนโทไนท์

โดยจะทำการศึกษาในหลักการเดียวกันกับ การศึกษาผลของ ไฟฟ์ คือเปรียบเทียบ Friction Angle ของตัวอย่างที่ Water Content เดียวกัน การทดสอบจึงไม่ได้ทำการแบร์เพ้น ปริมาณ เบนโทไนท์ แต่จะแบร์เพ้น เนพะ ความเข้มข้น ของ เบนโทไนท์ โดยจะ ขึ้นเบอร์เซ็นต์ความเข้มข้นของ เบนโทไนท์ ที่ใช้จริงในสถานที่ 7 % เป็นค่ากลาง และทำการเพิ่ม ลด อีก2 ตัวอย่าง เป็น 4 % และ 7% ซึ่งได้ผลการทดสอบ ดังแสดงในตารางที่ 4.1 และ รูปที่ 4.2

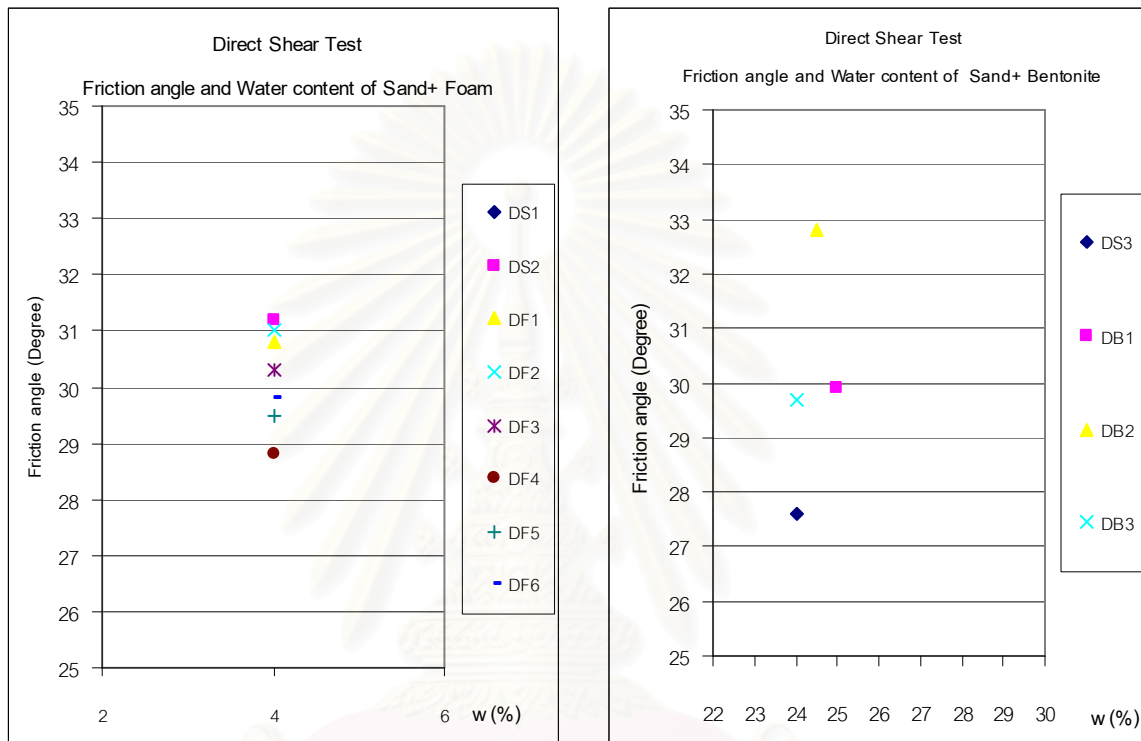


รูปที่ 4.2 แสดงค่า Friction Angle ของ ทราย และ ทราย พสม เบนโทไนท์ ที่ส่วนผสมต่างๆ

จากรูปที่ 4.2 จะเห็นว่า Friction Angle ของ ทราย เท่ากับ 27.6 องศา และ ของ ทรายพสม เบนโทไนท์ ที่อัตราส่วนต่างๆ จะมีค่า ตั้งแต่ 29.7 – 32.8 องศา ซึ่งจะเห็นว่ามีค่าเพิ่มขึ้นเล็กน้อย แบร์เพ้นตามปริมาณ ของ เบนโทไนท์ ที่ เพิ่มขึ้น ซึ่งน่าจะมีสาเหตุ มาจาก เบนโทไนท์ ซึ่งก็คือ ดินเหนียวชนิดหนึ่ง เมื่อทำการผสม กับ ทราย และ อนุภาคเล็กๆ ของดินเหนียวจะเข้าไปแทรกอยู่ระหว่างอนุภาคทราย และทำให้ Relative Density ของ ทราย เพิ่มขึ้นเล็กน้อย

#### 4.1.1.3 การเปรียบเทียบค่า Friction Angle และ ค่า Water Content ของทราย พสม โฟม และ ทราย พสม เบนโทไนท์

การทดสอบ Direct Simple Shear นี้มีอุปกรณ์ โฟม กับ เบนโทไนท์ เข้า กับตัวอย่างทราย ตามอัตราส่วนที่ได้จาก Site แล้ว ยังมีอิก ชุดหนึ่งที่ นำสังเกต คือค่า Water content ของตัวอย่าง ซึ่ง หลังจากทำการทดสอบแล้ว ได้ผลตังแสดงในตารางที่ 4.1 และ รูปที่ 4.3a , 4.3 b



รูปที่ 4.3a แสดง Friction Angle ของ ทราย + โฟม

รูปที่ 4.3b แสดง Friction Angle ของ ทราย + เบนโทไนท์

จากรูปที่ 4.3a และ 4.3b จะเห็นว่าตัวอย่างทรายที่ผสมกับ โฟม เมื่อทำการ ทดสอบแล้ว ค่า Water Content ของตัวอย่างจะมีค่า ประมาณ 4 % ส่วนตัวอย่างที่ผสมกับ เบนโทไนท์ จะมีค่า Water Content ประมาณ 24 % ที่เป็นเช่นนี้ เพราะส่วนประกอบหลักของ เบนโทไนท์ กว่า 90% คือ น้ำ ซึ่งต่างจาก โฟม ที่ ที่ส่วนประกอบหลัก 90 % คือ อากาศ 9 % คือ น้ำ ซึ่งการที่ดินในหัวเจาะ มีค่า Water content ที่สูง มากเกินไป ไม่เป็นผลดีนัก ต่อประสิทธิภาพการขุด เพราะจะทำให้ การถ่ายลีบดิน ผ่าน Screw Conveyor เป็นไปโดยลำบาก ดินไม่มีความหนืดเพียงพอ และจะทำให้การขุดเจาะเป็นไปอย่างล่าช้า

จากรูปที่ 4.1, 4.2, 4.3a และ 4.3b จะเห็นว่า ถึงแม้ว่า โฟม จะไม่ได้มีผลต่อค่า Friction Angle ของดินโดยตรง แต่เมื่อ พิจารณาถึง ค่า Push Pressure และ ค่า Articulate Pressure ช่วงที่ใช้ โฟม เป็นสารผสมเพิ่ม จะมีค่า ต่ำกว่า ช่วง ที่ใช้ เบนโทไนท์ ซึ่งแสดงให้เห็นว่าถึงแม้ว่า โฟมจะมี

คุณสมบัติไม่ใช่ สารหล่อลื่น โดยตรง ไม่สามารถ ลด Friction ระหว่าง ดินรอบๆ หัวเจาะ กับ หัวเจาะ ได้ แต่ ไฟฟ้า มีคุณสมบัติ อย่างอื่น ที่จะทำ ให้หัวเจาะสามารถขับเคลื่อน ไปด้านหน้า ได้ โดยใช้แรงดันที่ไม่สูงนัก ซึ่งน่าจะมีสาเหตุมาจากการ ไฟฟ้าทำให้ดินหน้าหัวเจาะ มีความ นุ่ม ฟู มากกว่า การใช้ เบนโทไนท์ ทำให้ สามารถขุดเจาะ ได้โดยมี Cutter Head Torque ที่ต่ำ และสามารถดำเนินการ เช่นมาสู่ หัวเจาะ ได้ง่าย และต่อเนื่องกว่า ตรงกันข้ามกับการใช้ เบนโทไนท์ ซึ่งถึงแม้ว่า จะไม่เก็บผล การเพิ่มค่า Friction Angle ที่ชัดเจนนัก แต่ก็ มีแนวโน้มที่ว่าการนิด เบนโทไนท์ เข้าไป บริเวณหน้าหัวเจาะ จะเป็นการทำให้มวลดินหน้าหัวเจาะ มีอนุภาค ดินเล็กๆ เข้าไปแทรก มากขึ้น เป็นการทำให้ค่า Cutter Head Torque สูงขึ้น

#### 4.1.2 การทดสอบเพื่อหาค่า Compressibility ของดิน

การทดสอบนี้ เป็นการจำลอง สภาพดิน ที่อยู่ใน Soil Chamber ว่าเมื่อผสานกับไฟฟ้า และเบนโทไนท์ แล้วจะมีการเปลี่ยนแปลงของ Void Ratio และค่า Compressibility อย่างไร เมื่อจาก การที่จะควบคุม Face pressure ให้ได้ดีนั้น ดินใน Soil Chamber จำเป็น จะต้องมีสภาพเป็น Plastic และมีค่า Compressibility ที่สูงด้วย ค่า Compressibility ที่สูงนั้น แสดงถึงว่า ดินใน Soil Chamber จะมีความสามารถในการยุบตัวสูง มีความนุ่มนิ่ม มีสภาพคล้ายเบาะน้ำมัน ซึ่งทำให้สามารถกระจายแรงดันจาก Thrust Jack ไปสู่บริเวณ ด้านหน้าหัวเจาะ ได้นุ่มนวลขึ้น เป็นการลดความ Sensitive ของการกระจายแรงดันดิน ทำให้มีความยืดหยุ่น ในการทำงานมากขึ้น

การทดสอบหาค่า Compressibility ของตัวอย่างดิน แบ่งออกเป็น 2 ส่วนคือ

- 1) ทดสอบหาค่า Compressibility ของ ทรัพ ผสม ไฟฟ้า
- 2) ทดสอบหาค่า Compressibility ของ ทรัพ ผสม เบนโทไนท์

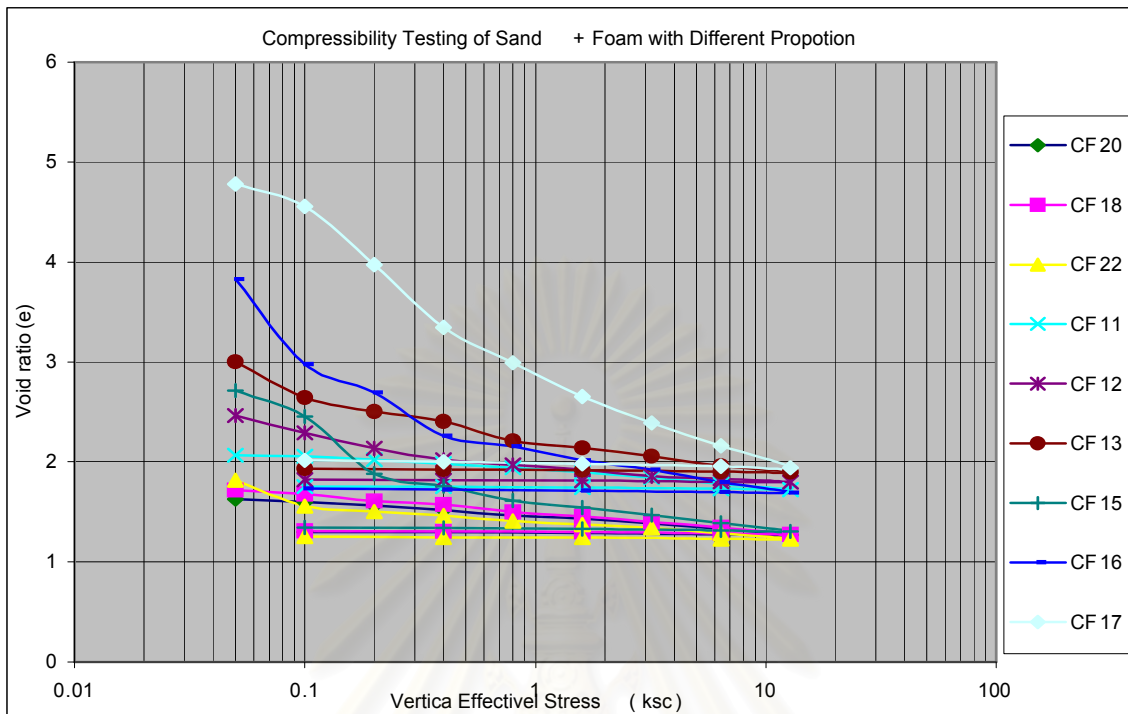
โดยเครื่องมือที่ใช้ทดสอบ คือ เครื่อง Oedometer และ ใช้ค่า Maximum Vertical Effective Stress เท่ากับ 12.8 ksc หรือเท่ากับ 8 เท่าของ Vertical Effective Stress ( 1.6 ksc ) ของดินบริเวณหน้าหัวเจาะที่ระดับความลึก 20 เมตร

#### 4.1.2.1 การทดสอบหาค่า Compressibility ของ ทรัพย์ ผสม โฟม

การทดสอบ นี้ เพื่อศึกษา ว่าเมื่อมีการเพิ่ม ค่า Foam Expansion Ratio (FER) และ Foam Injection Ratio (FIR) เข้าไป จะทำให้พุติกรรมของดิน เปลี่ยนแปลงอย่างไร โดยจะทดสอบ ทั้งหมด 9 ตัวอย่าง แปรผันค่า FER 3 ค่า คือ 10 %, 15% และ 20 % และ แปรผันค่า FIR 3 ค่า คือ 10%, 30 % และ 40 % ซึ่ง ได้ผลการทดสอบดังแสดงในตารางที่ 4.1 และรูปที่ 4.4 – 4.7

ตารางที่ 4.2 ตารางแสดง ส่วนผสม และ Void Ratio ของดิน ผสม โฟม ที่อัตราส่วนต่างๆ

Maximum Vertical Effective Stress = 12.8 ksc									
No.	Sample no.	Mixing					Initial void ratio ( $e_i$ )	Final void ratio ( $e_f$ )	Diff void ratio ( $e_i - e_f$ )
		Dry sand (g)	water (g)	Foam concentrate (%)	FER(%)	FIR(%)			
1	CF20	300	30	0.5	10	10	1.62	1.26	0.35
2	CF18	300	30	0.5	10	30	1.71	1.27	0.44
3	CF22	300	30	0.5	10	40	1.81	1.22	0.58
4	CF11	300	30	1	15	10	2.06	1.72	0.34
5	CF12	300	30	1	15	30	2.46	1.79	0.66
6	CF13	300	30	1	15	40	3.00	1.89	1.10
7	CF15	300	30	2	20	10	2.71	1.30	1.40
8	CF16	300	30	2	20	30	3.83	1.69	2.13
9	CF17	300	30	2	20	40	4.77	1.94	2.83

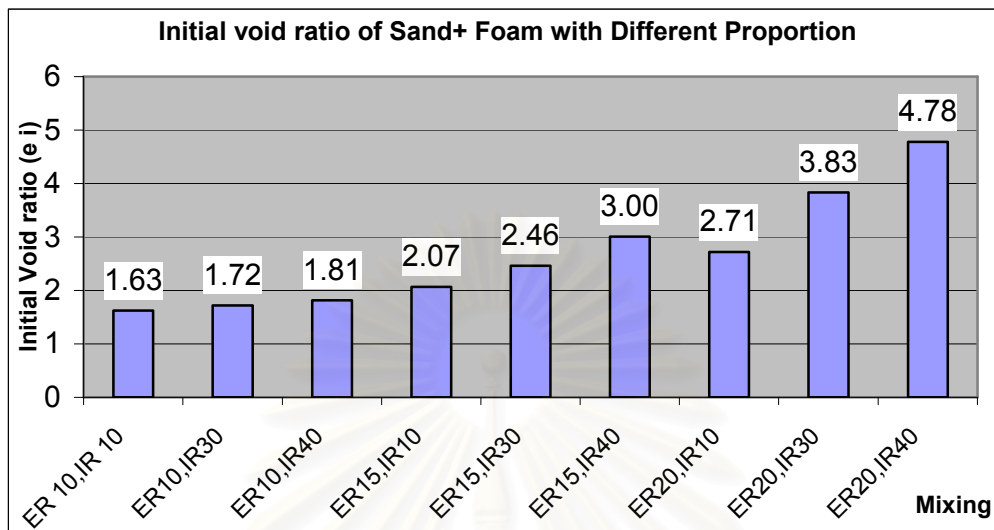


รูปที่ 4.4 แสดงความสัมพันธ์ ระหว่าง Void Ratio กับ Vertical Stress ของ ดิน ผสม โฟม ที่อัตราส่วนต่างๆ

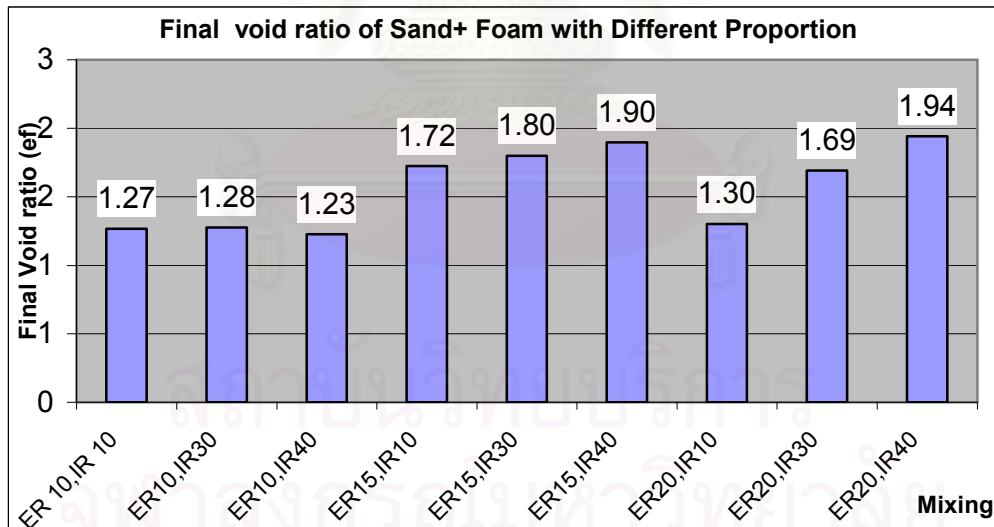
เพื่อให้เห็นผลของ โฟม ที่มีต่อค่า Void Ratio ของดิน ให้ชัดเจนขึ้น จึงทำการแยกการเปรียบเทียบ Void Ratio ออกเป็น 3 ส่วน ได้แก่

- 1) Initial Void Ratio (ei)
- 2) Final Void Ratio (ef)
- 3) Different Void Ratio ( de)

โดยค่า FER ( Foam Expansion Ratio ) หรือ ER (Expansion Ratio) และค่า FIR(Foam Injection Ratio) หรือ IR (Injection Ratio) ในแกน x จะเพิ่มขึ้นจากซ้ายไปขวา ได้ผลการทดสอบ ดังแสดงในรูปที่ 4.5 – 4.7



รูปที่ 4.5 แสดงค่า Initial Void Ratio ของ Sand+ โฟม ที่อัตราส่วนผสมต่างๆ

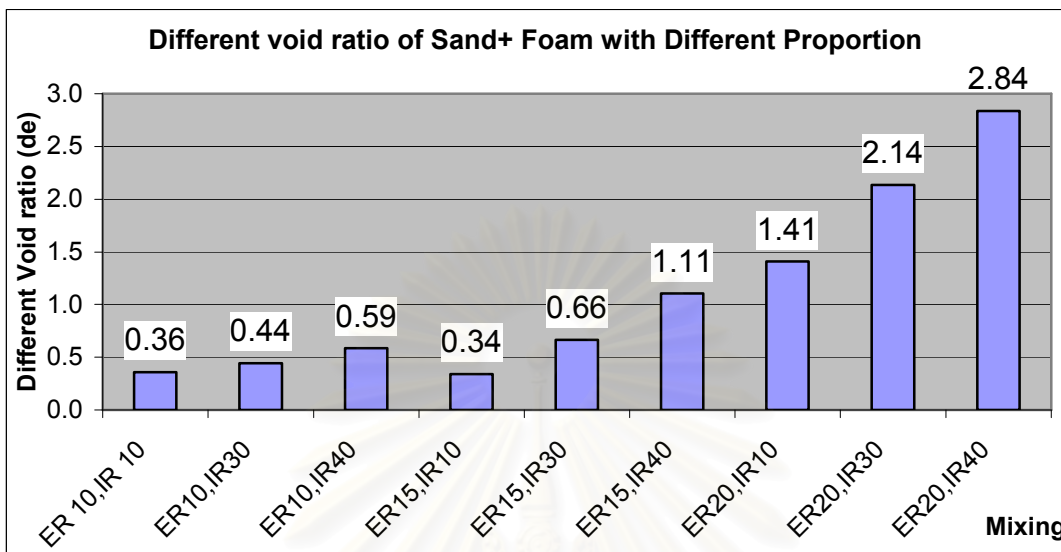


รูปที่ 4.6 แสดงค่า Final Void Ratio ของ Sand + โฟม ที่อัตราส่วนผสมต่างๆ

\*Note.

ER (Expansion Ratio) = FER ( Foam Expansion Ratio )

IR (Injection Ratio ) = FIR(Foam Injection Ratio)



รูปที่ 4.7 แสดงค่า Different Void Ratio ของ Sand + โฟม ที่อัตราส่วนผสมต่างๆ

จากรูปที่ 4.4 – 4.7 จะเห็นว่าการเพิ่มปริมาณ FER และ FIR มีผลต่อค่า Compressibility ของดิน คือเมื่อเพิ่ม FER และ FIR แล้ว ค่า Initial Void Ratio ( $e_i$ ), Final Void ( $e_f$ ) Ratio และ Different Void Ratio ( $e_i - e_f$ ) จะมีค่าเพิ่มขึ้น โดยที่อัตราส่วนผสม โฟม 0.5 % concentrate หรือ FER = 10 % เมื่อมีการเพิ่มค่า FIR ค่า Void Ratio จะยังไม่ต่างกันมากนัก แต่เมื่อผสมที่อัตราส่วน โฟม 1 % และ 2 % concentrate หรือ FER = 15 และ 20 ตามลำดับ จะเริ่มเห็นความแตกต่างของค่า Compressibility มากขึ้น โดยที่ส่วนผสม FER = 15 และ 20 นั้น ค่า Initial Void Ratio จะต่างกัน ชัดเจน แต่จะมีค่า Final Void Ratio ใกล้เคียงกัน ส่วนค่า Different Void Ratio นั้นจะเพิ่มขึ้นตาม ปริมาณ FER และ FIR

จากการทดสอบแสดงให้เห็นว่า การใช้ โฟมเป็นสารผสมเพิ่ม สามารถทำให้ค่า Void Ratio ของดินเพิ่มขึ้นได้ ซึ่ง การที่ค่า Void Ratio ของดินเพิ่มขึ้นนี้ แสดงถึงว่าดินมีค่า Compressibility เพิ่มขึ้น ซึ่งถ้าเปรียบกับดินที่อยู่ใน Soil Chamber ของหัวเจาะแล้ว การที่ดินมีค่า Compressibility สูงขึ้น นั่นว่า เป็นผลดีมาก เพราะจะทำให้การควบคุมค่า Face Pressure ทำได้ง่าย เนื่องจากดิน จะมีความยืดหยุ่นสูงขึ้นทำให้ สามารถรับ และ กระจาย Pressure จากด้านหลัง หัวเจาะ ไปสู่ Cutting Face ได้ดี และ นุ่มนวลขึ้น และการที่ดินมีค่า Compressibility สูงนี้ ยังมีข้อดีอีก คือจะทำให้ค่า ความอ่อนไหว (Sensitivity) ของดินใน Soil Chamber ลดลง ทำให้ Pressure ที่อยู่ด้านหน้าหัวเจาะ จะมีค่าที่สม่ำเสมอ (Smooth) มาขึ้น ไม่ผันผวนขึ้นลง ตามสภาพดินที่เข้ามาใน

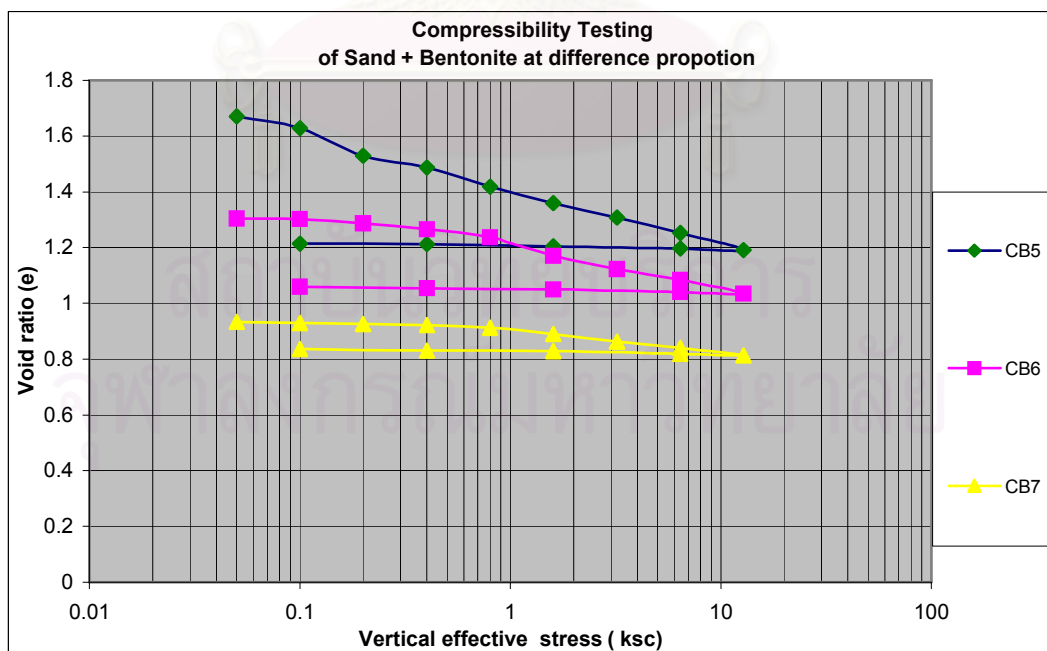
หัวเจ้ามากนัก ทำให้ผู้ควบคุมหัวเจาะ (Shield Operator) สามารถทำงานได้ง่าย และต่อเนื่อง ทำให้การขุดเจาะรวดเร็วขึ้นด้วย

#### 4.1.2.2 การหาค่า Compressibility ของ ทราย ผสม เบนโทไนท์

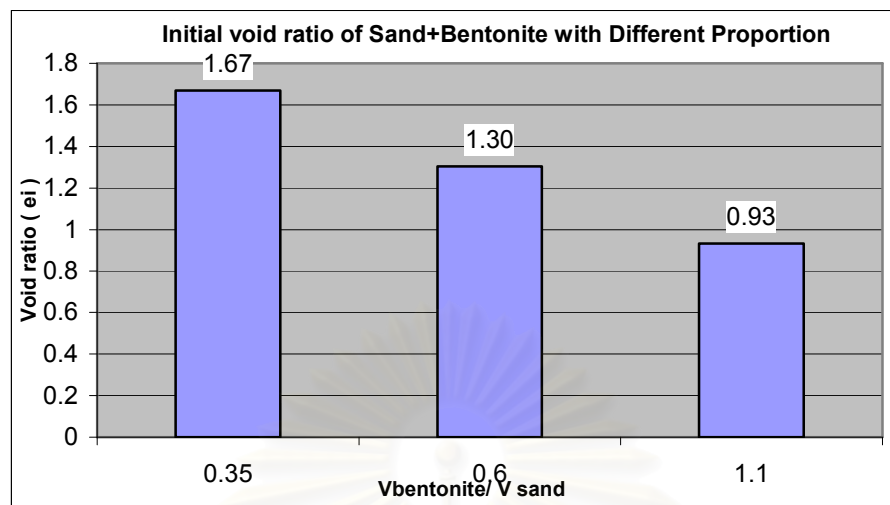
การหาค่า Compressibility ของ ทรายผสม เบนโทไนท์ ทำการทดสอบโดย นำทรายมาผสมกับ เบนโทไนท์ ความเข้มข้น 7 % ในปริมาณต่างๆ กัน เพื่อเปรียบเทียบค่า Void Ratio ของเดลตั้วอย่าง ซึ่งได้ผลดังแสดงในตารางที่ 4.3 และรูปที่ 4.8-4.11

ตารางที่ 4.3 ตารางแสดง ส่วนผสม และ Void Ratio ของดิน ผสม เบนโทไนท์ ที่อัตราส่วนต่างๆ

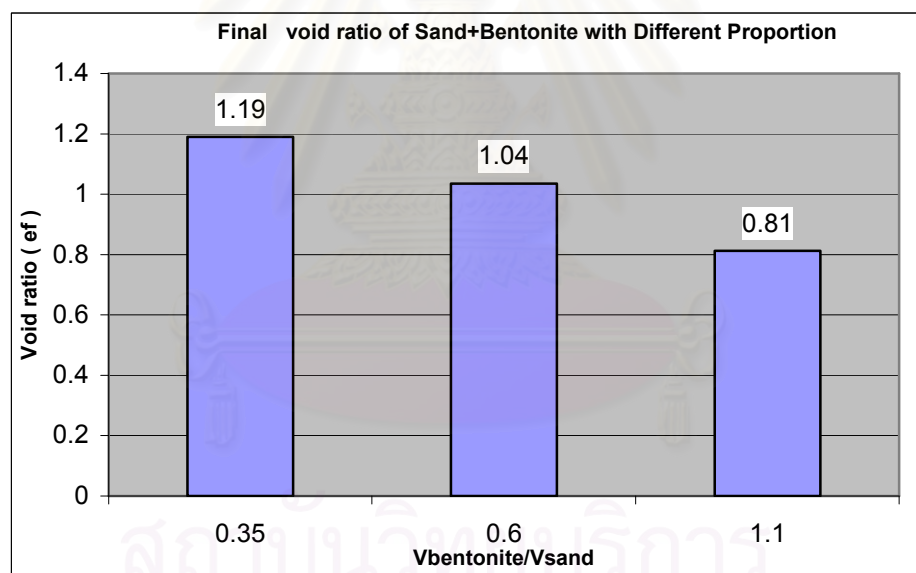
At Low stress , Maximum vertical Effective Stress = 12.8 ksc									
No.	Sample no.	Mixing					Initial void Ratio (e <sub>i</sub> )	Final void Ratio (e <sub>f</sub> )	Different Void Ratio (de)
		Dry sand (g)	water (g)	Bentonite concentrate (%)	Bentonite Volume (ml)	Vbentonite/V sand			
1	CB5	300	30	7	10	0.1	1.66	1.19	0.47
2	CB6	300	30	7	40	0.35	1.30	1.03	0.26
3	CB7	300	30	7	85	0.75	0.93	0.81	0.12



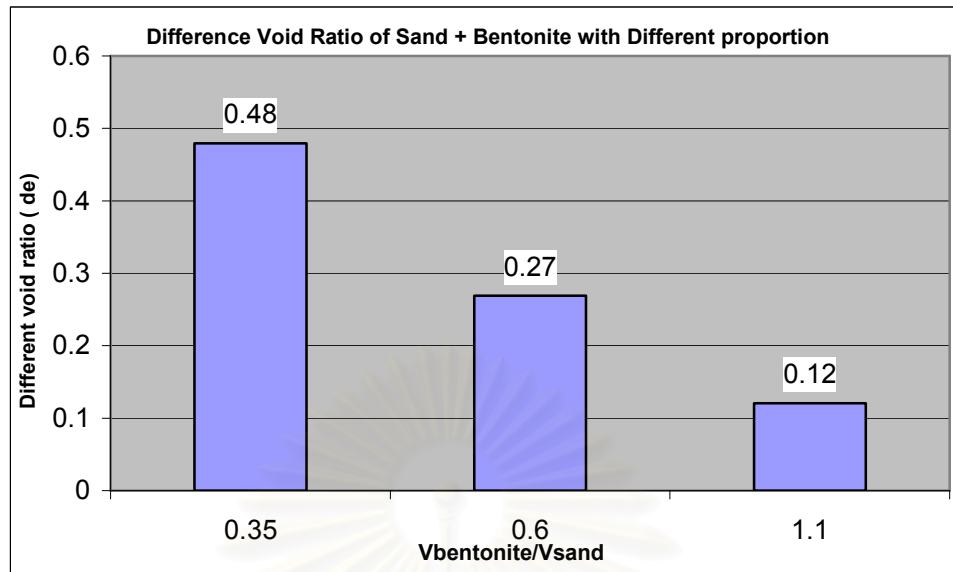
รูปที่ 4.8 แสดงความสัมพันธ์ ระหว่าง Void Ratio กับ Vertical Stress ของ ดิน ผสม เบนโทไนท์ ที่อัตราส่วนต่างๆ



รูปที่ 4.9 แสดงค่า Initial Void Ratio ของ Sand+ Bentonite ที่อัตราส่วนผสมต่างๆ



รูปที่ 4.10 แสดงค่า Final Void Ratio ของ Sand+ Bentonite ที่อัตราส่วนผสมต่างๆ



รูปที่ 4.11 แสดงค่า Difference Void Ratio ของ Sand+ Bentonite ที่อัตราส่วนผสมต่างๆ

จากรูปที่ 4.8 ถึง 4.11 จะเห็นว่า การเพิ่มปริมาณ เบนโทไนท์ มีผลทำให้ค่า Compressibility ของดินลดลง ทั้งค่า Initial Void ratio , Final Void Ratio และ Difference Void Ratio ลดลง น่าจะเป็นเพราะว่า การเพิ่มปริมาณ เบนโทไนท์ เปรียบเสมือน การเพิ่มอนุภาคดินเล็กๆ เข้าไปแทรก ระหว่างเม็ดทราย ซึ่งเป็นการทำให้ Void Ratio ของมวลดินรวม ลดลง ซึ่งเปรียบเสมือนว่า ดินใน Soil Chamber ที่ผสมกับเบนโทไนท์ จะมีความสามารถในการรับแรง และกระจายแรงได้นุ่มนวลน้อยกว่าการ ใช้ไฟม การกระจาย Face pressure จาก Bulk Head ไปสู่ Cutting Face ก็อาจควบคุมได้ยาก ค่า Face pressure จะ มีความผันผวนค่อนข้างมาก( Sensitivity สูง ) ซึ่งจะส่งทำให้การควบคุมหัวเจาะทำได้ ลำบาก ต้องอยู่ปรับแรงดัน และ ปรับค่า Screw Conveyor Speed อุ่นลดเวลา ทำให้ต้องใช้เวลาบุดเจาะที่มากขึ้น ซึ่งท้ายที่สุดแล้วจะมี ผลทำให้ค่า Ground Surface Settlement สูงขึ้นด้วย

#### 4.1.3 การทดสอบ Power Consumption

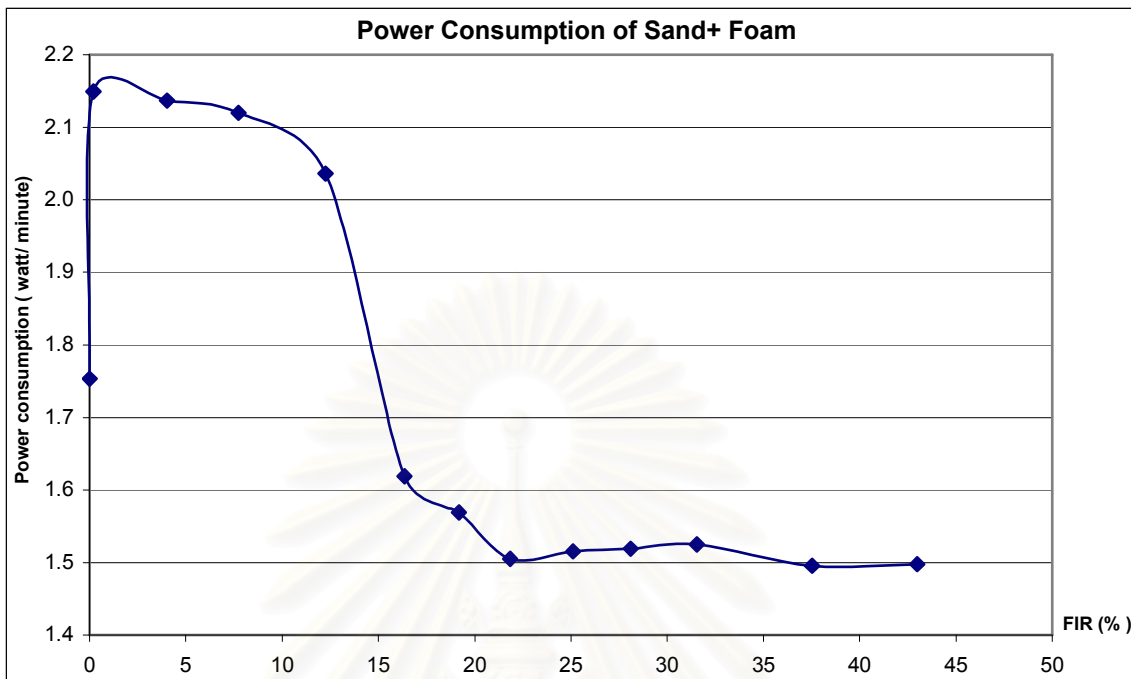
การทดสอบ Power Consumption นี้ เป็นการจำลอง สภาพหัวเจาะอุ่อมงค์ว่า เมื่อมีการฉีด โฟม และ เบนโทไนท์ ผ่าน ห่อ ( Nozzle ) ไปยังดินที่อยู่บริเวณหน้าหัวเจาะ ( Cutting Disc )แล้ว มี ผลต่อค่า Cutter Head Torque ของหัวเจาะอย่างไร โดยจะใช้เครื่องปั่นดิน และใบพัด แทนหัวเจาะ อุ่อมงค์ และใส่ดินให้เต็มหม้อผสมดิน แทนตัวอุ่อมงค์ ทำการปั่นดิน โดยใช้เครื่อง TOU Meter ( Watt Meter ) วัด กำลังไฟฟ้าที่เครื่องปั่นดินใช้ในการปั่นดิน โดยในแต่ละตัวอย่าง จะทำการปั่น จนกระแท้ ตัวอย่างดิน ถูกเป็นเนื้อดีya กัน ( Homogenous ) โดยในแต่ละตัวอย่างจะทำการจับเวลา ที่ ใช้ในการปั่น และนำໄไปหาร พลังงานที่ใช้ โดย ค่า Torque ที่ได้ จะมีหน่วย เป็น Watt/ Minute การ ทดสอบจะทำการเพิ่มปริมาณ โฟม และ เบนโทไนท์ ขึ้น ไปเรื่อยๆ และวัดพลังงานส่วนผสมละ 3 ครั้ง เพื่อหาค่าเฉลี่ย

##### 4.1.3.1 การทดสอบ Power Consumption ของ ทรารย พสม โฟม

การทดสอบจะเริ่มจากทำการปั่น Dry Sand หนัก 3000 g ก่อน ทำการวัดค่าพลังงานที่ ใช้ 3 ครั้ง หลังจากนั้น เติมน้ำลงไป 10 % (300 g) และ ค่อยๆเพิ่ม ปริมาณ โฟมขึ้นไปเรื่อยๆ โดย ใช้ค่า FIR (Foam Injection Ratio) ตั้งแต่ 4 % จนถึง 43 % ซึ่งเป็นจุดที่พลังที่ใช้ เริ่มคงที่แล้ว จึงหยุด การทดสอบ โดยค่า FER (Foam Expansion Ratio) ที่ใช้ คือ  $FER = 20\%$  ค่าเดียว ซึ่งเป็นค่าที่ใช้ใน โครงการนี้ และใช้กันเป็นมาตรฐานโดยทั่วไป โดยได้ผลการทดสอบ ดังแสดงในตารางที่ 4.4 และ ในรูปที่ 4.12 และ รูปที่ 4.14

ตารางที่ 4.4 แสดงอัตราส่วนผสม และ Power consumption ของ ทราย ผสม โฟม ที่ส่วนผสมต่างๆ

<b>Dry Sand 3000 g + Foam ( FER 20 %)</b>													
Sample no.	PF1	PF2	PF3	PF4	PF5	PF6	PF7	PF8	PF9	PF10	PF11	PF12	PF13
Dry Sand ( g )	3000	3000	3000	3000	3000	3000	3000	3000	3000	3000	3000	3000	3000
Foam volume	0	0	60	120	200	280	340	400	480	560	660	860	1080
FIR (%)	0	0	4.02	7.73	12.25	16.35	19.19	21.83	25.10	28.11	31.55	37.52	42.99
Water Content (%)	0	10	10.1	10.2	10.4	10.6	10.8	10.9	11.1	11.3	11.5	12	12.5
Power consumption(watt/min), 1 <sup>st</sup> Test	1.73	2.13	2.13	2.09	2.12	1.61	1.51	1.50	1.53	1.51	1.51	1.48	1.49
Power consumption(watt/min), 2 <sup>nd</sup> test	1.76	2.15	2.14	2.12	2.12	1.62	1.58	1.51	1.51	1.50	1.53	1.50	1.47
Power consumption(watt/min), 3 <sup>rd</sup> test	1.76	2.15	2.13	2.13	2.13	1.617	1.59	1.50	1.49	1.53	1.52	1.49	1.52
Power consumption(watt/min), Average	1.75	2.14	2.13	2.11	2.13	1.61	1.56	1.50	1.51	1.51	1.52	1.49	1.49



รูปที่ 4.12 แสดงความสัมพันธ์ ระหว่าง Power Consumption ของตัวอย่าง ทราย ผสม โฟม ที่ เปอร์เซ็นต์ FIR ต่างๆ

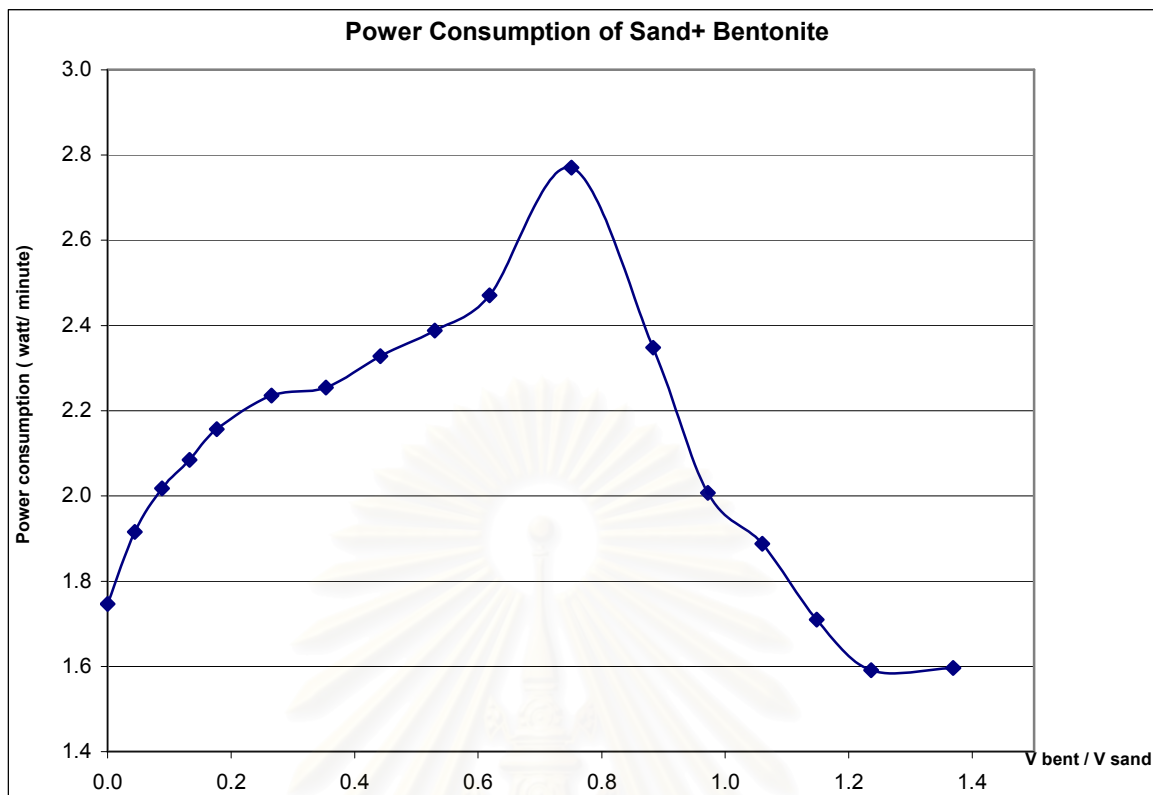
จากรูปที่ 4.12 จะเห็นว่า เมื่อมีการเติมน้ำลงไปจะทำให้พลังงานเพิ่มขึ้น จาก พลังงานที่ใช้ปั่น Dry Sand คือ 1.75 watt/min ไปเป็น 2.15 watt/min ( Water content = 10 % ) หลังจากนั้นพอเติม โฟมลงไป พลังงานที่ใช้ในการปั่นจะลดลงเรื่อยๆ จนเหลือ ประมาณ 1.5 watt/min ซึ่ง ณ.จุดนี้ตัวอย่างดินมีค่า Water Content เพียง 12.5 % เท่านั้น เพิ่มขึ้นจากจุดที่พลังงาน สูงสุด ซึ่งมี Water Content 10 % เพียง 2.5 % ซึ่งจะเห็นว่า การเพิ่มปริมาณ โฟม มีผลทำให้พลังงาน ที่ใช้ปั่นดินลดลงอย่างมาก และไม่ทำให้ตัวอย่างดินมีค่า Water Content ที่สูงนัก โดย จากการตัวอย่างนี้ จะเห็นว่า พลังงานที่ใช้ในการปั่นดิน ลดลงถึง 30 % เลยที่เดียว ซึ่งการทดสอบนี้เปรียบเสมือนการ หาค่า Cutter Head Torque ของหัวเจาะอุโมงค์ การที่พลังงานที่ใช้ลดลง น่าจะมีสาเหตุมาจากการ ที่ ฟองโฟม เข้าไปแทรกอยู่ระหว่างเม็ดดิน ทำให้ Void Ratio ของดิน เพิ่มขึ้น และลดแรงเสียดทาน ระหว่างเม็ดดินลง

#### 4.1.3.2 การทดสอบ Power Consumption ของ ทราย ผสม เบนโทไนท์

การทดสอบจะทดสอบเหมือนกับการทดสอบ กับโพม คือ ทำการวัดพลังงานที่ใช้ปั่น Dry Sand หนัก 3000 g หลังจากนั้น ค่อยๆเพิ่ม ปริมาณ เบนโทไนท์ขึ้น โดยใช้ค่า V Bentonite / V Soil ตั้งแต่ 0.04 -1.37 โดยใช้เปอร์เซ็นต์ความเข้มข้น ของเบนโทไนท์ เท่ากับที่ใช้ในโครงการนี้ คือ 7 % และทำการวัดพลังงานที่ใช้ปั่นดิน ตัวอย่างละ 3 ครั้ง แล้วนำมาหาค่าเฉลี่ย ได้ผลดังแสดงในตารางที่ 4.5 และรูปที่ 4.13 – 4.14

ตารางที่ 4.5 แสดงอัตราส่วนผสม และ Power consumption ของ ทราย ผสม เบนโทไนท์ ที่ส่วนผสมต่างๆ

Dry Sand 3000 g + Bentonite ( 7 % Concentrate )																	
Sample no.	PB1	PB2	PB3	PB4	PB5	PB6	PB7	PB8	PB9	PB10	PB11	PB12	PB13	PB14	PB15	PB16	PB17
Dry Sand	3000	3000	3000	3000	3000	3000	3000	3000	3000	3000	3000	3000	3000	3000	3000	3000	3000
Bentonite volume	0	50	100	150	200	300	400	500	600	700	850	1000	1100	1200	1300	1400	1550
V bent / Vsand	0.00	0.04	0.09	0.13	0.18	0.27	0.35	0.44	0.53	0.62	0.75	0.88	0.97	1.06	1.15	1.24	1.37
Water Content (%)	0.00	1.55	3.10	4.65	6.20	9.30	12.40	15.50	18.60	21.70	26.35	31.00	34.10	37.20	40.30	43.40	48.05
Power consumption(watt/min)																	
1 <sup>st</sup> Test	1.75	1.92	2.00	2.07	2.14	2.21	2.26	2.33	2.36	2.42	2.73	2.35	2.02	1.91	1.67	1.58	1.56
Power consumption(watt/min)																	
2 <sup>nd</sup> Test	1.74	1.90	2.02	2.10	2.16	2.27	2.23	2.33	2.37	2.57	2.77	2.33	1.98	1.80	1.76	1.59	1.54
Power consumption(watt/min)																	
3 <sup>rd</sup> Test	1.74	1.92	2.02	2.07	2.16	2.22	2.26	2.31	2.41	2.41	2.80	2.36	2.00	1.95	1.69	1.592	1.67
Power consumption(watt/min) average	1.74	1.91	2.01	2.08	2.15	2.23	2.25	2.32	2.38	2.47	2.77	2.34	2.00	1.88	1.70	1.59	1.59

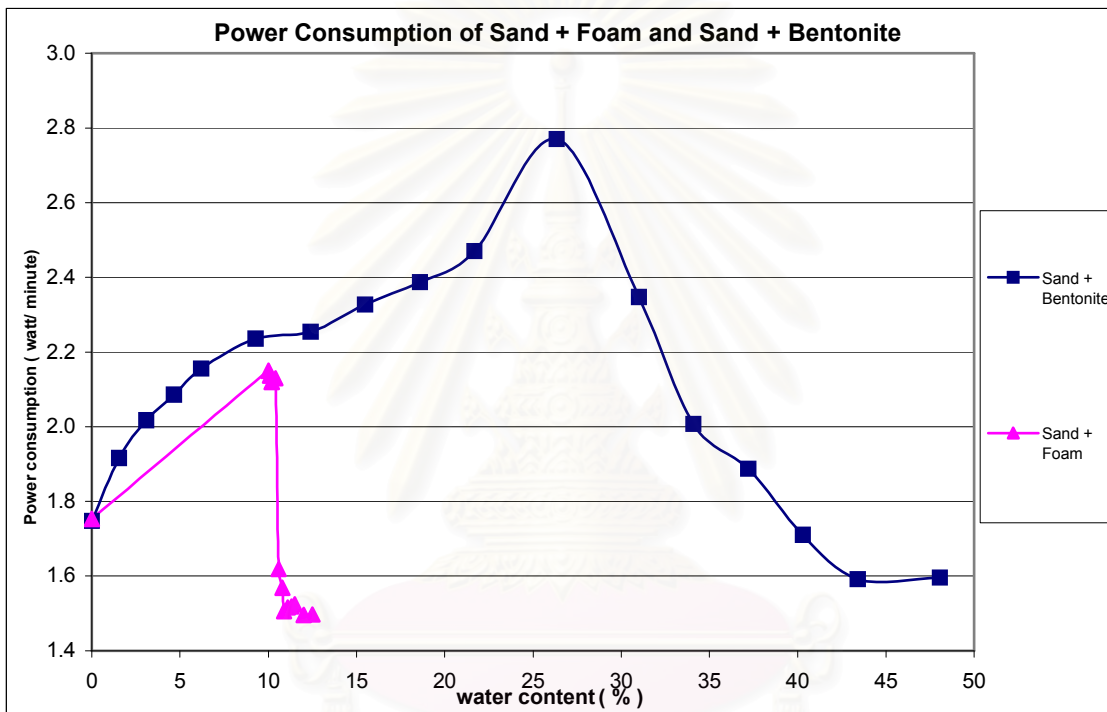


รูปที่ 4.13 แสดงความสัมพันธ์ ระหว่าง Power Consumption กับ ปริมาณ เบนโทไนท์ ที่ ผสมกับราย ที่อัตราส่วนต่างๆ

จากรูปที่ 4.13 จะเห็นว่าการเพิ่ม ปริมาณ เบนโทไนท์ ไม่เพียงแต่ไม่ช่วยลด ค่า Cutter Head Torque แล้ว แต่ยังทำให้ค่าพลังงานที่ใช้ปั่นดินสูงขึ้น โดยพลังงานเพิ่มขึ้นจาก 1.8 watt/min ไปถึง 2.7 watt/min ซึ่ง เพิ่มขึ้นถึง 50 % เลยก็ได้ แต่พอเพิ่มปริมาณ เบนโทไนท์จนถึงจุดๆ หนึ่ง พลังงานจึงเริ่มลดลงมา ซึ่ง ณ.จุดนั้น ค่า Water Content ของตัวอย่างเท่ากับ 27 % ซึ่งคิดมีสภาพ เป็น Saturated Sand ไปแล้ว ซึ่งถ้าดินอยู่ในสภาพ Saturated การควบคุม Face Pressure และ การ ดำเนินการออกจากหัวเจาะ จะทำได้ลำบากมาก

#### 4.1.3.3 การเปรียบเทียบ ค่า Power Consumption ของ ทราย ผสม โฟม กับ ทราย ผสม เบโนโทไนท์ ที่ Water Content ต่างๆ

ปัจจัย หนึ่งที่ถือว่าสำคัญ ในการควบคุมการขุดเจาะอุโมงค์ ให้ได้มีคุณภาพ คือ ค่า Water Content ที่เหมาะสม ของดินใน Soil Chamber เพราะ ค่า Water Content ที่สูงเกินไป จะทำให้การคำเลี่ยงดิน ออกจากหัวเจาะ ทำได้ลำบาก ซึ่งเมื่อทำการเปรียบเทียบ ค่า Power Consumption ของเครื่องปั้นดิน ที่ Water Content ต่างๆ ได้ผลการทดสอบ ดังรูปที่ 4.14



รูปที่ 4. 14 แสดง การเปรียบเทียบ Power Consumption ของ ทราย ผสม โฟม กับ ทราย ผสม เบโนโทไนท์ ที่ Water content ต่างๆ

จากรูปที่ 4.14. จะเห็นว่า โฟม สามารถลดพลังงานในการปั้นดิน ได้มากกว่า เบโนโทไนท์ โดยไม่ทำให้ค่า Power Consumption เพิ่มขึ้นเลย นับตั้งแต่ เริ่มใส่โฟม จากกราฟของโฟม ที่เห็นว่า พลังงานเพิ่มขึ้นจากจุดแรกไปจุดที่สองนั้น คือการเพิ่มปริมาณ น้ำ อย่างเดียวแต่หลังจากเริ่มเติม โฟม ไป พลังงาน จะลดลงเรื่อยๆ โดยค่า Water Content ของตัวอย่างทราย ผสม โฟม ที่จุดพลังงาน ต่ำสุดเท่ากับ 12.5 % ซึ่งเมื่อเปรียบเทียบกับตัวอย่างทราย ที่ผสม กับ เบโนโทไนท์ พลังงานจะเริ่มลดลง เมื่อค่า Water Content ของตัวอย่าง เท่ากับ 27 % และจะลดลงถึงจุดที่พลังงาน ใกล้เคียงกับจุดที่พลังงานที่ใช้ต่ำสุด ของตัวอย่าง โฟม ( 1.5 Watt/Min) เมื่อค่า Water Content ของตัวอย่าง มีค่าเท่ากับ 48 % ซึ่งจะเห็นว่าที่จุดที่ใช้พลังงานเท่ากัน ค่า Water Content ของตัวอย่าง ทรายผสม โฟม

กับ ราย ผสม เบน โท ไนท์ จะต่างกัน โดยสิ่ง เชิงค่า Water Content ถือว่า เป็นปัจจัยสำคัญ ที่จะ ทำให้ดินในหัวเจาะ มีค่า Plasticity ที่พอดีเหมาะสม สามารถ กระชาย Face Pressure ได้ดี และ ลำเลียง ดินออกจากหัวเจาะ โดยผ่าน Screw Conveyor ออกໄไปได้ง่าย และต่อเนื่อง เชิงดินจะต้องมีความหนืด เพียงพอ ไม่และ จนเกินไป

ที่อัตราส่วนของ เบน โท ไนท์ ซึ่งใช้กันทั่วไปใน งานอุโมงค์ คือ  $V \text{ bentonite} / V \text{ soil} = 0.22$  นั้น ค่า Power Consumption ประมาณ 2.2 Watt/Min ส่วนของไฟฟ้าที่ Water Content เดียว กันนั้น ค่า Power Consumption ประมาณ 1.6 Watt/Min นั้นก็คือค่า Water Content ที่เหมาะสมนั้น บน โท ไนท์ ไม่มีประโยชน์ต่อการลดพลังงานหัวเจาะ ส่วนจุดที่งานที่ใช้ต่ำนั้น ค่า Water Content ก็สูง เกินไป ไม่สามารถทำงานได้

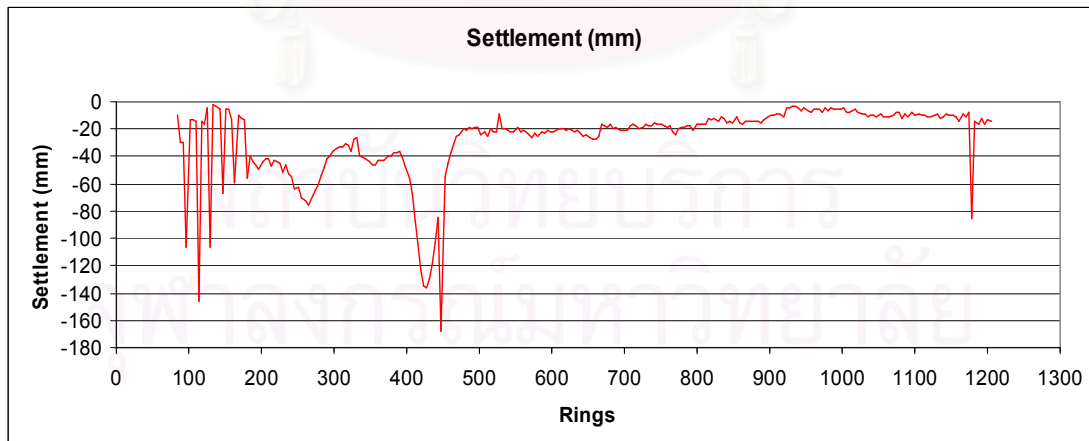
## สถาบันวิทยบริการ จุฬาลงกรณ์มหาวิทยาลัย

#### 4.2 การวิเคราะห์ข้อมูลจากสนาม ( Tunnel Boring Machine Record )

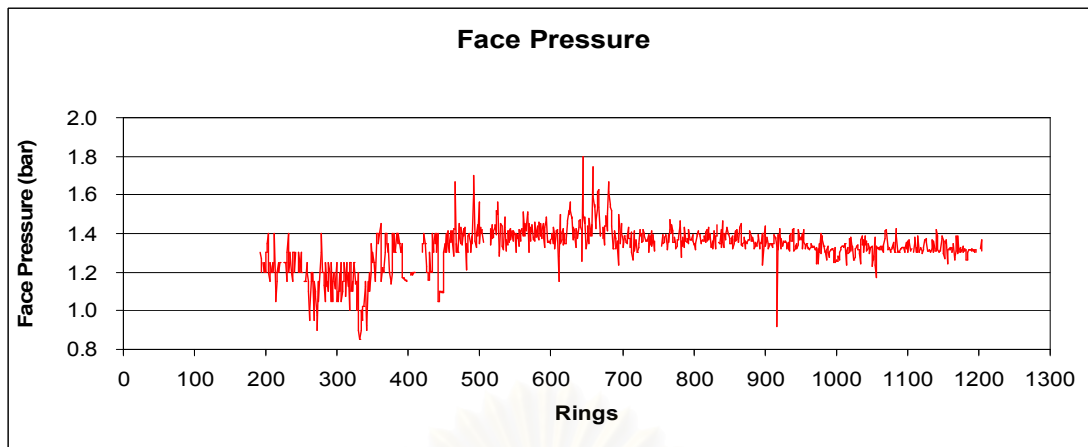
ข้อมูลหัวใจที่เก็บได้จากสนาม จะมีการทำบันทึกไว้ทุก Ring โดยแต่ละช่วงของการขุดจะอุ่นคง จะมีปัจจัยกระทบ หลายอย่าง ไม่เหมือนกัน เรึงจะทำการศึกษา วิเคราะห์ ว่าแต่ละปัจจัย มีผลต่อ ค่า TBM Record อย่างไรบ้าง โดยในการวิเคราะห์ นี้ เราจะใช้ข้อมูลที่ได้จากการทดสอบในห้องปฏิบัติการ มาช่วยวิเคราะห์ด้วย เพื่อให้เข้าใจพฤติกรรม ของдин ในหัวใจ EPB มากขึ้นโดย ค่า TBM Record ที่จะทำการศึกษาประกอบ ไปด้วย

- Surface Settlement
- Face Pressure
- Cutter Torque
- Penetration Rate
- Screw conveyer speed
- Push Pressure
- Articulate Pressure

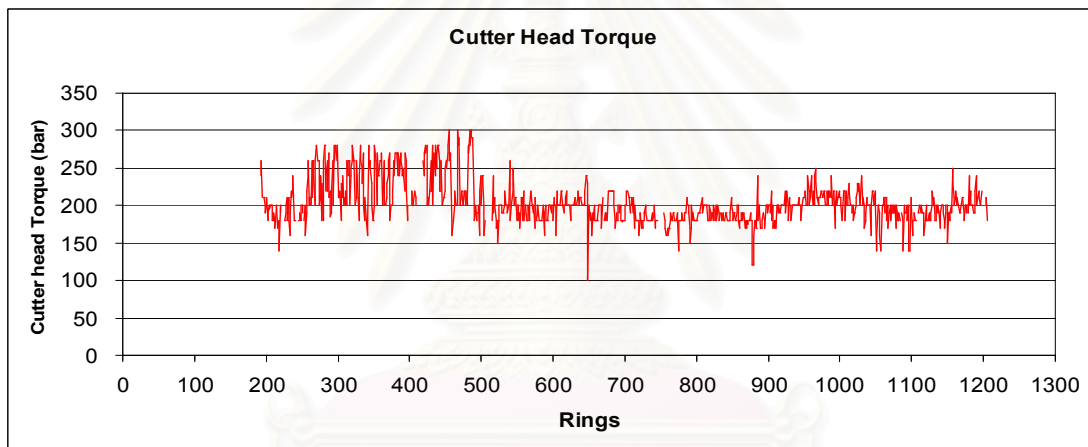
โดยข้อมูล TBM Record ที่นำมาศึกษา ใช้ตั้งแต่ Ring No. 192 – Ring No. 1205 หรือ Station 0+120 – Station 1+437 ดังแสดงในรูปที่ 4.15(a) – 4.15 (g)



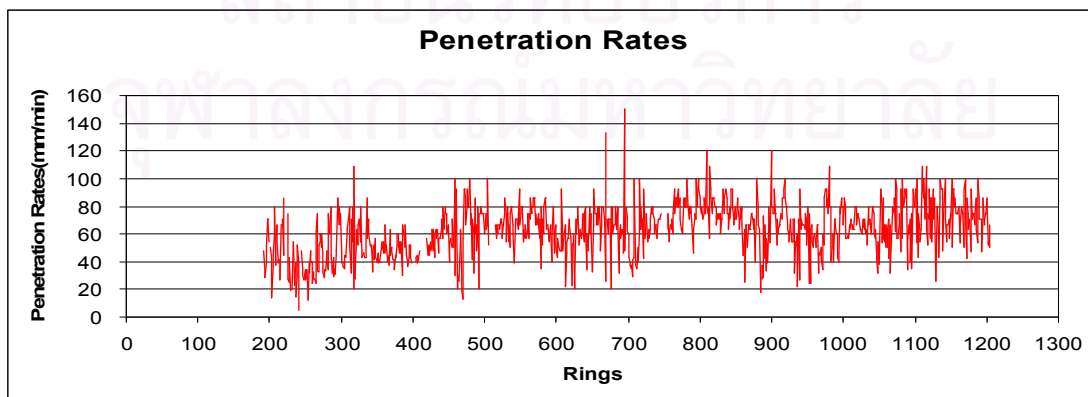
รูปที่ 4.15 (a) ค่า Ground Surface Settlement (mm) ที่ Ring No. 192 – Ring No. 1205



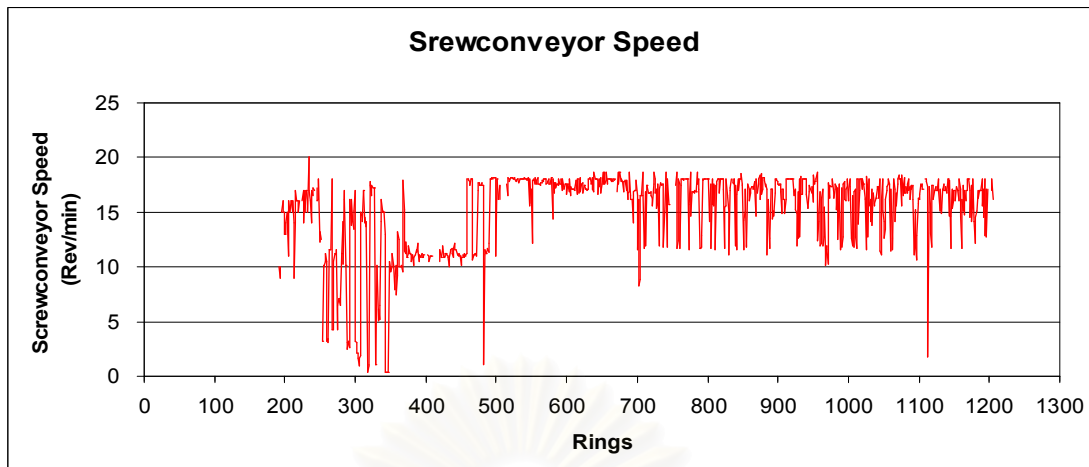
รูปที่ 4.15 (b) ค่า Face Pressure ( Bar) ที่ Ring No. 192 – Ring No. 1205



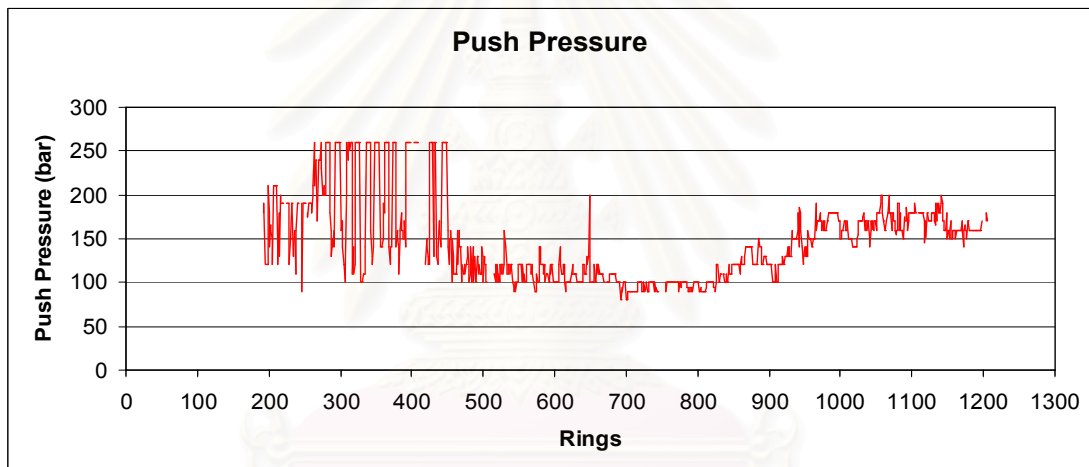
รูปที่ 4.15 (c) ค่า Cutter Head Torque ( Bar) ที่ Ring No. 192 – Ring No. 1205



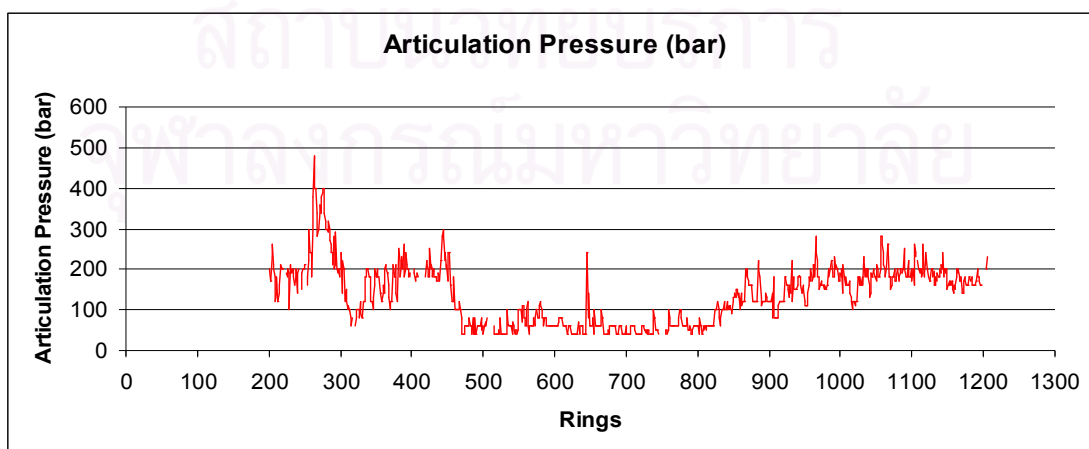
รูปที่ 4.15 (d) ค่า Penetration Rate (minute) ที่ Ring No. 192 – Ring No. 1205



ຮູບທີ 4.15 (e) ດ້ວຍ Screwconveyor Speed (Rev / minute) ທີ່ Ring No. 192 – Ring No. 1205



ຮູບທີ 4.15 (f) ດ້ວຍ Push Pressure (Bar) ທີ່ Ring No. 192 – Ring No. 1205



ຮູບທີ 4.15 (g) ດ້ວຍ Articulate Pressure (Bar) ທີ່ Ring No. 192 – Ring No. 1205

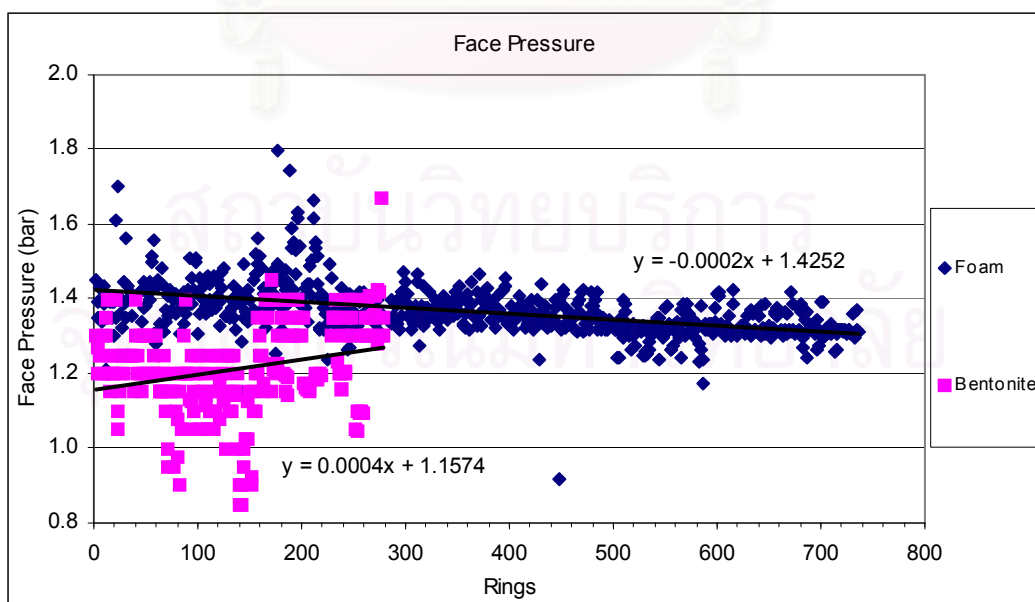
โดยปัจจัยกระทบ ที่จะทำการศึกษา แบ่งออกเป็น 4 อย่างคือ

- การใช้ เบนโทไนท์ เป็นสารผสมเพิ่ม ในการขุดเจาะอุโมงค์
- การใช้ โฟม เป็นสารผสมเพิ่ม ในการขุดเจาะอุโมงค์
- การขุดเจาะอุโมงค์ในทางตรง
- การขุดเจาะอุโมงค์ในทางโค้ง

โดยช่วงแรกที่ทำการขุดเจาะอุโมงค์ ทางโครงการได้ใช้ เบนโทไนท์ เป็นสารผสมเพิ่ม ซึ่งเกิดปัญหาทางด้าน ค่า Ground Surface Settlement จึงเปลี่ยน มา ใช้ โฟมแทน โดย เริ่มใช้ โฟมที่ Station ประมาณ 0+570 ( Ring No. 470 ) เป็นต้นไป ส่วนการขุดเจาะอุโมงค์ ในทางตรง และในทาง โค้งจะมีสลับกัน ไปเรื่อยๆ ตลอดเส้นทางขุดเจาะ

#### 4.2.1 การศึกษาปัจจัยกระทบ ที่มีต่อ Face Pressure โดยเปรียบเทียบ ช่วงที่ ใช้โฟม กับ ช่วงที่ใช้เบนโทไนท์ เป็นสาร ผสมเพิ่ม

ค่า Face Pressure ถือว่าเป็น ตัวแปร ที่สำคัญมากในการขุดเจาะอุโมงค์ ด้วยวิธี EPB เนื่องจากมีผลต่อค่า Ground Surface Settlement โดยตรง ซึ่งโดยทั่วไปจะต้องพยากรณ์รักษาค่า Face Pressure ให้เท่ากับ ค่า At Rest Pressure โดยค่า Face Pressure ที่แนะนำในขั้นราย ของโครงการนี้ ที่ค่าประมาณ 1.5 bar ในคืนแข็งประมาณ 1.0 bar และ Acceptance Criteria of Face Pressure =  $\pm 0.2$  bar โดยเมื่อนำค่า Face Pressure ตั้งแต่ Ring No. 192 – Ring No. 1205 มาพล็อตกราฟ โดยแบ่ง ปัจจัย กระทบ ออกเป็น 2 อย่าง คือ ช่วงที่ใช้ โฟม กับ ช่วง ที่ใช้เบนโทไนท์ เป็นสารผสมเพิ่ม ได้ผลดังแสดงในรูปที่ 4.16

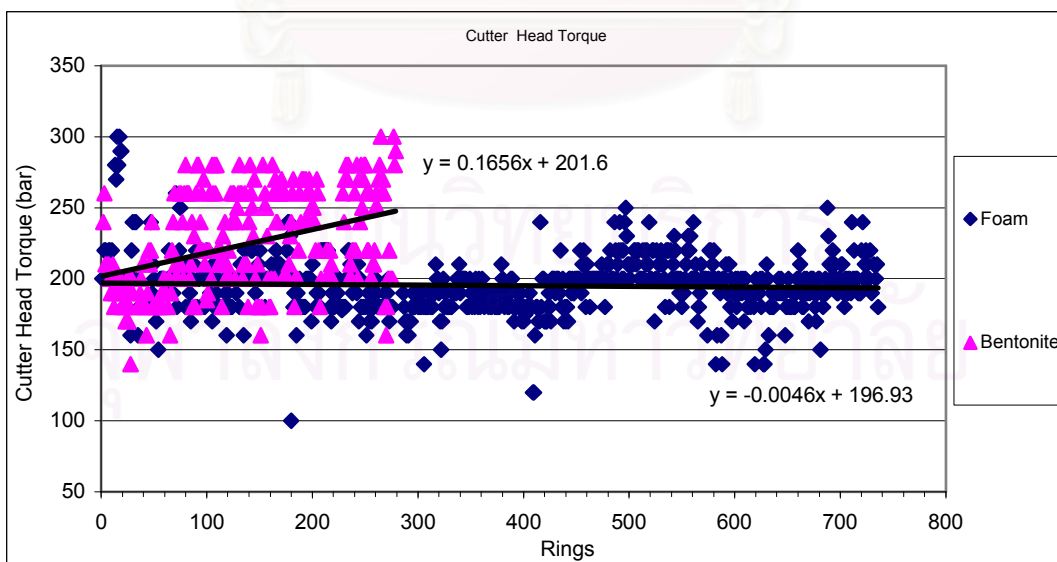


รูปที่ 4.16 เปรียบเทียบ ค่า Face Pressure (bar) ที่ Ring ต่างๆ ของช่วงที่ใช้ โฟม กับ ช่วงที่ใช้เบนโทไนท์ เป็นสารผสมเพิ่ม

จากรูปที่ 4.16 จะเห็นว่าช่วงที่มีการใช้ โฟม เป็นสารผสมเพิ่มค่า Face pressure จะมีค่าที่คงที่มากกว่า เบนโทไนท์ มีการกระจายตัวของ Face pressure น้อยกว่า โดย โฟมจะมีการกระจายตัวของ Face pressure ตั้งแต่ 1.3 – 1.5 bar แต่ เบนโทไนท์ จะมีการกระจายตัว ของ Face Pressure ก่อนข้างมาก ตั้งแต่ 0.9 - 1.4 bar แสดงถึงว่า การควบคุม Face pressure สามารถ ทำได้ดีกว่าการใช้ เบนโทไนท์มาก ซึ่งจากผลการทดสอบหาค่า Compressibility ที่ทำได้ทำไว้ จะเห็นว่า ค่า Compressibility ของ ราย ผสม โฟม จะมีค่า Compressibility ที่สูงกว่ารายปกติ และ รายผสม เบนโทไนท์ มาก ซึ่งแสดงถึงว่า ดินใน Soil Chamber ที่ผสมกับ โฟม จะมีความ นุ่ม มีสภาพลักษณะนิ่มและมีความยืดหยุ่น ใน การทำงาน สูงกว่า สามารถกระจายแรงดันได้ นุ่มนวล ( Smooth ) กว่า และทำให้ ค่า Pressure ใน Soil Chamber จะมีความเสถียร ( Consistency) มากกว่า ซึ่งการที่สามารถควบคุม Face pressure ได้ดี จะส่งผลที่ดีต่อค่า Ground surface Settlement ด้วย

#### 4.2.2 การศึกษาปัจจัยระบบที่มีต่อ Cutter Head Torque โดยเปรียบเทียบ ช่วงที่ใช้ โฟม กับ ช่วงที่ใช้เบนโทไนท์ เป็นสาร ผสมเพิ่ม

ค่า Cutter Head Torque เป็นตัวแปรหนึ่งที่ แสดงถึงสภาพเดินหน้าหัวเจาะ ถ้าเดินหน้าหัวเจาะมีความ แน่น หรือ เหนียว มาก จะทำให้ ค่า Torque สูง ซึ่ง สามารถลดค่า Torque ได้ โดยการใช้สารผสมเพิ่ม ทำให้เดินหน้าหัวเจาะ ลื่นขึ้น หรือ มี Void Ratio เพิ่ม ขึ้น ซึ่งเมื่อนำข้อมูล Ring ต่างๆ มาพล็อต โดยแยกเป็น ช่วงที่ใช้ โฟม กับ ช่วงที่ใช้ เบนโทไนท์ ได้ผลดังแสดงในรูปที่ 4.17

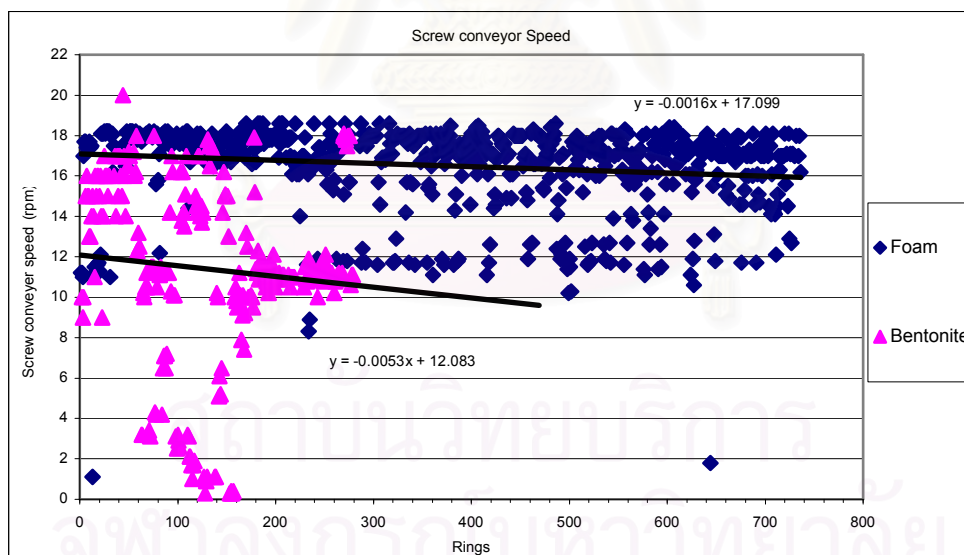


รูปที่ 4.17 เปรียบเทียบ ค่า Cutter Head Torque(bar) ที่ Ring ต่างๆ ของช่วงที่ใช้ โฟม กับ ช่วงที่ใช้ เบนโทไนท์ เป็นสารผสมเพิ่ม

จากรูปที่ 4.17 จะเห็นว่า ค่า Cutter Head Torque ช่วงที่ใช้โฟมเป็นสารผสมเพิ่ม จะมีค่า ต่ำ กว่า ช่วงที่ใช้ เบนโทไนท์ คือ มีค่า ประมาณ 140 – 220 bar เหลี่ยอยู่ที่ 200 bar ในขณะที่ เบนโทไนท์ มีค่าประมาณ 180 – 280 bar เหลี่ยอยู่ที่ 240 bar จะเห็นว่า โฟมนี้ส่วนช่วย ในการลด Cutter Head Torque ลง ได้มากซึ่ง ตรงกับผลการทดลอง Power Consumption Test ที่พลังงานที่ใช้ปั่นดิน ของรายผสม กับ โฟมนี้ มีค่า น้อยกว่า ราย ผสมกับเบนโทไนท์มาก น่าจะมีสาเหตุมาจากการ โฟม ทำให้ Void Ratio ของดิน เพิ่มขึ้นมาก และ ทำให้แรงยึดเหนี่ยว ระหว่าง เม็ดดิน ลดลง

#### 4.2.3 การศึกษาปัจจัยกระทบ ที่มีต่อ Screw Conveyor Speed โดยเปรียบเทียบ ช่วงที่ใช้โฟม กับ ช่วงที่ใช้เบนโทไนท์ เป็นสาร ผสมเพิ่ม

ค่า Screw Conveyor Speed คือความเร็วรอบของ สายพานลำเลียงดินที่ใช้ ลำเลียงดินออก จาก Soil Chamber โดยทั่วไป แล้วจะสัมพันธ์ กับปริมาณ ดินชุดที่เข้ามาทางด้านหน้าหัวเจาะ คือ ปริมาณดินออกจากหัวเจาะ ต้องเท่ากับ ปริมาณดินเข้าสู่หัวเจาะ และเมื่อนำข้อมูลที่ Ring No. ต่างๆ มา พล็อตกราฟ โดยแยกเป็นช่วงใช้โฟม กับ ใช้เบนโทไนท์ เป็นสารผสมเพิ่ม ได้ผลดังแสดงในรูป ที่ 4.18



รูปที่ 4.18 เปรียบเทียบ ค่า Screw Conveyor Speed (Round/Minute , rpm) ที่ Ring ต่างๆ ของช่วงที่ใช้ โฟม กับช่วงที่ใช้เบนโทไนท์ เป็นสารผสมเพิ่ม

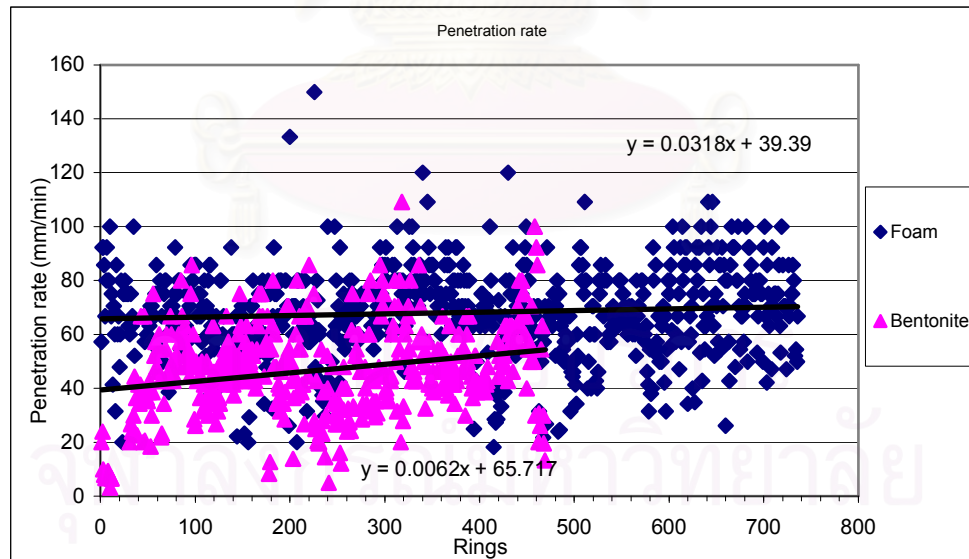
จากรูป ที่ 4.18 จะเห็นว่าช่วงที่ใช้โฟมเป็นสารผสมเพิ่ม ค่า Screwconveyor Speed จะสูง และคงที่ กว่าช่วงที่ใช้ เบนโทไนท์ เนื่องมาจาก ดินที่ ผสม กับ โฟม จะมีค่า Water content น้อย เพราะว่าส่วนประกอบหลัก กว่า 90 % ของ โฟมคือ อากาศ มีน้ำเพียง 10 % ทำให้ดินมีความหนืดที่

หมายเหตุว่า โดย โฟมจะทำการเรียงอนุภาคเม็ดคินใหม่ ให้กระจายออกจากกัน และ เกาะกันเป็นกลุ่มก้อน โดย มี โฟมเป็นตัวชี้ดัด ทำให้คิน “ไม่เหนียวจันเกินไป และ “ไม่เละจนเกินไป” สามารถลำเลียง ผ่าน Screw Conveyor ได้ รวดเร็ว และต่อเนื่อง ส่วน คินที่ผสมกับ เบนโทไนท์ จะมีสภาพค่อนข้างละเอียด เพราะส่วนประกอบหลัก กว่า 90 % ของเบนโทไนท์ คือ น้ำ ทำให้การลำเลียง คินออก จาก หัวเจาะ ด้วย Screw Conveyer ทำได้ลำบาก เพราะคินจะ “ไม่มีความหนืดเพียงพอ”

#### 4.2.4 การศึกษาปัจจัยกระทบ ที่มีต่อ Penetration Rate โดยเปรียบเทียบ ช่วงที่ ใช้โฟม กับ ช่วงที่ ใช้เบนโทไนท์ เป็นสาร ผสมเพิ่ม

ค่า Penetration Rate คือ อัตราการเคลื่อนที่ของหัวเจาะ มีหน่วยเป็น mm/minute โดยทั่วไปสามารถคำนวณได้จาก เวลาที่ใช้ในการขันเคลื่อนหัวเจาะ รวม กับ การติดตั้ง Segment 1 วง หารด้วยความกว้างของ Segment วงนั้น ค่า Penetration Rate นี้ แสดงถึง ประสิทธิภาพในการขุดเจาะอุโมงค์ โดยทั่วไปถ้าไม่มีปัญหาอะไรแล้ว Segment 1 วง ( 1200 mm ) ควรใช้เวลาขุดเจาะ “ไม่เกิน 20 นาที ซึ่งก็ขึ้นอยู่กับ ความสามารถของผู้ควบคุมหัวเจาะ (Shield Operator) ด้วย โดยเมื่อทำการเปรียบเทียบ ค่า Penetration Rate ช่วงที่ใช้โฟม กับ ช่วงที่ใช้ เบนโทไนท์ ได้ผลดังแสดงในรูปที่

4.19



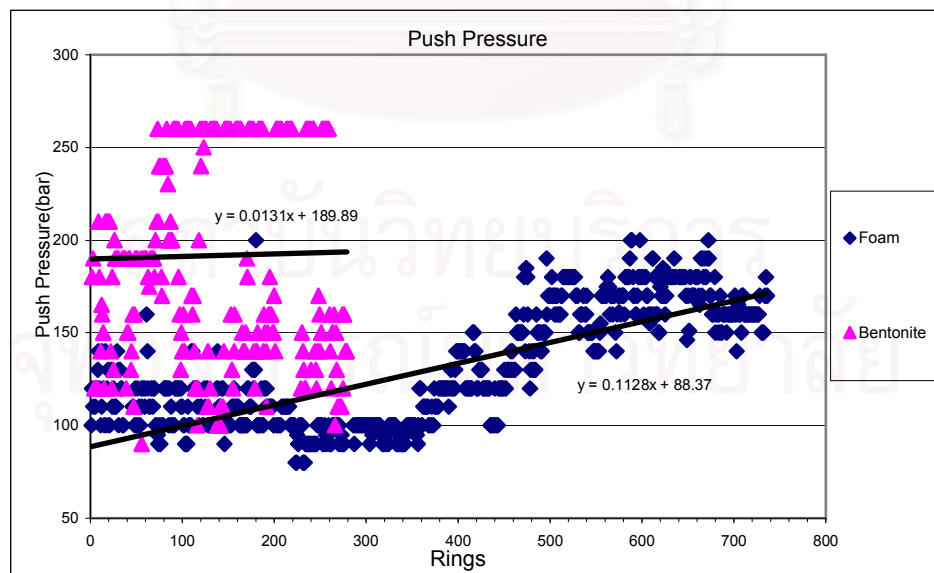
รูปที่ 4.19 เปรียบเทียบ ค่า Penetration Rate (mm/Minute) ที่ Ring ต่างๆ ของช่วงที่ใช้ โฟม กับ ช่วงที่ใช้เบนโทไนท์ เป็นสารผสมเพิ่ม

จากรูปที่ 4.19 จะเห็นว่าช่วงที่มีการใช้ โฟมเป็นสารผสมเพิ่ม ค่า Penetration Rate โดยเฉลี่ยจะสูงกว่า ช่วงที่ใช้เบนโทไนท์ โดยช่วงที่ใช้โฟมจะมีค่า Penetration Rate ประมาณ 30 – 100

mm/min เคลื่อนที่ประมาณ 70 mm/min นั่นคือ Segment 1 วงกว้าง 1200 mm ใช้เวลาขับเคลื่อนหัวเจาะประมาณ 17 นาที ในขณะที่ ช่วงใช้เบนโทไนท์มีค่า Penetration Rate ประมาณ 10 – 80 mm/min เคลื่อนที่ประมาณ 40 mm/min จะใช้เวลาขับเคลื่อนหัวเจาะ ต่อ Segment 1 วง ประมาณ 30 นาที ซึ่งเวลาในการขุดเจาะที่นานกว่า นี้ จะทำให้คิดต้องยื่นหน่อหัวเจาะ บริเวณ Tail Void ที่เกิดจากการ Over Cutting นั้น เกิดการทรุดตัวลงมาได้ ซึ่ง โดยทั่วไป บริเวณท้ายหัวเจาะจะทำการ อม Segment ที่เพิ่งติดตั้งไว้ 1 วง ยาวประมาณ 1.2 m ซึ่ง Segment วงนี้จะยังไม่สามารถทำการ Grout ปูนได้ต้องรอจนกว่า หัวเจาะจะเคลื่อนที่ไปข้างหน้า แล้ว Segment วงนั้นพ้น ท้ายหัวเจาะ ( Shield Tail) ออกไปเสียก่อน จึงจะทำการ Grout ปูนได้ เพราะจะนั่นการที่ ค่า Penetration Rate ต่ำนี้ แสดงว่าหัวเจาะเคลื่อตัวไปข้างหน้าได้ช้า การ Grout ปูน บริเวณท้ายหัวเจาะก็จะทำได้ช้า ทำให้คิดบริเวณ ท้ายหัวเจาะ มีเวลาในการทรุดตัวมากขึ้น ซึ่งถือเป็นปัจจัยสำคัญต่อค่าการทรุดตัวที่ผิด din

#### 4.2.5 การศึกษาปัจจัยกระบวนการ ที่มีต่อ Push Pressure โดยเปรียบเทียบ ช่วงที่ ใช้โฟม กับ ช่วงที่ใช้เบนโทไนท์ เป็นสาร ผสมเพิ่ม

ค่า Push Pressure คือแรงดันรวมของ Thrust Jack แต่ละตัว รวมกันแล้วหารด้วย พื้นที่หน้าตัดหัวเจาะ ค่า Push Pressure โดยทั่วไปแล้วจะสัมพันธ์ กับ สภาพดินที่อยู่ บริเวณ ด้านหน้า และ รอบๆ หัวเจาะ ว่ามีความแน่น และ แรงเสียดทานมากแค่ไหน ซึ่งเมื่อนำข้อมูล โดยแยกเป็นกรณีที่ใช้ โฟม และ ใช้เบนโทไนท์ ได้ผลดังแสดงในรูปที่ 4.20

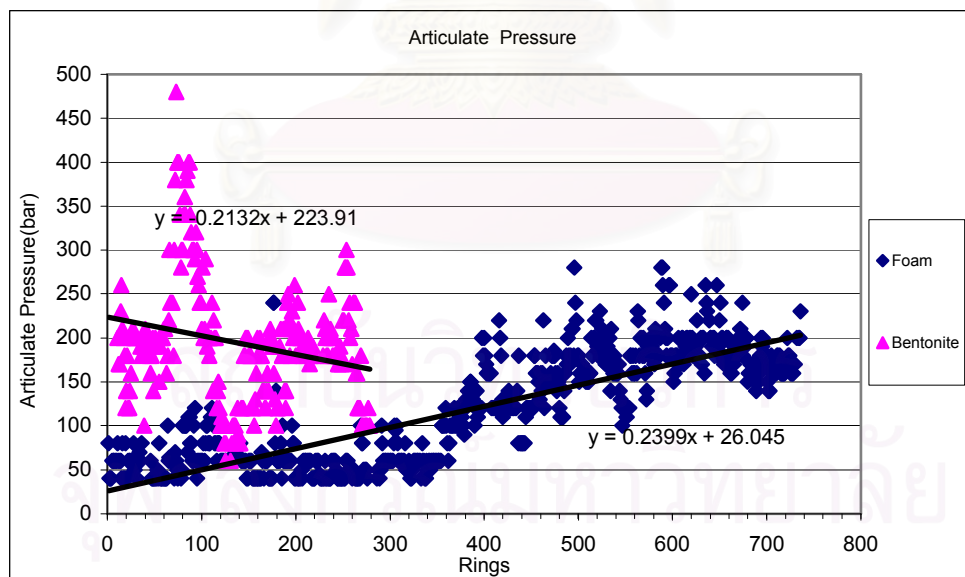


รูปที่ 4.20 เปรียบเทียบ ค่า Push Pressure ที่ Ring ต่างๆ ของช่วงที่ใช้ โฟม กับ ช่วงที่ใช้เบนโทไนท์ เป็นสารผสมเพิ่ม

จากรูปที่ 4.20 จะเห็นว่าช่วงที่ใช้ โฟม เป็นสารผสมเพิ่ม ค่า Push Pressure จะต่ำกว่าช่วงที่ใช้เบนโทไนท์ ช่วงที่ใช้ โฟมค่า Push pressure จะอยู่ระหว่าง 80 – 200 bar ส่วนช่วงที่ใช้ เบนโทไนท์ ค่า Push pressure จะอยู่ระหว่าง 90 – 260 bar โดยมีจุดที่น่าสังเกตคือช่วงที่ใช้ เบนโทไนท์ ถึงแม้ว่าค่า Push pressure จะสูง แต่ค่า Face pressure ที่เกิดขึ้นกับตัว ตรงกันข้ามกัน ช่วงที่ใช้ โฟมที่ค่า Push pressure ต่ำ แต่ค่า Face pressure ที่เกิดขึ้น สูงกว่าช่วงที่ใช้ เบนโทไนท์ แสดงถึงว่า การใช้ โฟม ทำให้ดินใน Soil chamber สามารถ กระเจยแรงดัน จาก Thurst Jack ผ่าน Soil Chamber ไปสู่ Cutting Face ได้ดีกว่า โดยสูญเสียพลังงานที่ใช้ (Push pressure) น้อยกว่า

#### 4.2.6 การศึกษาปัจจัยกระบวนการ ที่มีต่อ ค่า Articulate Pressure โดยเปรียบเทียบ ช่วงที่ ใช้ โฟม กับ ช่วงที่ ใช้ เบนโทไนท์ เป็นสาร ผสมเพิ่ม

ค่า Articulate Pressure คือแรงดันที่ใช้ในการ บังคับทิศทางหัวเจาะ ถ้าขับเคลื่อนในทางตรงจะมี วิธีการทำงานคล้าย Thurst Jack แต่ถ้าขับเคลื่อนในทาง โค้ง จะมีระยะยืดตัวของ Articulate Jack แต่ ลดตัวไม่เท่ากัน ค่า Articulate Pressure โดยทั่วไปแล้วจะสัมพันธ์ กับ Push Pressure โดยตรง ซึ่ง เมื่อนำข้อมูลมาเปรียบเทียบช่วงที่ใช้ โฟม กับ ใช้ เบนโทไนท์ ได้ผลดังแสดงในรูปที่ 4.21

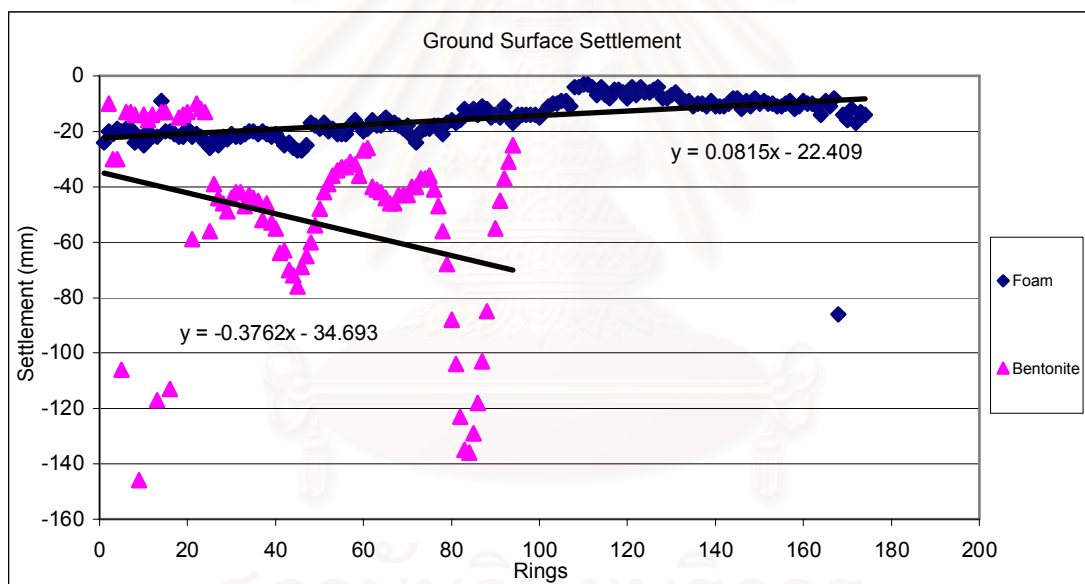


รูปที่ 4.21 เปรียบเทียบ ค่า Articulate pressure ที่ Ring ต่างๆ ของช่วงที่ใช้ โฟม กับ ช่วงที่ ใช้ เบนโทไนท์ เป็นสาร ผสมเพิ่ม

จาก รูปที่ 4.21 จะเห็นว่า ค่า Articulate pressure จะมีแนวโน้มคล้ายกับค่า Push pressure คือช่วงที่ใช้ โฟม จะต่ำกว่าช่วงที่ใช้เบนโทไนท์ ด้วยเหตุผลเดียวกันกับค่า Push pressure คือ ช่วงที่ใช้โฟมการส่งผ่าน pressure ผ่าน Soil chamber มีประสิทธิภาพมากกว่า สามารถควบคุมค่า Face pressure ตามที่ต้องการได้ง่ายกว่า จึงไม่จำเป็นต้องใช้ค่า Articulate pressure และ Push pressure ที่สูงนัก

#### 4.2.7 การศึกษาปัจจัยระบบ ที่มีต่อค่า Ground Surface Settlement โดยเปรียบเทียบ ช่วงที่ใช้ โฟม กับ ช่วงที่ใช้เบนโทไนท์ เป็นสาร ผสมเพิ่ม

สาเหตุสำคัญที่ต้องมีการเปลี่ยน การใช้ผสมเพิ่ม จาก เบนโทไนท์ มาเป็น ใช้ โฟม แทน ก็คือ ค่า Ground Surface Settlement เพาะะช่วงแรกที่มีการใช้ เบนโทไนท์ มีค่าทรุดตัวที่ผิวดินสูงถึง 140 mm จึงต้องเปลี่ยนมาใช้ โฟม แทน ซึ่ง เมื่อนำข้อมูลมาเปรียบเทียบกันจึง ได้ผลดังแสดงในรูปที่ 4.22



รูปที่ 4.22 เปรียบเทียบ ค่า Ground Surface Settlement ที่ Ring ต่างๆ ของช่วงที่ใช้ โฟม กับ ช่วงที่ใช้เบนโทไนท์ เป็นสารผสมเพิ่ม

จากรูปที่ 4.22 จะเห็นว่าช่วงที่มีการใช้โฟม เป็นสารผสมเพิ่มมีค่า Ground Surface Settlement น้อยกว่าช่วงที่ใช้เบนโทไนท์ มาก ช่วงที่ใช้โฟมนี้ ค่าการทรุดตัวที่ผิวดินไม่เกิน 20 mm. ส่วนช่วงที่ใช้เบนโทไนท์ มีค่าทรุดตัวตั้งแต่ 30 – 140 mm. ซึ่งค่าการทรุดตัวที่สูงมากนี้เอง เป็นสาเหตุให้มีการเปลี่ยนสารผสมเพิ่มจาก เบนโทไนท์ มาเป็น โฟม ซึ่งก็ใช้ได้ผลดี ค่าการทรุดตัวลดลงมาก สาเหตุ หลักๆ น่าจะมาจาก 2 อายุคือ

1 ) ค่า Face pressure ของช่วงที่ใช้โฟม สามารถควบคุมได้ดีกว่า ทำให้ได้ค่า Face pressure ตามที่ต้องการ ทำให้ทำงานง่าย และต่อเนื่อง เวลาที่ใช้ในการขุดเจาะต่อ Segment1 วงก์น้อยลง ทำให้เกิดการทรุดตัวน้อย และ ที่สำคัญคือ ค่า Face pressure ที่สม่ำเสมอ得多 ทำให้คืนถุกรบกวน(Disturb) น้อยกว่า ทำให้ค่า Modulus ของดินเปลี่ยนแปลงน้อยกว่า ช่วงที่ใช้เบนโทไนท์ ซึ่งค่า Face pressure จะขึ้นๆ ลงๆ ตลอดเวลา ทำให้คืนถุกรบกวนมาก ทำให้เกิดการทรุดตัวที่ผิดคันมากนั่นเอง

2) ค่า Penetration Rate ช่วงที่ใช้โฟม ค่า Penetration Rate จะสูงกว่า ช่วงที่ใช้เบนโทไนท์มาก โดย ช่วงที่ใช้โฟม จะใช้เวลาในการขุด ประมาณ 17 นาทีต่อ 1 วงศ์ ขณะที่ ช่วงที่ใช้เบนโทไนท์ จะใช้เวลาในการขุดเจาะประมาณ 30 นาที ต่อ วงศ์ เหลือที่เดียว ระยะ เวลาที่นานนี้ ทำให้คืนบริเวณท้ายหัวเจาะ( Shield Tail ) ที่ยังไม่ได้ทำการ Grout ปูน เกิดการทรุดตัวลงมาได้ ทำให้เกิด Ground Surface Settlement ที่สูง

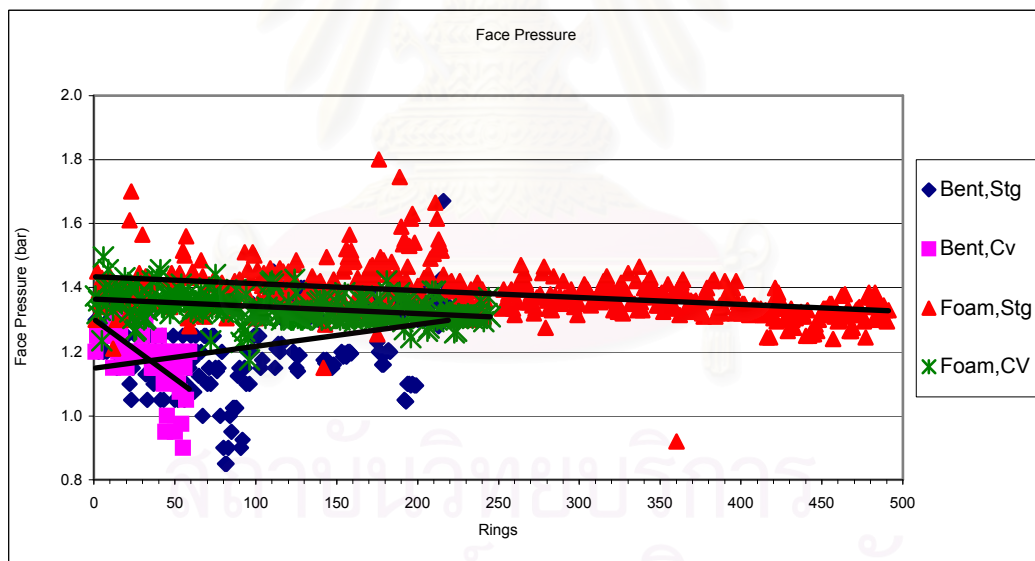
## สถาบันวิทยบริการ จุฬาลงกรณ์มหาวิทยาลัย

#### 4.2.8 การศึกษาปัจจัยกระทบต่อหัวเจาะช่วงที่อุ่นคงคือสู่ในทางตรง และช่วงอุ่นคงเข้าโค้ง

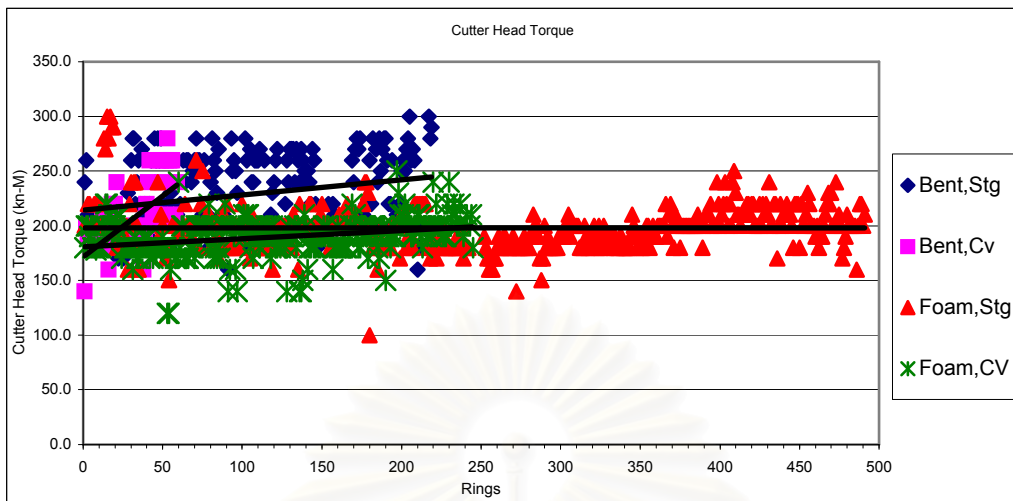
เมื่อนำข้อมูล TBM Record มาศึกษา โดยเปรียบเทียบช่วงที่อุ่นคงคือสู่ในทางตรง (Straight Route) และ อุ่นคงคือสู่ในทางโค้ง (Curve Route) และ เพื่อให้เห็นผลชัดเจนดังนี้ แยกการใช้สารเคมีเพิ่มระหว่าง โฟม และ เบนโทไนท์ ด้วยแบ่งออกเป็น 4 กรณี คือ

- 1) ใช้เบนโทไนท์ และ ชุดเจาะอุ่นคง ในทางตรง (Bent,Stg)
- 2) ใช้เบนโทไนท์ และ ชุดเจาะอุ่นคง ในทางโค้ง (Bent,Cv)
- 3) ใช้โฟม และ ชุดเจาะอุ่นคง ในทางตรง (Foam,Stg)
- 4) ใช้โฟม และ ชุดเจาะอุ่นคง ในทางโค้ง (Foam,Cv)

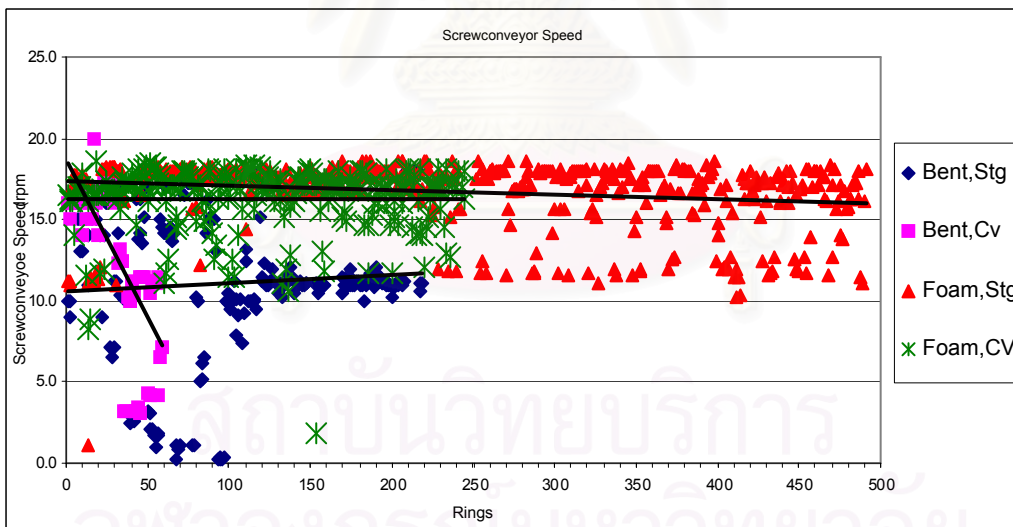
โดยจะเปรียบเทียบค่า TBM Record ทุกรายตัว Face Pressure , Cutter Head Torque, Screwconveyor Speed , Penetration Rate, Push Pressure , Articulate Pressure , Ground Surface Settlement ซึ่งได้ผลดังแสดงในรูปที่ 4.23 – รูปที่ 4.29



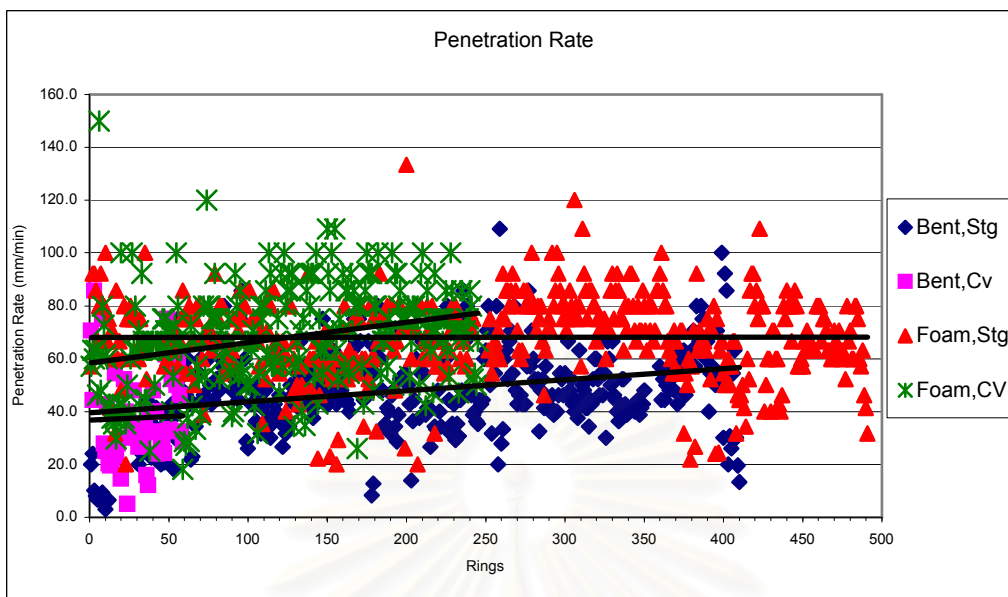
รูปที่ 4.23 เปรียบเทียบ ค่า Face Pressure ที่ Ring ต่างๆ ของช่วงอุ่นคงคือสู่ในทางตรง(Stg) และ ช่วงที่อุ่นคงเข้าโค้ง(Cv)



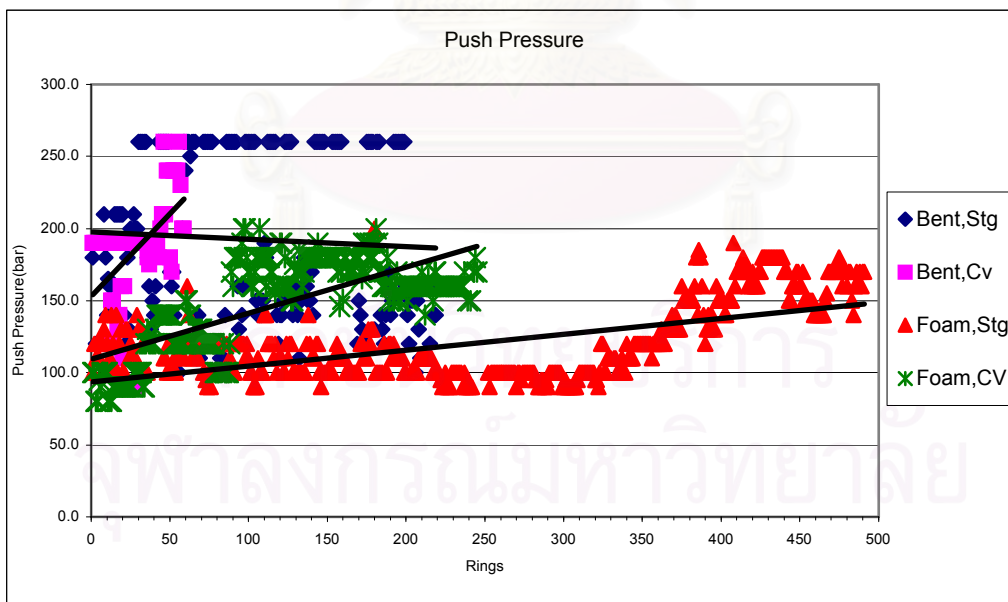
รูปที่ 4.24 เปรียบเทียบ ค่า Cutter Head Torque ที่ Ring ต่างๆ ของช่วงอุโมงค์อยู่ในทางตรง(Stg) และ ช่วงที่อุโมงค์ เข้าโค้ง(Cv)



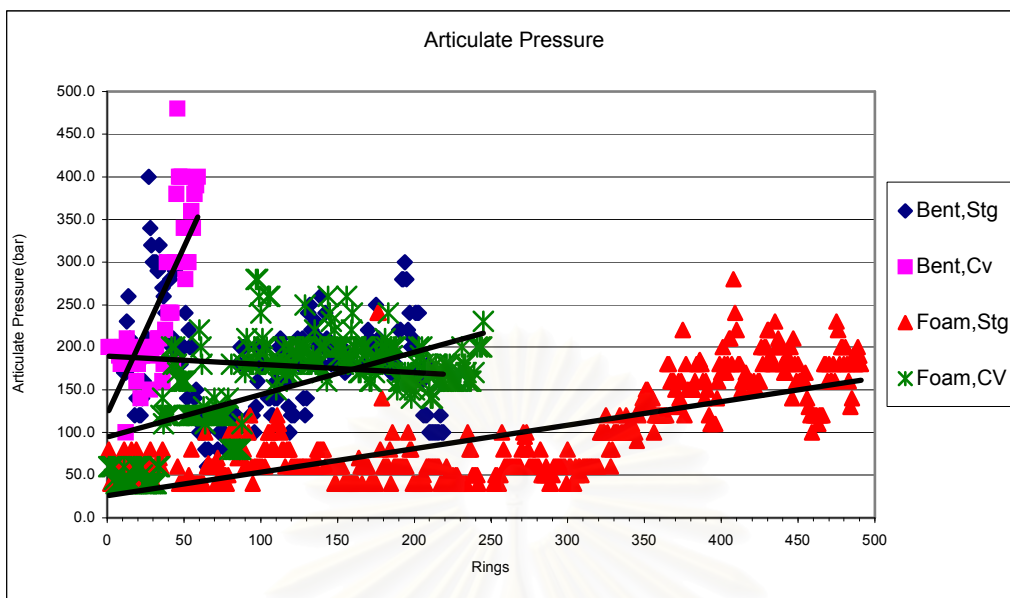
รูปที่ 4.25 เปรียบเทียบ ค่า Screwconveyor Speed ที่ Ring ต่างๆ ของช่วงอุโมงค์อยู่ในทางตรง(Stg) และ ช่วงที่อุโมงค์ เข้าโค้ง(Cv)



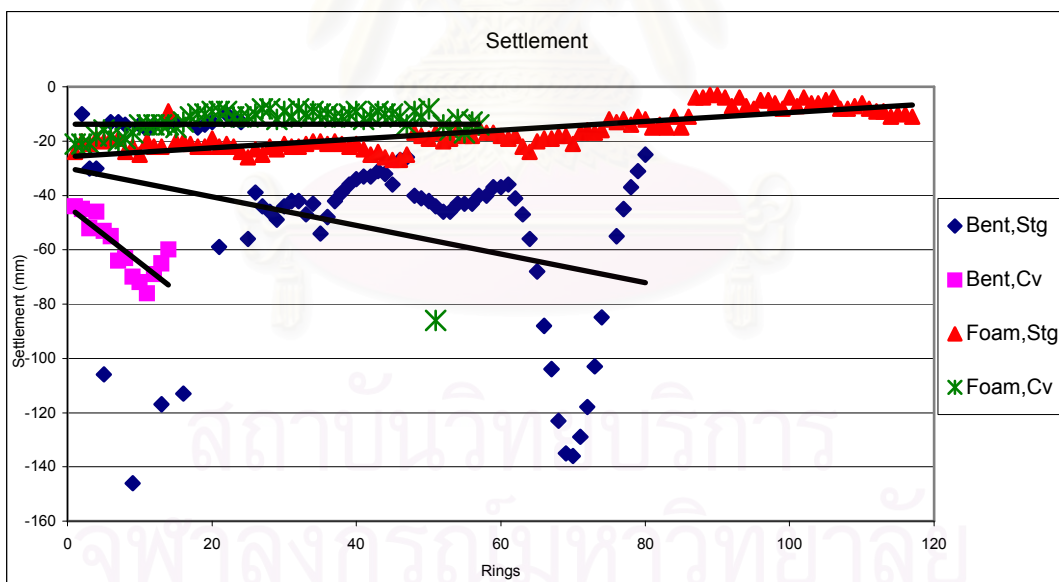
รูปที่ 4.26 เปรียบเทียบ ค่า Penetration Rate ที่ Ring ต่างๆ ของช่วงอุโมงค์อยู่ในทางตรง(Stg) และช่วงที่อุโมงค์ เข้าโถก(Cv)



รูปที่ 4.27 เปรียบเทียบ ค่า Push Pressure ที่ Ring ต่างๆ ของช่วงอุโมงค์อยู่ในทางตรง(Stg) และช่วงที่อุโมงค์ เข้าโถก(Cv)



รูปที่ 4.28 เปรียบเทียบ ค่า Articulate Pressure ที่ Ring ต่างๆ ของช่วงอุโมงค์อยู่ในทางตรง (Stg) และ ช่วงที่อุโมงค์ เข้าโค้ง(Cv)



รูปที่ 4.29 เปรียบเทียบ ค่า Ground Surface Settlement ที่ Ring ต่างๆ ของช่วงอุโมงค์อยู่ในทางตรง(Stg) และ ช่วงที่อุโมงค์ เข้าโค้ง(Cv)

จาก รูปที่ 4.23 - 4.29 จะเห็นว่า การเปรียบเทียบค่าความคุณหัวใจ ต่างๆทั้งค่า Face Pressure , Cutter Head Torque, Screwconveyor Speed , Penetration Rate, Push Pressure , Articulate Pressure และ Ground Surface Settlement กรณีหัวใจอยู่ในทางตรง และ หัวใจอยู่ในทางโค้ง จะไม่เห็นแนวโน้มความแตกต่างที่ชัดเจน ซึ่ง การเปรียบเทียบต้องเปรียบเทียบ ในช่วงที่ใช้ สารพสมเพิ่มอย่างเดียวกัน คือช่วงที่ใช้ ไฟฟ์ ในทางตรงเปรียบเทียบกับ กับช่วงที่ใช้ไฟฟ์ในทางโค้ง และช่วง ใช้เบนโทไนท์ในทางตรง เปรียบเทียบกับ ช่วงที่ใช้ เบนโทไนท์ ในทางโค้ง ซึ่งจะเห็นได้ว่า ค่าความคุณหัวใจ ( TBM Record ) ไม่ว่าจะบุดเจาะ ในทางตรง หรือ ทาง โค้ง ถ้าใช้สารพสมเพิ่มอย่างเดียวกัน ค่าความคุณหัวใจ จะมีแนวโน้มไปในทางเดียวกัน

ดังนั้นจึงสรุปได้ว่าการเข้าโค้งของหัวใจ ไม่มีความสัมพันธ์กับค่า ความคุณหัวใจที่ชัดเจน โดยปัจจัยระบบทหลักที่เห็นความแตกต่างที่ชัดเจน จะเป็นการใช้ สารพสมเพิ่มที่ต่างชนิดกันมากกว่า

สถาบันวิทยบริการ  
จุฬาลงกรณ์มหาวิทยาลัย

### 4.3 การวิเคราะห์ Ground Surface Settlement โดยใช้ Finite Element Method (Plaxis)

การวิเคราะห์หา Ground Surface Settlement ใช้โปรแกรม PLAXIS 7.2 ซึ่งพิจารณาลักษณะปัญหา เป็นแบบ 2 มิติ ( Plain Strain) และใช้แบบจำลองดินของ Mohr Coulomb โดยการวิเคราะห์ พฤติกรรมดินใน ชั้นดินเหนียว จะทำการวิเคราะห์โดยวิธีหน่วยแรงรวม ( Total Stress Analysis) และอาศัยหลักการ  $\phi = 0$  Concept ส่วนใน ชั้นทรายจะทำการวิเคราะห์โดยใช้วิธีของหน่วยแรง ประสิทธิผล ( Effective Stress Analysis )

การวิเคราะห์โดยใช้ FEM ทำโดย การวิเคราะห์ กลับ( Back Analysis ) จากข้อมูล Ground Surface Settlement ที่ได้จากในสนามจริง วิเคราะห์กลับเพื่อหาค่า เปรอร์เซ็นต์ Ground Loss ในแต่ละกรณี แล้วนำมาเปรียบเทียบกัน โดยแยกหัวข้อที่จะศึกษาออกเป็น 2 อย่างคือ

- 1) เปรียบเทียบค่า เปรอร์เซ็นต์ Ground Loss ของช่วงที่มีการใช้ โฟม กับ ช่วงที่มีการใช้ เบน โทไนท์ เป็นสารผสมเพิ่ม
- 2) เปรียบเทียบ ค่า เปรอร์เซ็นต์ Ground Loss ของช่วงที่อุโมงค์ เข้าโถง กับ ช่วงที่อุโมงค์อยู่ใน ทางตรง

#### 4.3.1 การเลือกใช้แบบจำลองดิน

แบบจำลองดิน ในปัจจุบันนี้มีมากหลายแบบด้วยกัน ซึ่งมีความแตกต่าง ในการทำนาย พฤติกรรมของดิน แบบจำลองที่มีความซับซ้อนสูงส่วนมากต้องการ Parameter ที่ใช้ในการคำนวณ มาก เช่นกัน แบบจำลองที่นิยมใช้ในวิธีการวิเคราะห์ไฟในต่ออิเล็กเมนต์สำหรับวิศวกรรมปฏิวัติ สามารถจำแนกได้ดังต่อไปนี้

4.3.1.1. Elastic model คือแบบจำลองดินที่จำลองให้ดินเป็นวัสดุแบบอิลาสติกอย่างเดียว ไม่มีจุดคลาก (Yield Point) เกิดขึ้นในมวลดิน

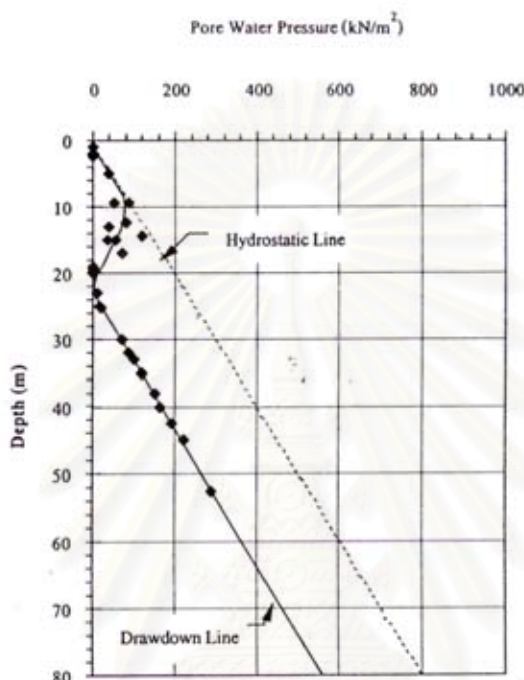
4.3.1.2. Plastic model คือแบบจำลองดินที่จำลองดินให้เป็นวัสดุแบบพลาสติกอย่างเดียว เช่น Rigidly Perfectly Plastic model (RPP)

4.3.1.3. Elasto-plastic Model คือแบบจำลองดินที่จำลองดินให้เป็นทั้งวัสดุแบบอิลาสติก และแบบพลาสติก ซึ่งจำแนกออกเป็น 2 แบบดังนี้

แบบจำลองที่จำลองให้ดินเป็นวัสดุแบบอิลาสติก ในช่วงที่ความเครียดไม่เกินจุดคลาก และจำลอง ให้ดินเป็นวัสดุแบบพลาสติกเมื่อความเครียดเกินจุดคลากไปแล้ว เช่น แบบจำลอง Elastic-Perfectly Plastic Model (Mohr Coulomb Model) เป็นแบบจำลองดินที่มีความซับซ้อนไม่มากนัก และ ในที่นี้ ใช้การวิเคราะห์โดยเลือกแบบจำลองดินเป็น Mohr Coulomb Model

### 4.3.2 ระดับน้ำใต้ดิน

ระดับน้ำใต้ดินที่ใช้ในการวิเคราะห์เป็นแบบ Piezometric Level โดยแรงดันน้ำจะเริ่มจากศูนย์ที่ระดับความลึกประมาณ 23 เมตรจากผิวดิน หลังจากนั้นแรงดันน้ำจะเพิ่มแบบ Hydrostatic ดังแสดงโดยเส้น Drawdown Line ในรูปที่ 4.30



รูปที่ 4.30 แสดงลักษณะแรงดันน้ำในดินกรุงเทพ

### 4.3.3 พารามิเตอร์ที่ใช้ในการวิเคราะห์

พารามิเตอร์ที่เกี่ยวกับดิน ได้แก่

- กำลังรับแรงเฉือนของดิน (Undrained Shear Strength ,  $S_u$ )
- สัมประสิทธิ์แรงดันด้านข้างแบบสติต ( $K_o$ )
- ค่าโมดูลัสแบบไม่ระบายน้ำของดิน ( $E_u$ )
- หน่วยน้ำหนักแห้ง ( $\gamma_d$ ) และหน่วยน้ำหนักรวม ( $\gamma_t$ )
- ค่า Cohesion ,  $C$  และ Friction angle ของดิน
- ค่า Poisson ratio ,  $V$  ของดิน

พารามิเตอร์ ที่เกี่ยวกับโครงสร้างได้ดิน

- น้ำหนักของอุ่มคงค์ , W
- ค่าสติฟเนสของผนังอุ่มคงค์, EA และ ลักษณะทางกายภาพของอุ่มคงค์
- ค่าความแข็งเชิงดัด ( Flexural rigidity ,EI )
- ค่า Poission ratio ,  $\nu$  ของคอนกรีต

#### 4.3.3.1) กำลังรับแรงเฉือนของดิน (Undrained Shear Strength , $S_u$ )

กำลังรับแรงเฉือนของดินในสภาพ ไม่ระบายน้ำ ( $S_u$ ) จะมีผลในการวิเคราะห์การทรุดตัวที่ผิวดิน โดยค่า  $S_u$  ค่า จะก่อให้เกิดการทรุดตัวที่ผิวดินสูง ดังนั้นการเลือกใช้ค่า  $S_u$  จึงเป็นสิ่งสำคัญ ในการวิเคราะห์ปัญหา การทรุดตัว เพื่อให้ได้ผลการวิเคราะห์ที่ใกล้เคียงที่สุด

Bishop และ Skemton (1954) ได้ให้คำจำกัดความของกำลังรับแรงเฉือน แบบไม่ระบายน้ำ โดยพิจารณาจากการทดสอบ แบบ Undrained Test ว่าดินมีกำลังเฉือนสูงสุดเท่ากับ

$$S_u = \frac{(\sigma_1 - \sigma_3)_f}{2}$$

โดยค่า  $S_u$  ที่นำมาใช้ ในช่วงระดับความลึก ไม่เกิน 16 เมตร สามารถหาได้โดยตรงจาก Boring Log แต่ที่ระดับความลึกมากกว่านี้ สามารถหาได้โดยการแปลงมาจากค่า  $N_{Field}$

การทดสอบทะลุทะลวงแบบมาตรฐาน ( Standard Penetration Test, SPT )

เป็นการทดสอบหาค่า  $S_u$  จากค่า  $N$  โดยวิธีประมาณ (Empirical) ในดินเหนียวแข็ง (Stiff clay) และค่า  $N$  จากการทดสอบ เพื่อใช้หาค่า มุมด้านทันทานแรงเฉือน ( Friction angle,  $\theta$ ) ของดินทราย โดยใช้ความสัมพันธ์ ของ Peck Hanson และ Thornburn(1973)

โดยในดินเหนียวกรุงเทพมหานคร วีระนันท์ (2526) ได้ให้ค่าความสัมพันธ์ ระหว่าง  $N_{Field}$  ซึ่งเป็นค่าที่ไม่ต้องปรับแก้ กับ  $S_u$  ดังนี้

$$S_u = 0.685 N_{Field} \text{ สำหรับดินเหนียวชนิด CH}$$

$$S_u = 0.520 N_{Field} \text{ สำหรับดินเหนียวชนิด CL}$$

### 4.3.3.2) การหามุมต้านทานแรงเนื่องประสิทชิผลของชั้นราย

การหามุมต้านทานแรงเนื่องประสิทชิผลของชั้นราย ทำได้โดยหาจากค่า  $N'$  โดยใช้กราฟความสัมพันธ์ที่เสนอโดย Peck Hanson และ Thornburn โดยค่า  $N'$  ที่จะนำไปใช้ต้องทำการปรับแก้เนื่องจากผลของหน่วยแรงประสิทชิผลในแนวดิ่งธรรมชาติ ( $\sigma'_{vo}$ ) ในตำแหน่งที่ทำการทดสอบดังนี้

$$N' = C_N \cdot N_{Field}$$

โดยที่

$C_N$  เป็นตัวปรับแก้ซึ่งได้จากการเปรียบเทียบ กับผลการทดสอบ SPT ภายใต้หน่วยแรงกดดันมาตรฐาน  $\sigma'_{vo} = 1 \text{ t/m}^2$

$N_{Field}$  เป็นค่า  $N$  ที่ได้จากสนาม

$N'$  เป็นค่า  $N$  ที่ปรับแก้แล้ว

### 4.3.3.3) สามประสิทธิ์แรงดันด้านข้างแบบสอดคล

สำหรับคินเม็ดหยาน การวิเคราะห์ใน Short Term จะใช้ Effective Stress Analysis เนื่องจากสามารถระบายน้ำได้ โดยหาค่า  $K_o$  ได้ดังนี้

$$K_o = 1 - \sin \phi'$$

โดยที่  $\phi'$  เป็นมุมต้านทานแรงเนื่องประสิทชิผล (Friction Angle) ของคินราย

ในการวิเคราะห์แบบ Short Term หรือ Total Stress analysis ค่า  $K_o$  ที่ใช้จะเป็นค่า  $K_o$  (Total) คืออัตราส่วนหน่วยแรงรวมด้านข้างต่อหน่วยแรงรวมในแนวดิ่ง ซึ่งไม่จำเป็นต้องทราบค่าแรงตันน้ำในการวิเคราะห์ ค่า  $K_o$  ในคินกรุงเทพฯ ค่า  $K_o$  ของคินเหนียวอ่อน เท่ากับ 0.65 และของคินเหนียวแข็งเท่ากับ 0.5 ส่วนค่า  $K_o$  Total ในคินกรุงเทพฯ สำหรับคินเหนียวอ่อน และ คินเหนียวแข็งเท่ากับ 0.75 และ 0.65 ตามลำดับ

### 4.3.3.4) ค่าโมดูลัสของคิน (Soil Modulus)

ในการวิเคราะห์แบบ Short Term โดยใช้ Total Stress Analysis จะใช้ค่าโมดูลัส ของดินแบบไม่ระบายน้ำ ( $E_u$ ) โดยที่ค่า  $E_u$  จะมีผลต่อค่าโมดูลัสแรงเฉือนของดิน (Shear Modulus,  $G$ ) ตามทฤษฎี อิลasicitic (Elastic Theory) ดังนี้

$$G = \frac{E_u}{2(1+\nu)}$$

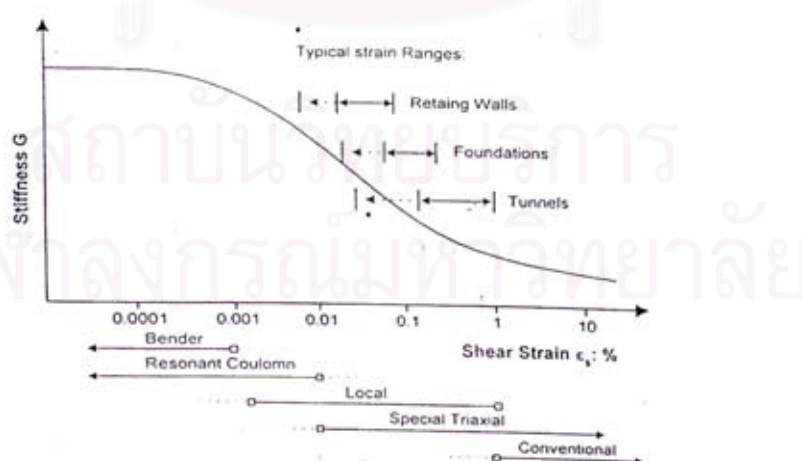
โดย  $G$  คือ โมดูลัสแรงเฉือนของดิน

$E_u$  คือ โมดูลัสของดินแบบไม่ระบายน้ำ

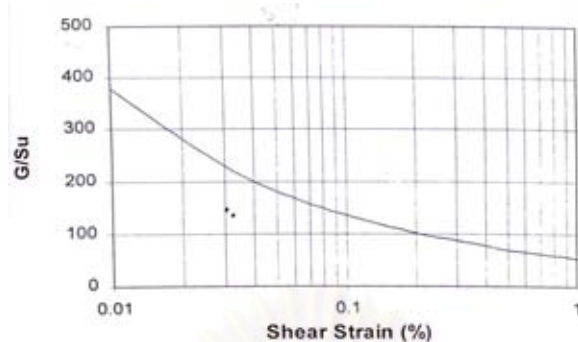
$\nu$  คือ อัตราส่วนปัวของดินในสภาพไม่ระบายน้ำ  $\nu = 0.5$

Mair (1993) ได้ทำการวิจัยพบว่าค่าโมดูลัสแรงเฉือน ( $G$ ) จะสัมพันธ์ กับ Shear Strain ( $\gamma$ ) ของดินซึ่งจะขึ้นอยู่กับลักษณะงานก่อสร้าง โดยในงานอุโมงค์ ค่า  $\gamma$  จะอยู่ระหว่าง 0.1 – 1.0 % ดังรูปที่ 4.31

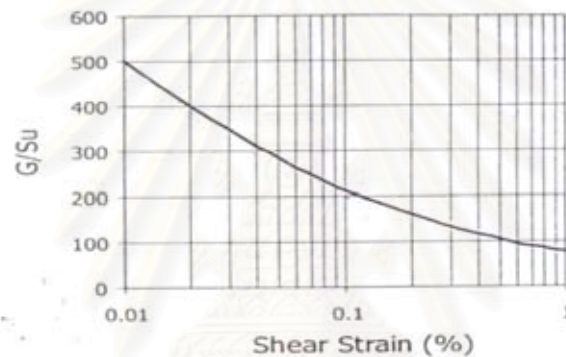
ในการทดสอบ Pressuremeter ของดินเหนียวอ่อน (Soft Clay) และดินเหนียวแข็งชั้นแรก (First Stiff Clay) ในดินกรุงเทพฯ จำนวน 6 หลุม ได้ค่าความสัมพันธ์ ระหว่าง  $G/ Su$  กับ Shear Strain ดังรูปที่ 4.32 (a) และ 4.32(b) โดยพบว่าที่ค่า  $\gamma = 0.1 - 1.0 %$  จะได้ค่า  $G/Su$  ของดินเหนียวอ่อน อยู่ในช่วง 60 – 125 และสำหรับดินเหนียวแข็งชั้นแรก เท่ากับ 85-200 (Teparaksa, 1999) ซึ่งจากความสัมพันธ์ระหว่าง  $G$  กับ  $E_u$  จากสมการ จะได้ค่า  $E_u/ Su$  ของดินเหนียวอ่อนอยู่ในช่วง 180 – 375 และของดินเหนียวแข็งอยู่ในช่วง 255 – 600



รูปที่ 4.31 แสดงค่า Stiffness ของดินกับระดับการเติบโต (Mair, 1993)



รูปที่ 4.32 (a) แสดงผลการทดสอบ Pressuremeter test ของดิน Bangkok Soft Clay(Teparaksa,1999)



รูปที่ 4.32 (b) แสดงผลการทดสอบ Pressuremeter test ของดิน Bangkok Stiff Clay(Teparaksa,1999)

ในงานก่อสร้างอุโมงค์รถไฟฟ้าใต้ดิน ชั้นวุฒิ (2543) “ไดวิเคราะห์ การทรุดตัว โดยโปรแกรม Finite Element ทำการวิเคราะห์กลับ ( Back Analysis) หาค่า  $E_u / S_u$  ในดินหนีบวอ่อน และดินหนีบวแข็งชั้นแรก และเสนอค่า ดังนี้

ดินหนีบวอ่อน ( Soft Clay )                       $E_u / S_u = 240$

ดินหนีบวแข็งชั้นแรก ( First Stiff Clay)     $E_u / S_u = 480$

### 4.3.3.5) น้ำหนักของอุโมงค์

การคำนวณน้ำหนักของอุโมงค์ จะพิจารณาอุโมงค์แบบเนื้อเดียวกันทั้งวง (Homogenous Lining) ไม่คิดถึงรอยต่อระหว่างแต่ละชิ้นส่วน และพิจารณาอุโมงค์แบบ Plane Strain คิดน้ำหนักต่อมتر โดยหาค่าได้ดังนี้

$$W_{\text{lining}} = \gamma_c \cdot (\pi \cdot (D_o^2 - D_i^2)/4 \cdot b)$$

โดย

$$W_{\text{lining}} = \text{น้ำหนักของ อุโมงค์ต่อมตร } (kN)$$

$$\gamma_c = \text{หน่วยน้ำหนักของคอนกรีต } (kN/m^3)$$

$$D_o, D_i = \text{เส้นผ่านศูนย์กลางภายนอกและภายในของอุโมงค์}$$

$$b = \text{ความลึกของอุโมงค์} = 1 \text{ เมตร}$$

### 4.3.1.6) ลักษณะทางกายภาพของอุโมงค์

สมบัติทางกายภาพของอุโมงค์จะมีผลอย่างมากกับความสามารถในการรับแรงพกติกรรมการเคลื่อนตัวและเสียรูป ของอุโมงค์ โดยชิ้นส่วน (Segment) ที่ประกอบเป็นวงจะพิจารณาเป็น โครงสร้างแบบ Beam Structure ที่มีพกติกรรมแบบ Linear Elastic Material เนื่องจากเกิดการเสียรูปน้อยมาก เมื่อเทียบกับขนาดอุโมงค์ และพิจารณาอุโมงค์แบบ Plane Strain ซึ่งหาค่าพารามิเตอร์ต่างๆ ได้ดังนี้

โมดูลัสของคอนกรีต

$$E_c = 15210 \cdot (f'_{c})^{0.5}$$

Moment of Inertia

$$I = 1/12 b h^3$$

พื้นที่หน้าตัด

$$A = b \cdot (D_o - D_i)$$

โดยที่

$$E_c \quad \text{คือ ค่าโมดูลัสของคอนกรีต } (kg/cm^2)$$

$$f'_{c} \quad \text{คือ กำลังอัดของคอนกรีต } (ksc)$$

I	คือ Moment of Inertia ( $m^3$ )
b	คือ ความกว้างของผนังอุปโภค์ (m)
h	คือความหนาของผนังอุปโภค์ (m)
A	คือ พื้นที่หน้าตัด ( $m^2$ )
Do	คือ เส้นผ่านศูนย์กลางภายในของอุปโภค์ (m)
Di	คือ เส้นผ่านศูนย์กลางภายในของอุปโภค์ (m)

ตารางที่ 4.6 แสดงข้อมูลทางกายภาพของอุปโภค์

Parameter,Unit	Value
$\gamma_c$ ( $t/m^2$ )	2.4
$E_c$ ( $kN/m^2$ )	2.5E+07
Weight( $kN/m/m$ )	53.3
$A(m^2/m)$	0.185
$I(m^4/m)$	5.28E-04
$EA(kN/m)$	4.6E+07
$EI(kN\cdot m^2/m)$	1.32E+04
$\nu$	0.2

#### 4.3.4 การวิเคราะห์ Ground Surface Settlement ด้วย โปรแกรม Plaxis

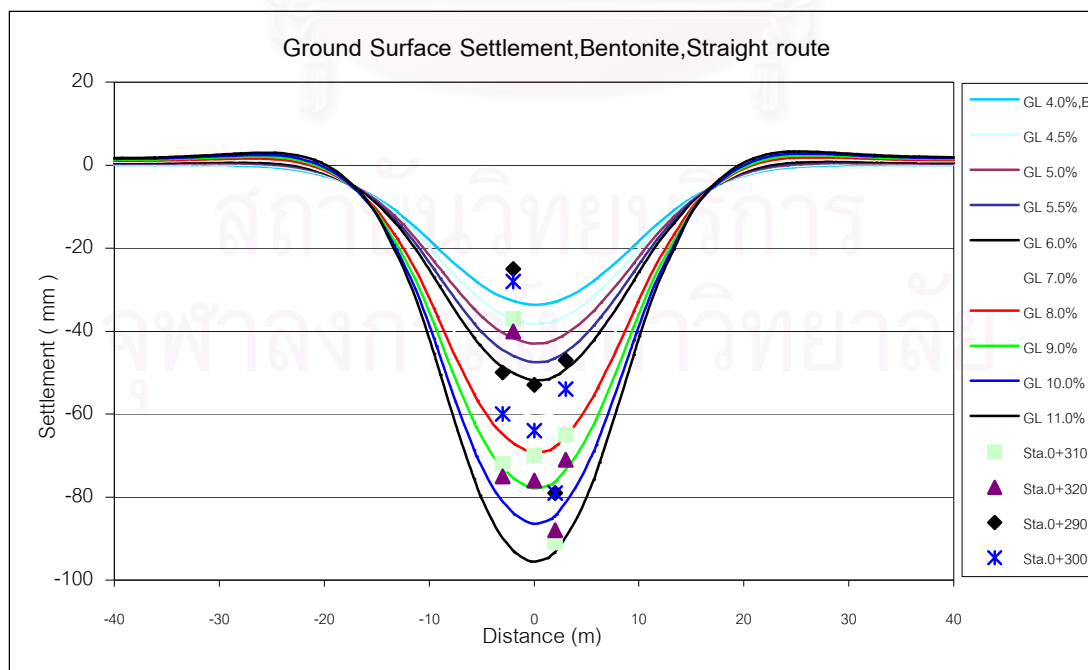
การวิเคราะห์ Ground Surface Settlement จะทำการวิเคราะห์ 4 กรณี โดยแต่ละกรณี จะทำการเลือก Station มา 4-5 Station และทำการ Trial ค่า เปอร์เซ็นต์ Ground Loss ในโปรแกรม Plaxis แล้วนำมาพล็อตเปรียบเทียบกับข้อมูลจริงที่ได้จากสนาม จะได้ช่วงของ เปอร์เซ็นต์ Ground Loss ของแต่ละกรณี ซึ่งเงื่อนไขต่างๆ และ Station ที่เลือกใช้ แสดงในตารางที่ 4.7

ตารางที่ 4.7 แสดงลักษณะเดือนทางอุโมงค์ การใช้สารผสมเพิ่ม และ Station ที่เลือกใช้นำมาวิเคราะห์ FEM

Item	Conditioning Agent	Tunnel Route	FEM Back Analysis
			Station
1	Bentonite	Straight	0+290 , 0+300 , 0+310 , 0+320
2	Bentonite	Curve	0+260 , 0+325 , 0+430 , 0+500 , 0+515
3	Foam	Straight	0+860 , 1+080 , 1+290 , 1+350 , 1+435
4	Foam	Curve	0+655 , 0+820 , 0+980 , 1+120 , 1+210

4.3.4.1) การวิเคราะห์หาเปลอร์เซ็นต์ Ground Loss ในกรณี บุดเจาอุโมงค์ในทางตรง และ ใช้ เบนโทไนท์ เป็นสารผสมเพิ่ม

เมื่อนำข้อมูล Ground Surface Settlement ของ Station 0+290 , Sta 0+300 , Sta 0+310 และ Sta 0+320 มาพื้นต์กราฟ ร่วม กับกราฟ ที่ได้จากการ Trial ค่าเปลอร์เซ็นต์ Ground Loss ต่างๆ ที่ได้จากโปรแกรม Plaxis ได้ผลดังแสดงในรูปที่ 4.33

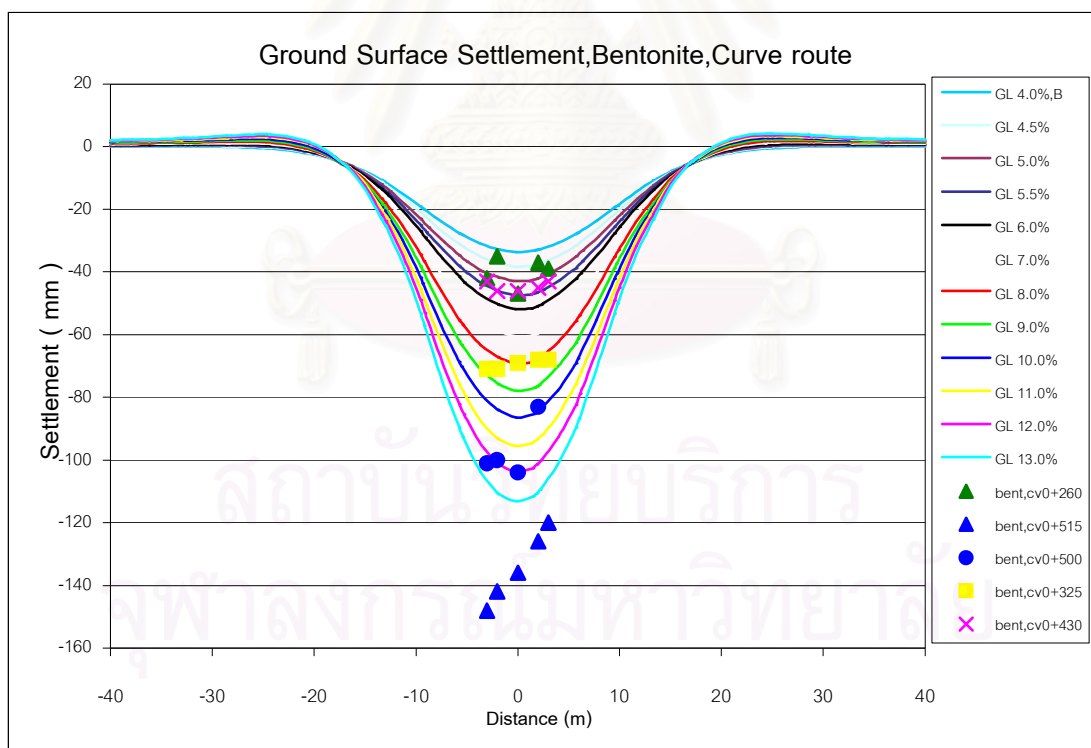


รูปที่ 4.33 แสดงค่า Ground Surface Settlement และ ค่าเปลอร์เซ็นต์ Ground loss ที่วิเคราะห์กันจากโปรแกรม Plaxis โดย บุดอุ่มวงศ์ ในทางตรง และใช้เบนโทไนท์ เป็นสารผสมเพิ่ม

จากรูปที่ 4.33 จะเห็นว่า เมื่อทำการ Back Analysis ค่า Ground Surface settlement ที่ได้จากสนามที่ Station ต่างๆ เปรียบเทียบกับ เปลอร์เซ็นต์ Ground Loss ที่ได้จากโปรแกรม Plaxis พบว่ากรณีบุดเจาอุ่มวงศ์ ในทางตรง และมีการใช้ เบนโทไนท์ เป็นสารผสมเพิ่ม จะได้ค่าเปลอร์เซ็นต์ Ground Loss ตั้งแต่ 4.0 % - 11.0 %

4.3.4.2) การวิเคราะห์หาเปลอร์เซ็นต์ Ground Loss ในกรณี บุดเจาอุ่มวงศ์ในทาง โถ้ง และ ใช้เบนโทไนท์ เป็นสารผสมเพิ่ม

เมื่อนำข้อมูล Ground Surface Settlement ของ Station 0+260 , Sta 0+325 , Sta 0+430 , Sta 0+500 และ Sta 0+515 มาพล็อตกราฟ ร่วม กับกราฟ ที่ได้จากการ Trial ค่าเปลอร์เซ็นต์ Ground Loss ต่างๆ ที่ได้จากโปรแกรม Plaxis ได้ผลดังแสดงในรูปที่ 4.34

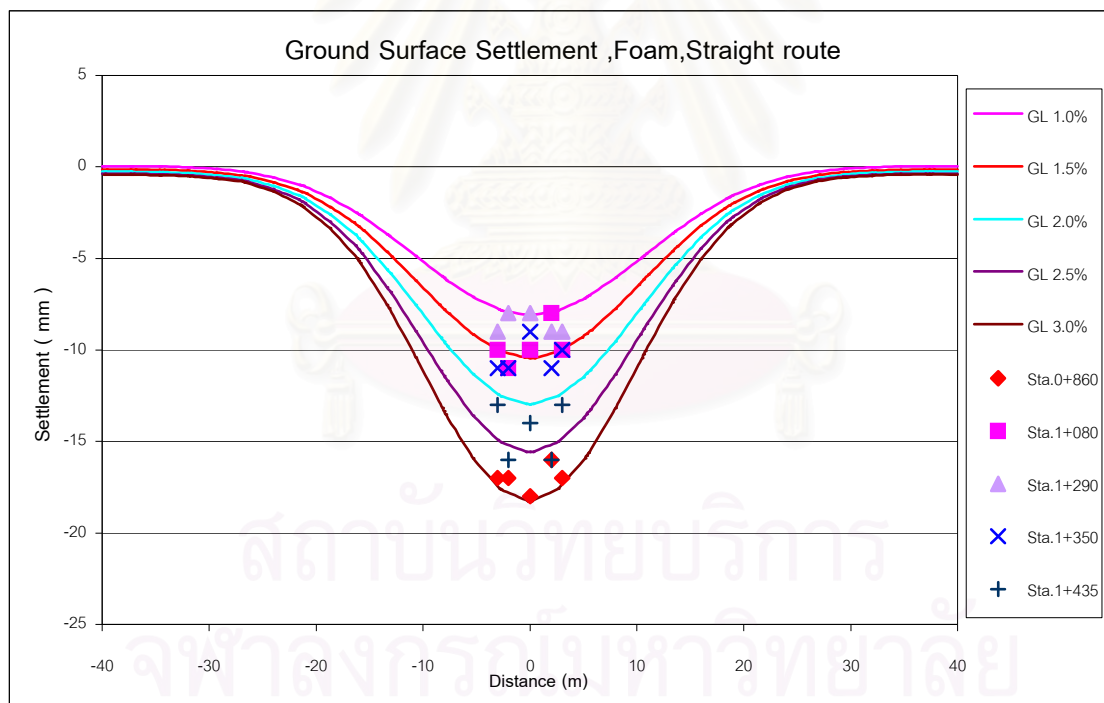


รูปที่ 4.34 แสดงค่า Ground Surface Settlement และ ค่าเปลอร์เซ็นต์ Ground loss ที่วิเคราะห์กันจากโปรแกรม Plaxis โดย บุดอุ่มวงศ์ ในทางโถ้ง และใช้เบนโทไนท์ เป็นสารผสมเพิ่ม

จากรูปที่ 4.34 จะเห็นว่า เมื่อทำการ Back Analysis ค่า Ground Surface settlement ที่ได้จากสถานีที่ Station ต่างๆ เปรียบเทียบกับ เปอร์เซ็นต์ Ground Loss ที่ได้จากโปรแกรม Plaxis พบว่ากรณีบุคเจาอุโมงค์ ในทาง โค้ง และมีการใช้ เบนโทไนท์ เป็นสารผสมเพิ่ม จะได้ค่า เปอร์เซ็นต์ Ground Loss ตั้งแต่ 4.0 % - 13.0 % ยกเว้นที่ Station 0+515 ที่ โปรแกรม Plaxis ไม่สามารถวิเคราะห์ หาค่าเปอร์เซ็นต์ Ground Loss ได้ เนื่องจาก โปรแกรมวิเคราะห์ ว่าดินมีการ Collapse ไปก่อนที่ ค่าเปอร์เซ็นต์ Ground Loss = 13.0 %

4.3.4.2) การวิเคราะห์หาเปอร์เซ็นต์ Ground Loss ในกรณี บุคเจาอุโมงค์ในทางตรง และ ใช้ โฟม เป็นสารผสมเพิ่ม

เมื่อนำข้อมูล Ground Surface Settlement ของ Station 0+860 , Sta1+080 , Sta 1+290 , Sta 1+350 , Sta 1+435 มาplotด้วยกราฟ ร่วม กับกราฟ ที่ได้จากการ Trial ค่าเปอร์เซ็นต์ Ground Loss ต่างๆ ที่ได้จากโปรแกรม Plaxis ได้ผลดังแสดงในรูปที่ 4.35

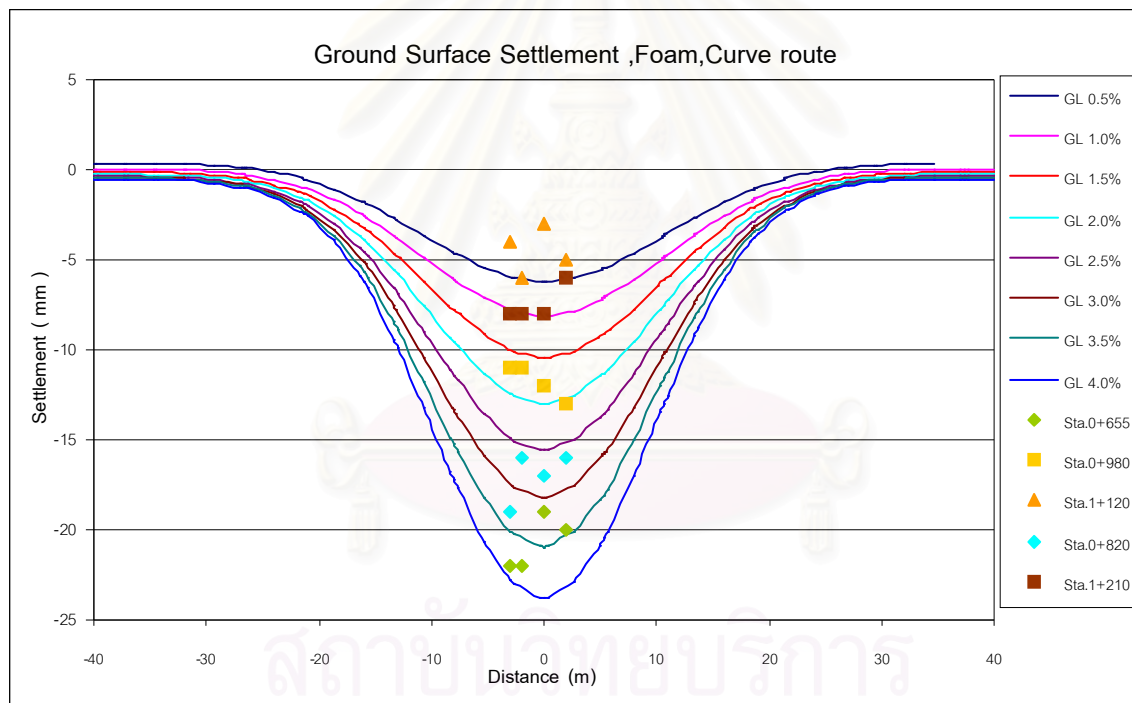


รูปที่ 4.35 แสดงค่า Ground Surface Settlement และ ค่าเปอร์เซ็นต์ Ground loss ที่วิเคราะห์กันจากโปรแกรม Plaxis โดย บุค อุโมงค์ ใน ทางตรง และ ใช้ โฟม เป็น สารผสมเพิ่ม

จากรูปที่ 4.35 จะเห็นว่า เมื่อทำการ Back Analysis ค่า Ground Surface settlement ที่ได้จากสถานีที่ Station ต่างๆ เปรียบเทียบกับ เปอร์เซ็นต์ Ground Loss ที่ได้จากการ Trial พบว่ากรณีบุดเจาอุโมงค์ ในทางตรง และมีการใช้ โฟม เป็นสารผสมเพิ่ม จะได้ค่าเปอร์เซ็นต์ Ground Loss ตั้งแต่ 1.0 % - 3.0 %

#### 4.3.4.3) การวิเคราะห์หาเปอร์เซ็นต์ Ground Loss ในกรณี บุดเจาอุโมงค์ในทาง โถ้ง และ ใช้ โฟม เป็นสารผสมเพิ่ม

เมื่อนำข้อมูล Ground Surface Settlement ของ Station 0+655 , Sta 0+820 , Sta 0+980 , Sta 1+120 , Sta 1+210 มาพล็อตกราฟ ร่วม กับกราฟ ที่ได้จากการ Trial ค่าเปอร์เซ็นต์ Ground Loss ต่างๆ ที่ได้จากโปรแกรม Plaxis ได้ผลดังแสดงในรูปที่ 4.36



รูปที่ 4. 36 แสดงค่า Ground Surface Settlement และ ค่าเปอร์เซ็นต์ Ground loss ที่วิเคราะห์กลับ จากโปรแกรม Plaxis โดย บุดอุโมงค์ ใน ทาง โถ้ง และ ใช้ โฟม เป็น สาร ผสม เพิ่ม

จากรูปที่ 4.36 จะเห็นว่า เมื่อทำการ Back Analysis ค่า Ground Surface settlement ที่ได้จากสถานี Station ต่างๆ เปรียบเทียบกับ เปอร์เซ็นต์ Ground Loss ที่ได้จากโปรแกรม Plaxis พบว่ากรณีบุดเจาะอุโมงค์ ในทาง โค้ง และมีการใช้ ไฟฟ์ เป็นสารพัฒนาเพิ่ม จะได้ค่าเปอร์เซ็นต์ Ground Loss ตั้งแต่ 0.5 % - 4.0 %

จากรูปที่ 4.33 – 4.36 ได้ค่าเปอร์เซ็นต์ Ground Loss ที่ได้จากการ Back Analysis โดย Plaxis ดังนี้

- กรณี ใช้เบนโทไนท์, บุดเจาะอุโมงค์ในทางตรง  $GL = 4.0 - 11.0 \%$
- กรณี ใช้เบนโทไนท์, บุดเจาะอุโมงค์ในทางโค้ง  $GL = 4.0 - 12.0 \%$
- กรณี ใช้ไฟฟ์, บุดเจาะอุโมงค์ในทางตรง  $GL = 1.0 - 3.0 \%$
- กรณี ใช้ไฟฟ์, บุดเจาะอุโมงค์ในทางโค้ง  $GL = 0.5 - 4.0 \%$

ผลการวิเคราะห์พบว่า การบุดเจาะอุโมงค์ใน ช่วงทางตรง และ ช่วงทางโค้ง ไม่มีผลต่อ การทรุดตัวที่ผิดคืน และ เปอร์เซ็นต์ Ground Loss ที่ชัดเจนนัก แต่เมื่อเปรียบเทียบ การใช้สารพัฒนาเพิ่มระหว่าง ไฟฟ์ กับ เบนโทไนท์ พบว่า ค่า Ground Surface Settlement และ เปอร์เซ็นต์ Ground Loss ต่างกันอย่างเห็นได้ชัด สาเหตุที่สำคัญที่ทำให้ค่า Ground Surface Settlement และ เปอร์เซ็นต์ Ground Loss ต่างกัน คือ การใช้ไฟฟ์เป็นสารพัฒนาเพิ่ม สามารถควบคุม Face Pressure ได้ดีกว่า และ มีค่า Penetration Rate ที่สูงกว่า ทำให้ใช้เวลาในการบุดเจาะน้อยกว่า เกิดการทรุดตัวบริเวณ ท้ายหัวเจาะ (Shield Tail) น้อยกว่า ดังที่ได้กล่าวไว้แล้วในหัวข้อ 4.2.7

สถาบันวิทยบริการ  
จุฬาลงกรณ์มหาวิทยาลัย

## บทที่ 5

### สรุปผลการวิเคราะห์ และ ข้อเสนอแนะ

ผลการวิจัยจากการทดลองในห้องปฏิบัติการ, จากการวิเคราะห์ข้อมูลการขุดเจาะอุโมงค์ด้วยระบบแรงดันดินสมดุลในสนาม และข้อมูลที่ได้จากการวิเคราะห์โดย FEM สามารถสรุปได้ดังนี้

#### 5.1 ผลการทดสอบในห้องปฏิบัติการ

การเพิ่มปริมาณไฟฟ้าทำให้ค่า Compressibility ของทรัพย์สมูฟเพิ่มขึ้น ขณะที่การเพิ่มปริมาณเบนโทไนท์ทำให้ค่า Compressibility ของทรัพย์สมูนเบนโทไนท์ลดลง

การเพิ่มปริมาณไฟฟ้าทำให้ค่าพลังงานในการทดสอบลดลง โดยมีปริมาณน้ำในดินที่เพอเหมาะสม(10%) ขณะที่การเพิ่มปริมาณเบนโทไนท์ทำให้ค่าพลังงานในการทดสอบเพิ่มขึ้น และมีค่าปริมาณน้ำในดินสูง ซึ่งทำให้ยากต่อการนำทรัพย์ออกจากการหัวเจาะ

การเพิ่มปริมาณไฟฟ้าและเบนโทไนท์ไม่มีผลต่อค่ามูสเสียดทานภายในของดิน

#### 5.2 ผลการวิเคราะห์ข้อมูลการขุดเจาะอุโมงค์

ผลการวิจัยพบว่า การใช้ไฟฟ้าเป็นสารผสมเพิ่ม ทำให้ประสิทธิภาพในการขุดเจาะอุโมงค์สูงกว่า การใช้เบนโทไนท์ ในทุกๆ ด้าน ดังนี้

การใช้ไฟฟ้า เป็นสารผสมเพิ่ม ทำให้ค่า Face Pressure สำมำเสมอมากกว่า การใช้เบนโทไนท์ การใช้ไฟฟ้า เป็นสารผสมเพิ่ม ทำให้ค่า Cutter head torque ต่ำกว่า การใช้เบนโทไนท์

การใช้ไฟฟ้า เป็นสารผสมเพิ่ม ทำให้ค่า Screwconveyor speed สูงกว่า การใช้เบนโทไนท์

การใช้ไฟฟ้า เป็นสารผสมเพิ่ม ทำให้ค่า Penetration rate สูงกว่า การใช้เบนโทไนท์

การใช้ไฟฟ้า เป็นสารผสมเพิ่ม ทำให้ค่า Push pressure และ Articulate pressure ต่ำกว่า การใช้เบนโทไนท์

การใช้ไฟฟ้า เป็นสารผสมเพิ่ม ทำให้ค่า Ground surface settlement ต่ำกว่า การใช้เบนโทไนท์

การเปรียบเทียบค่า TBM Record ทุกค่า ในช่วงอุโมงค์ขุดเจาะทางตรง และขุดเจาะทางโค้ง มีค่าไม่แตกต่างกัน

### 5.3 ผลการวิเคราะห์โดย Finite Element Method

ผลการวิจัยพบว่า ค่าอัตราส่วน Ground loss ช่วงที่ใช้ไฟม เป็นสารพสมเพิ่ม มีค่าต่ำกว่า ช่วงที่ใช้ เบนโทไนท์ โดย

- ค่าอัตราส่วน Ground loss กรณีใช้ เบนโทไนท์, บุดเจาอุโมงค์ทางตรง = 4.0 - 11.0 %
- ค่าอัตราส่วน Ground loss กรณีใช้ เบนโทไนท์, บุดเจาอุโมงค์ทางโค้ง = 4.0 - 13.0 %
- ค่าอัตราส่วน Ground loss กรณีใช้ ไฟม, บุดเจาอุโมงค์ทางตรง = 1.0 - 3.0 %
- ค่าอัตราส่วน Ground loss กรณีใช้ ไฟม, บุดเจาอุโมงค์ทางโค้ง = 0.5 - 4.0 %

จากผลการวิจัยทั้ง 3 หัวข้อ พบว่าการผสาน ไฟม ทำให้ดินราย มีคุณสมบัติ ที่เหมาะสม ต่อ งานบุดเจาอุโมงค์ด้วยระบบแรงดันดินสมดุล มากกว่า การผสานกับเบนโทไนท์ และยังมีค่า Ground surface settlement ที่ต่ำกว่า

### 5.4 ข้อเสนอแนะ

- 1) งานวิจัยนี้ทำการทดลอง กับตัวอย่าง ราย เท่านั้น ควรมีการทำวิจัย เพิ่มเติม กับตัวอย่าง ดินเหนียว โดยเฉพาะ Stiff Clay ซึ่งนับว่าขัง เป็นดินที่มีปัญหา ในงานบุดเจาอุโมงค์
- 2) งานวิจัยนี้ทำการทดลอง กับตัวอย่าง ราย ผสานกับ ไฟม หรือ เบนโทไนท์ เท่านั้น ควร มีการนำสารผสานเพิ่มอย่างอื่นมาผสาน เช่น โพลีเมอร์

สถาบันวิทยบริการ  
จุฬาลงกรณ์มหาวิทยาลัย

## รายการอ้างอิง

### ภาษาไทย

- กีรติ เมืองแสน. พฤติกรรมของหัวใจระบบแรงดันดินสมดุลในการก่อสร้างอุโมงค์รถไฟใต้ดินในกรุงเทพฯ. วิทยานิพนธ์ปริญญามหาบัณฑิต ภาควิชาวิศวกรรมโยธา คณะวิศวกรรมศาสตร์. บัณฑิตวิทยาลัย จุฬาลงกรณ์มหาวิทยาลัย., 2544.
- ชลธิชา บุญส่ง. การเดียรูปและเคลื่อนตัวของอุโมงค์ที่ก่อสร้างด้วยวิธีแรงดันดินสมดุลในดินกรุงเทพ. วิทยานิพนธ์ปริญญามหาบัณฑิต ภาควิชาวิศวกรรมโยชา คณะวิศวกรรมศาสตร์. บัณฑิตวิทยาลัย จุฬาลงกรณ์มหาวิทยาลัย., 2544.
- ชินวุฒิ ชาญชาญ. การวิเคราะห์การเคลื่อนตัวของชั้นดินกรุงเทพฯเนื่องจากการก่อสร้างอุโมงค์รถไฟฟ้าใต้ดิน โดยวิธีแบบจำลองทางคอมพิวเตอร์. วิทยานิพนธ์ปริญญามหาบัณฑิต ภาควิชาวิศวกรรมโยชา คณะวิศวกรรมศาสตร์. บัณฑิตวิทยาลัย จุฬาลงกรณ์มหาวิทยาลัย., 2543.
- วีระนันท์ ปิตุปกรณ์. การคาดคะเนการรับน้ำหนักของเสาเข็มโดยสแตนดาร์ด เพเนเกรชั่นเทสต์ ในชั้นดินกรุงเทพมหานคร. วิทยานิพนธ์ปริญญามหาบัณฑิต ภาควิชาวิศวกรรมโยชา คณะวิศวกรรมศาสตร์. บัณฑิตวิทยาลัย จุฬาลงกรณ์มหาวิทยาลัย., 2526.
- อภิชาติ สารุมุล และ มิชีทะกะ สุกโน โถดี. การพัฒนารูปแบบของแรงดันดินที่กระทำต่อหัวใจอุโมงค์. การประชุมวิชาการวิศวกรรมโยชาแห่งชาติ ครั้งที่ 5 , มีนาคม พ.ศ. 2542 , หน้า GTE ~ 74 – GTE ~ 79.
- อภิชาติ สารุมุล และ มิชีทะกะ สุกโน โถดี. ลักษณะการทำงานของหัวใจอุโมงค์แบบแรงดันดินสมดุล. การประชุมวิชาการวิศวกรรมโยชาแห่งชาติ ครั้งที่ 6 , พฤษภาคม พ.ศ. 2543 , หน้า GTE ~ 97 – GTE ~ 102 .

### ภาษาอังกฤษ

- Bishop, A.W.(1954). The Use of Pore Pressure Coefficients in Practice. Geotechnique, Vol. 4: 148-152
- Bjerrum,L.(1972).Embankment of Soft Ground.State of Art Report,Proc.ASCE Special Conf.On Performance of Earth and Earth-Supported Structures.(n.p.):Lafayette.

- Broms B.B. and Bennermark H.(1967).Stability of Clay at Vertical Openings.Journal of Geotechnical Engineering Division,ASCE,SM 1 .
- Clough and Schmidt.(1981)Design and Performance of Excavations and Tunnels.Soft Clay Engineering,Elsivier Scientific Publishing Company.
- EFNARC.(2001).Specification and Guidelines for the use of specialist products for Soft Ground Tunnelling :1-29.
- Fujita K.(1994).Soft Ground Tunnelling and Buried Structures.XIII ICSMFE,1994.New Delhi,India:89-108.
- Herrenknecht ,Martin. Micro tunnelling with Herrenknecht Machine. Micro tunnelling with Micromachine:1-13
- Herrenknecht ,Martin . and Rehm ,Ulrich.(2001).. Earth Pressure Balance Shield Technology:1-20.
- Houlsby, T and Psomas, S. Properties of foam/sand mixture. Soil conditioning for Tunnelling and Pipe jacking: 1-11
- Kishio ,T.,Ohta, H.,Nakai, N.,Hashimoto, T.,Hayakawa, K.(1995).Reducing Ground Settlement Cause by Shield Tunnelling in Soft Clay.Underground Construction in Soft ground,Balkema,Rotterdam:257-260.
- Komine ,H.,Tanaka ,Y.,Nishi, K.(1995)Factor affecting Settlements above Driven Tunnels. Underground Construction in Soft ground,Balkema,Rotterdam:225-228.
- Lee,K.M.,Rowe,R.K. and Lo,K.Y.(1992).Subsidence owing to tunnelling.I:Estimating the gap parameter.Can.Geotech.29:929-940.
- Mair,R.J.,Taylor,R.N. and Bracegirdle,A.(1993).Subsurface settlement profiles above tunnels in clays.Geotechnique 43,No.2:315-320.
- Matsushita, Y.,Iwazaki ,Y.,Hashimoto, T.,Imanishi,H.(1995)Behavior of Subway tunnel Driven by Large Slurry Shield. Underground Construction in Soft ground,Balkema,Rotterdam:253-256.
- Merritt ,A.S., Borghi, F.X. and Mair, R.J. (2003): Conditioning of clay soils for earth pressure balance tunnelling machines. Underground Construction 2003.
- Milligan,G.W.E.(2000). Lubrication and soil conditioning in Tunnelling,Pipe jacking and Microtunnelling. Lubrication and soil conditioning State of the art review 1 :1-46.
- O'Reilly,M.P. and New,B.M.(1982).Settlement above tunnels in the United Kingdom-their magnitude and prediction.Tunnelling '82.Institute of Mining and Metallurgy:173-181.

- Peck,R.B.(1969).Deep excavations and tunnelling in soft ground.Proc.of 7<sup>th</sup> International Conference on Soil Mechanics and Foundation Engineering.State of Art Volume:225-290.
- Peck ,R.B.et al .(1969).Some Design Consideration in Selection of Underground Support System.U.S.Department of Transpotation(NTIS PB 190443).
- Psomas,Sotiris.(2001).Properties of Foam/Sand Mixture for tunneling application.Thesis of Master degree of Engineering Science of University of Oxford.:1-147.
- Sramoon,A. and Sugimoto,M.(1999).A study on earth pressure acting on EPB Shield.Civil and Environmental Engineering Conference New Frontiers and Challenges, Bangkok ,Thailand:II 93-98.
- Schmidt ,B.(1974).Prediction of Settlement due to Tunnelling in Soil :Three Case Histories.Rapid Excavation and Tunnelling Conference.Sanfrancisco,California.June:1179-1199.
- Schmidt,B.(1989).Consolidation Settlement due to Soft Ground Tunnelling:797-800.
- Teparaksa,W.(1999a).Geotechnical aspects on the design and construction of the MRTA subway in Bangkok.Journal No.24, Society of Professional Engineers in Thailand.,Nov'98-Nov'99.
- Teparaksa,W.(1999b).Principal and application of instrumentation for the first MRTA subway project in Bangkok.Proc.of 5<sup>th</sup> International Conference on Field Measurement in Geomechanics:411-416.
- Tetsushi ,S.(1986)Face Stabilization Control of Earth Pressure Type Shield.Symposium on Computer Aided Design and Monitoring in Geotechnical Engineering,AIT,Bangkok, Thailand:698-726.
- Wassmer ,Louis .(2001).Tunnel Boring Machine(TBM) application in Soft ground condition.IMA Meeting 2001:1-32.

## ประวัติผู้เขียนวิทยานิพนธ์

นาย ชนารัตน์ ชันกิจเดชสกุล เกิดเมื่อในที่ 16 พฤษภาคม พ.ศ.2522 สำเร็จการศึกษาปริญญาวิศวกรรมศาสตรบัณฑิต วิศวกรรมโยธา มหาวิทยาลัยขอนแก่น เมื่อปี การศึกษา 2544 และได้เข้าศึกษาต่อในหลักสูตรวิศวกรรมศาสตรมหาบัณฑิต สาขาวิชาวิศวกรรมปัจจี ภาควิชา วิศวกรรมโยธา คณะวิศวกรรมศาสตร์ จุฬาลงกรณ์มหาวิทยาลัย ในปี การศึกษา 2545

